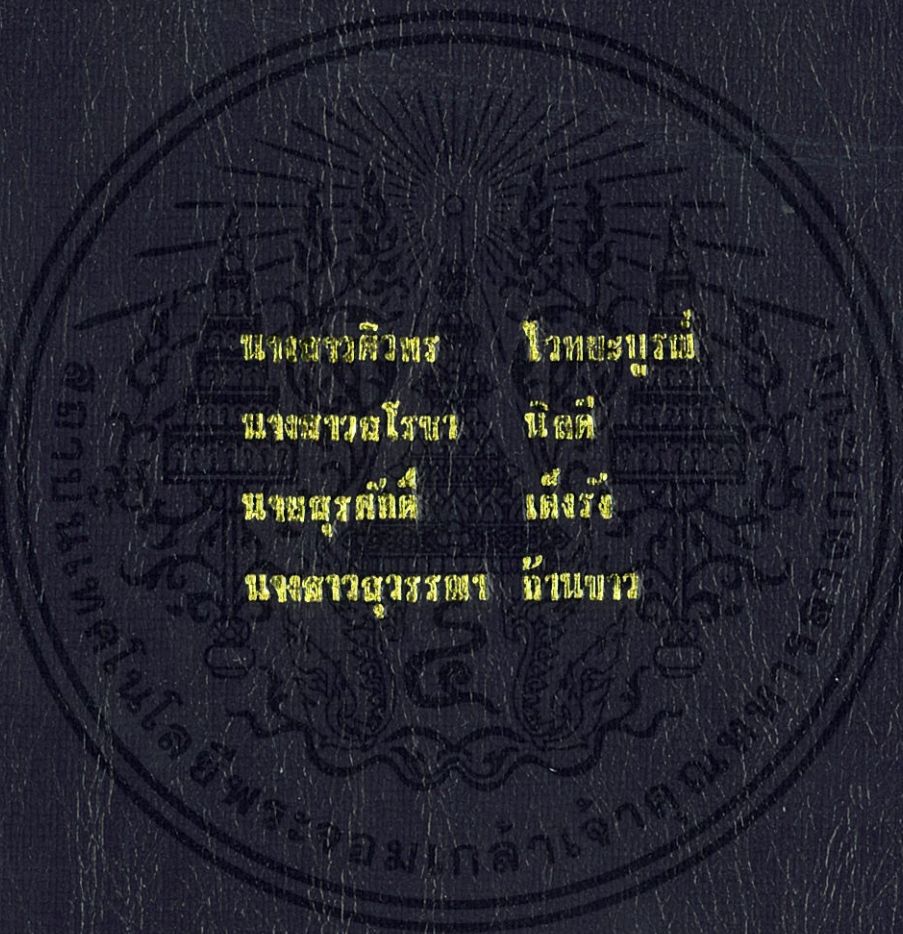


การดูดซับโครเมียม (VI) ในน้ำทิ้งสังเคราะห์โดยใช้โชนที่มีอนุภาค
บนโคโคซานที่ปรับปรุงด้วยพอลิแอลกอฮอล์

ADSORPTION OF CHROMIUM (VI) IN SYNTHETIC WASTEWATER
BY USING LANTANUM AND IRON SUPPORTED
ON CHITOSAN MODIFIED WITH POLY (VINYL ALCOHOL)



นางสาวศิวพร	ไวทยะบุรณ์
นางสาวชโรชา	นิลดี
นางนุศรศักดิ์	เตงระ
นางสาวอุรรรดา	นันทาว

โครงการพิเศษนี้เป็นส่วนหนึ่งของการศึกษาตามหลักสูตร
ปริญญาโทวิทยาศาสตร์บัณฑิต สาขาวิชาเคมีอุตสาหกรรม
ภาควิชาเคมี คณะวิทยาศาสตร์
สถาบันเทคโนโลยีพระจอมเกล้าเจ้าคุณทหารลาดกระบัง
ปีการศึกษา 2557

การดูดซับโครเมียม (VI) ในน้ำทิ้งสังเคราะห์โดยใช้แลนทานัมและเหล็ก
บนไคโตซานที่ปรับปรุงด้วยพอลิไวนิลแอลกอฮอล์

ADSORPTION OF CHROMIUM (VI) IN SYNTHETIC WASTEWATER
BY USING LANTANUM AND IRON SUPPORTED
ON CHITOSAN MODIFIED WITH POLY (VINYL ALCOHOL)



นางสาวคิพร ไวทยะบุรณ์
นางสาวโรชา นิลดี
นายสุรศักดิ์ เต็งรัง
นางสาวสุวรรณา ก้านขาว

โครงการพิเศษนี้เป็นส่วนหนึ่งของการศึกษาตามหลักสูตร
ปริญญาวิทยาศาสตรบัณฑิต สาขาวิชาเคมีอุตสาหกรรม

ภาควิชาเคมี คณะวิทยาศาสตร์

เอกสารนี้เป็นเอกสารที่สงวนไว้สำหรับการใช้งานเพื่อการศึกษาเท่านั้น ไม่อนุญาตให้นำไปใช้ประโยชน์ด้านการค้า
ไม่ว่ากรณีใดๆทั้งสิ้น อีกทั้งห้ามเผยแพร่ต่อผู้อื่น และต้องอ้างอิงถึงเจ้าของเอกสารทุกครั้งที่มีการนำไปใช้
ปีการศึกษา 2557

ADSORPTION OF CHROMIUM (VI) IN SYNTHETIC WASTEWATER
BY USING LANTANUM AND IRON SUPPORTED
ON CHITOSAN MODIFIED WITH POLY (VINYL ALCOHOL)



MISS SIWAPORN VAITAYABOON
MISS SAROCHA NILDEE
MR. SURASAK TENGRANG
MISS SUWANNA KANKHAW

A SPECIAL PROJECT SUBMITTED IN PARTIAL FULFILLMENT
OF THE REQUIREMENTS FOR THE DEGREE OF BACHELOR OF SCIENCE
IN INDUSTRIAL CHEMISTRY
DEPARTMENT OF CHEMISTRY
FACULTY OF SCIENCE



เอกสารนี้เป็นเอกสารที่ King Mongkut's Institute of Technology Ladkrabang ใช้ประโยชน์ด้านการค้า
ไม่ว่ากรณีใดๆทั้งสิ้น อีกทั้งห้ามมิให้คัดลอกหรือเผยแพร่ข้อมูลใดๆไปยังผู้อื่นโดยไม่ได้รับอนุญาต
ACADEMIC YEAR 2014

หัวข้อโครงการพิเศษ การดูดซับโครเมียม (VI) ในน้ำทิ้งสังเคราะห์โดยใช้เลนทานัม (III) และเหล็ก (III) บนไคโตซานที่ปรับปรุงด้วยพอลิไวนิลแอลกอฮอล์
Adsorption of Chromium (VI) in Synthetic Wastewater by Using Lanthanum and Iron Supported on Chitosan Modified with Poly (Vinyl Alcohol)

ชื่อนักศึกษา นางสาวศิวพร ไชยยะบุรณ์ รหัสนักศึกษา 54050286
นางสาวสโรชา นิลดี รหัสนักศึกษา 54050293
นายสุรศักดิ์ เต็งรัง รหัสนักศึกษา 54050317
นางสาวสุวรรณา ก้านขาว รหัสนักศึกษา 54050319

ปริญญา วิทยาศาสตรบัณฑิต (เคมีอุตสาหกรรม)
ภาควิชา เคมี
ปีการศึกษา 2557
อาจารย์ที่ปรึกษา ดร.อำนาจ เพิ่มทรัพย์สกุล

คณะวิทยาศาสตร์ สถาบันเทคโนโลยีพระจอมเกล้าเจ้าคุณทหารลาดกระบัง อนุมัติให้
โครงการพิเศษนี้เป็นส่วนหนึ่งของการศึกษาตามหลักสูตรปริญญา วิทยาศาสตรบัณฑิต สาขาวิชา
เคมีอุตสาหกรรม ประจำปีการศึกษา 2557

คณะกรรมการสอบ	ลายมือชื่อ
ผศ.ดร.มนตรี ทองคำ ประธานกรรมการ	
ดร.เอกรัฐ เดชศรี กรรมการ	
ดร.อำนาจ เพิ่มทรัพย์สกุล กรรมการและอาจารย์ที่ปรึกษา	

เอกสารนี้เป็นเอกสารที่สงวนไว้สำหรับการใช้งานเพื่อการศึกษาเท่านั้น ไม่อนุญาตให้นำไปใช้ประโยชน์ด้านการค้า
ไม่ว่ากรณีใดๆทั้งสิ้น อีกทั้งห้ามมิให้คัดลอกเนื้อหา และต้องอ้างอิงถึงเจ้าของเอกสารทุกครั้งที่มีการนำไปใช้
ลิขสิทธิ์ของคณะวิทยาศาสตร์

สถาบันเทคโนโลยีพระจอมเกล้าเจ้าคุณทหารลาดกระบัง

Title	Adsorption of Chromium (VI) in Synthetic Wastewater by Using Lanthanum and Iron Supported on Chitosan Modified with Poly (Vinyl Alcohol)		
Students	Miss Siwaporn Vaitayaboon	student ID 54050286	
	Miss Sarocha Nildee	student ID 54050293	
	Mr. Surasak Tengrang	student ID 54050317	
	Miss Suwanna Kankhaw	student ID 54050319	
Degree	Bachelor of Science (Industrial Chemistry)		
Major	Chemistry		
Academic Year	2014		
Advisor	Dr. Amnat Permsubscul		

ABSTRACT

This research is the study of comparison efficiency of Chromium (VI) adsorption in wastewater by using Lanthanum on Chitosan that is adapted by Poly (Vinyl Alcohol) (La/Chi/PVA) as absorbent and Iron on Chitosan that is adapted by Poly (Vinyl Alcohol) (Fe/Chi/PVA) as absorbent also. Studies factors such as the type of absorbent, concentration of Lanthanum and Iron, initial concentration of Chromium (VI), time of adsorption, temperature and interference by specification pH stable solution as 3. According to the analysis result, found that La/Chi/PVA absorbent can adsorb better than Fe/Chi/PVA. Moreover, 5% La/Chi/PVA absorbent can adsorb in the best time at 240 minutes by percent of adsorption is 99.90%. Initial concentration of Chromium (VI) is 50 mg/L beneath room temperature, it found that adsorption at room temperature showed percent of Chromium (VI) elimination higher than 50 celcius degree. Addition interference (Copper ion) into Chromium (VI) solution made adsorption of Chromium (VI) decrease. Moreover, studied the form of Langmuir and Freundlich isotherm by using 5% La/Chi/PVA absorbent found that Chromium (VI) adsorption by using 5% La/Chi/PVA absorbent conform with Langmuir isotherm.

Keywords : Adsorption, Chitosan, Chromium, Iron, Lanthanum, Poly (Vinyl Alcohol)

เอกสารนี้เป็นเอกสารที่สงวนไว้สำหรับการใช้งานเพื่อการศึกษาเท่านั้น ไม่อนุญาตให้นำไปใช้ประโยชน์ด้านการค้า
ไม่ว่ากรณีใดๆทั้งสิ้น อีกทั้งห้ามมิให้ตัดแปลงเนื้อหา และต้องอ้างอิงถึงเจ้าของเอกสารทุกครั้งที่มีการนำไปใช้

กิตติกรรมประกาศ

รายงานเล่มนี้เป็นส่วนหนึ่งของการศึกษาวิชาโครงการพิเศษ ในหัวข้อเรื่องการดูดซับโครเมียม (VI) ในน้ำทิ้งสังเคราะห์โดยใช้แลนทานัมและเหล็กบนโคโตซานที่ปรับปรุงด้วยพอลิไวนิลแอลกอฮอล์ โครงการพิเศษนี้ไม่สามารถสำเร็จลุล่วงไปได้ด้วยดี หากไม่ได้รับการช่วยเหลือจากบุคคลดังต่อไปนี้

ทางผู้จัดทำขอขอบคุณ ดร.อำนาจ เพิ่มทรัพย์สกุล ที่ให้ความรู้และคำแนะนำต่างๆ ที่เกี่ยวกับการทดลอง ตอบข้อซักถาม และปรับปรุงข้อบกพร่องที่เกิดขึ้นในการทำการทดลองจนกระทั่งโครงการพิเศษนี้ ลุล่วงไปด้วยดี

ขอขอบคุณ คณะกรรมการ ผศ.ดร.มนตรี ทองคำ และดร.เอกรัฐ เดชศรี ที่ให้คำแนะนำต่างๆ ที่เกี่ยวกับการทดลองและข้อเสนอแนะ

ขอขอบคุณ เจ้าหน้าที่วิทยาศาสตร์ทุกท่าน ที่ให้ความอนุเคราะห์ในการเบิกเครื่องมือ อุปกรณ์ และสารเคมีที่ใช้ในการทดลอง รวมทั้งอำนวยความสะดวกในการใช้ห้องปฏิบัติการเคมีต่างๆ

ขอขอบคุณ แม่บ้าน และเจ้าหน้าที่ทุกท่าน ที่อำนวยความสะดวกเกี่ยวกับเรื่องการเปิดและปิด ห้องปฏิบัติการในวันที่มีการทำการทดลอง

ขอขอบใจเพื่อนๆที่คอยช่วยเหลือ ให้กำลังใจ และช่วยคิดแก้ปัญหาต่างๆ ที่เกิดขึ้นระหว่างทำการทดลอง ทำให้การทำโครงการพิเศษนี้เป็นไปด้วยดี

ขอขอบคุณ บิดามารดาของผู้จัดทำที่เป็นกำลังใจ และสนับสนุนกำลังใจทรัพยากรในการทำโครงการพิเศษครั้งนี้

ผู้จัดทำหวังเป็นอย่างยิ่งว่า รายงานฉบับนี้คงจะเป็นประโยชน์สำหรับผู้ที่มีความสนใจในงานที่เกี่ยวข้องทางด้านนี้ หรือผู้ที่ต้องการศึกษาหาความรู้เกี่ยวกับโครงการพิเศษนี้ หากมีข้อผิดพลาดประการใดผู้จัดทำต้องขออภัยไว้ ณ ที่นี้ด้วย

นางสาวศิวพร ไวทยะบุรณ์
นางสาวสโรชา นิลดี
นายสุรศักดิ์ เต็งรัง
นางสาวสุวรรณา ก้านขาว

เอกสารนี้เป็นเอกสารที่สงวนไว้สำหรับการใช้งานเพื่อการศึกษาเท่านั้น ไม่อนุญาตให้นำไปใช้ประโยชน์ด้านการค้า ไม่ว่ากรณีใดๆทั้งสิ้น อีกทั้งห้ามมิให้ตัดแปลงเนื้อหา และต้องอ้างอิงถึงเจ้าของเอกสารทุกครั้งที่มีการนำไปใช้

สารบัญ

	หน้า
บทคัดย่อภาษาไทย.....	ก
บทคัดย่อภาษาอังกฤษ.....	ข
กิตติกรรมประกาศ.....	ค
สารบัญ.....	ง
สารบัญตาราง.....	ฉ
สารบัญรูป.....	ช
บทที่ 1 : บทนำ.....	1
1.1 ความสำคัญและที่มาของโครงการพิเศษ.....	1
1.2 วัตถุประสงค์.....	3
1.3 ขอบเขตงานวิจัย.....	3
1.4 ประโยชน์ที่คาดว่าจะได้รับ.....	4
บทที่ 2 : ทฤษฎีและหลักการ.....	5
2.1 ไคตินและไคโตซาน.....	5
2.2 แลนทานัมแอสिटเตด.....	15
2.3 เพอร์ริกคลอไรด์.....	16
2.4 พอลิไวนิลแอลกอฮอล์.....	17
2.5 กระบวนการดูดซับ.....	18
2.6 งานวิจัยที่เกี่ยวข้อง.....	24
บทที่ 3 : การดำเนินงานวิจัย.....	26
3.1 เครื่องมือและอุปกรณ์.....	26
3.2 สารเคมี.....	27
3.3 การทดลอง.....	28
3.3.1 การเตรียมตัวดูดซับ.....	28
3.3.2 การศึกษาประสิทธิภาพการดูดซับของตัวดูดซับ.....	32
3.3.3 การศึกษาไอโซเทอมของการดูดซับโครเมียม (VI).....	35
3.3.4 การทดสอบสมบัติทางเคมีและพิษจัน์เอกลักษณ์ของตัวดูดซับ.....	35

เอกสารนี้เป็นเอกสารที่สงวนไว้สำหรับการใช้งานเพื่อการศึกษาเท่านั้น ไม่อนุญาตให้นำไปใช้ประโยชน์ด้านการค้า
ไม่ว่ากรณีใดๆทั้งสิ้น อีกทั้งห้ามมิให้ตัดแปลงเนื้อหา และต้องอ้างอิงถึงเจ้าของเอกสารทุกครั้งที่มีการนำไปใช้

สารบัญ (ต่อ)

	หน้า
บทที่ 4 : ผลการทดลองและอภิปรายผล.....	37
4.1 การศึกษาลักษณะทางกายภาพและทางเคมีของโคโตซาน.....	37
ที่ปรับปรุงด้วยพอลิไวนิลแอลกอฮอล์, แลนทานัมบนโคโตซาน	
ที่ปรับปรุงด้วยพอลิไวนิลแอลกอฮอล์ และเหล็กบนโคโตซาน	
ที่ปรับปรุงด้วยพอลิไวนิลแอลกอฮอล์	
4.1.1 การวิเคราะห์หมู่ฟังก์ชันของตัวดูดซับ.....	37
4.1.2 การศึกษาลักษณะพื้นผิวของตัวดูดซับ.....	41
4.1.3 การศึกษาโครงสร้างผลึกของตัวดูดซับ.....	43
4.1.4 การวิเคราะห์การเปลี่ยนแปลงน้ำหนักของตัวดูดซับ.....	45
4.1.5 การหาเลขไอโอดีน.....	47
4.2 การศึกษาประสิทธิภาพการดูดซับโครเมียม (VI) ในน้ำเสีย.....	48
สังเคราะห์โดยโคโตซานที่ปรับปรุงด้วยพอลิไวนิลแอลกอฮอล์,	
แลนทานัมบนโคโตซานที่ปรับปรุงด้วยพอลิไวนิลแอลกอฮอล์และ	
เหล็กบนโคโตซานที่ปรับปรุงด้วยพอลิไวนิลแอลกอฮอล์	
4.2.1 ผลของปริมาณแลนทานัมและเหล็กในโคโตซาน.....	48
ที่ปรับปรุงด้วยพอลิไวนิลแอลกอฮอล์ที่มีผลต่อ	
ประสิทธิภาพในการดูดซับโครเมียม (VI)	
4.2.2 ผลของเวลาและความเข้มข้นเริ่มต้นโครเมียม (VI).....	51
ที่มีต่อประสิทธิภาพในการดูดซับโครเมียม (VI)	
4.2.3 ผลของอุณหภูมิที่มีต่อประสิทธิภาพในการดูดซับ.....	53
โครเมียมด้วย 10% Fe/Chi/PVA	
4.2.4 ผลของไอออนรบกวนที่มีต่อประสิทธิภาพในการ.....	54
ดูดซับโครเมียม (VI) ด้วย 10% Fe/Chi/PVA	
4.3 ไอโซเทอมการดูดซับ.....	56
บทที่ 5 : สรุปผลการทดลองและข้อเสนอแนะ.....	59
เอกสารอ้างอิง.....	60
ภาคผนวก.....	62
ภาคผนวก ก.....	63
ภาคผนวก ข.....	66
ภาคผนวก ค.....	70

เอกสารนี้เป็นเอกสารที่สงวนไว้สำหรับการใช้งานเพื่อการศึกษาเท่านั้น ไม่อนุญาตให้นำไปใช้ประโยชน์ด้านการค้า
ไม่ว่ากรณีใดๆทั้งสิ้น อีกทั้งห้ามมิให้คัดลอกเนื้อหา และต้องอ้างอิงถึงเจ้าของเอกสารทุกครั้งที่มีการนำไปใช้

สารบัญตาราง

ตารางที่	หน้า
2.1 แสดงถึงองค์ประกอบที่สำคัญในเปลือกกุ้งและปู.....	6
2.2 ตัวอย่างรายการแสดงมาตรฐานของผลิตภัณฑ์ไคติน.....	10
2.3 แสดงถึงสมบัติพื้นฐานของวัตถุดิบไคตินและไคโตซาน.....	11
2.4 วิธีการตรวจสอบคุณภาพเบื้องต้นของไคตินและไคโตซาน.....	12
3.1 การทดสอบสมบัติทางเคมีของผลิตภัณฑ์จากปฏิกิริยา.....	35
4.1 ผลของปริมาณแลนทานัมและเหล็กในไคโตซานที่ปรับปรุงด้วย.....	49
พอลิไวนิลแอลกอฮอล์ ที่มีต่อเปอร์เซ็นต์การดูดซับที่ความเข้มข้น โครเมียม (VI) เริ่มต้น 50 mg/L	
4.2 ผลของเวลาและความเข้มข้นในการดูดซับโครเมียม (VI) ด้วย.....	51
5% La/Chi/PVA และ 5% Fe/Chi/PVA	
4.3 ผลของอุณหภูมิในการดูดซับโครเมียม (VI) ด้วย 10% Fe/Chi/PVA.....	53
ที่ความเข้มข้นโครเมียม (VI) เริ่มต้น 50 mg/L	
4.4 ผลของไอออนรบกวน (Cu^{2+}) ในการดูดซับโครเมียม (VI) ด้วย.....	55
10 % Fe/Chi/PVA ที่ความเข้มข้นเริ่มต้นโครเมียม (VI) เท่ากับ 50 mg/L	

เอกสารนี้เป็นเอกสารที่สงวนไว้สำหรับการใช้งานเพื่อการศึกษาเท่านั้น ไม่อนุญาตให้นำไปใช้ประโยชน์ด้านการค้า
ไม่ว่ากรณีใดๆทั้งสิ้น อีกทั้งห้ามมิให้ตัดแปลงเนื้อหา และต้องอ้างอิงถึงเจ้าของเอกสารทุกครั้งที่มีการนำไปใช้

สารบัญรูป

รูปที่	หน้า
2.1 โครงสร้างทางเคมีของโคตินและโคโตซาน.....	5
2.2 แสดงลักษณะโครงสร้างทางเคมีที่คล้ายคลึงกันของ.....	7
(ก) โครงสร้างของเซลลูโลส (ข) โคติน และ (ค) โคโตซาน	
2.3 โครงสร้างการเรียงตัวของสายโซ่แบบแอลฟา เบตา และแกมมา.....	8
2.4 ผลการวิเคราะห์โครงสร้างผลึกของโคตินด้วยเทคนิค X-ray Diffraction.....	8
2.5 โครงสร้างทางเคมีของแลนทานัมแอซิเตด.....	15
2.6 โครงสร้างทางเคมีของเหล็กคลอไรด์.....	16
2.7 โครงสร้างทางเคมีของพอลิไวนิลแอลกอฮอล์.....	17
2.8 ขั้นตอนการเคลื่อนย้ายโมเลกุลของสารดูดซับมายังสารดูดซับ.....	20
ด้วยถ่านกัมมันต์	
2.9 แสดงกราฟไอโซเทอม (Isotherm).....	21
2.10 ไอโซเทอมการดูดซับแบบพื้นฐาน.....	21
2.11 กราฟแสดงการหาค่าคงที่ในไอโซเทอมแบบต่างๆ.....	23
3.1 แผนผังการเตรียมตัวดูดซับโลหะทรานสิชัน (แลนทานัมและเหล็ก).....	31
บนโคโตซานที่ปรับปรุงด้วยพอลิไวนิลแอลกอฮอล์	
4.1 อินฟราเรดสเปกตรัมของโคโตซาน.....	38
4.2 อินฟราเรดสเปกตรัมของโคโตซานที่ปรับปรุงด้วยพอลิไวนิลแอลกอฮอล์.....	38
4.3 การเชื่อมโยงด้วยพันธะไฮโดรเจนระหว่างโคโตซานและพอลิไวนิลแอลกอฮอล์.....	39
4.4 อินฟราเรดสเปกตรัมของแลนทานัมบนโคโตซานที่ปรับปรุงด้วยพอลิไวนิลแอลกอฮอล์.....	39
4.5 อินฟราเรดสเปกตรัมของเหล็กบนโคโตซานที่ปรับปรุงด้วยพอลิไวนิลแอลกอฮอล์.....	40
4.6 (ก) โครงสร้างของเหล็กบนโคโตซานที่ปรับปรุงด้วยพอลิไวนิลแอลกอฮอล์.....	41
(ข) โครงสร้างของแลนทานัมบนโคโตซานที่ปรับปรุงด้วยพอลิไวนิลแอลกอฮอล์	
4.7 ลักษณะพื้นผิวของโคโตซานที่ปรับปรุงด้วย PVA, La/Chi/PVA และ.....	43
Fe/Chi/PVA ที่สถานะต่างๆ	
4.8 รูปแบบการเลี้ยวเบนรังสีเอ็กซ์ของโคโตซานที่ปรับปรุงด้วยพอลิไวนิลแอลกอฮอล์.....	44
4.9 รูปแบบการเลี้ยวเบนรังสีเอ็กซ์ของแลนทานัมบนโคโตซาน.....	44
ที่ปรับปรุงด้วยพอลิไวนิลแอลกอฮอล์	
4.10 รูปแบบการเลี้ยวเบนรังสีเอ็กซ์ของเหล็กบนโคโตซานที่ปรับปรุงด้วยพอลิไวนิลแอลกอฮอล์.....	45
4.11 เทอร์โมแกรมของโคโตซานที่ปรับปรุงด้วยพอลิไวนิลแอลกอฮอล์.....	46

เอกสารนี้เป็นเอกสารที่สงวนไว้สำหรับการใช้งานเพื่อการศึกษาเท่านั้น ไม่อนุญาตให้นำไปใช้ประโยชน์ด้านการค้า
ไม่ว่ากรณีใดๆทั้งสิ้น อีกทั้งห้ามมิให้คัดแปลงเนื้อหา และต้องอ้างอิงถึงเจ้าของเอกสารทุกครั้งที่มีการนำไปใช้

สารบัญรูป(ต่อ)

รูปที่	หน้า
4.12 เทอร์โมแกรมของแลนทานัมบนโคโคซานที่ปรับปรุงด้วยพอลิไวนิลแอลกอฮอล์.....	46
4.13 เทอร์โมแกรมของเหล็กบนโคโคซานที่ปรับปรุง ด้วยพอลิไวนิลแอลกอฮอล์.....	47
4.14 เลขไอโอดีนของตัวดูดซับ La/Chi/PVA และ Fe/Chi/PVA.....	48
ที่ปริมาณโลหะทรานซิชันต่างๆ	
4.15 ผลของชนิดของตัวดูดซับและปริมาณโลหะทรานซิชันที่มีผล.....	49
ต่อการดูดซับโครเมียม (VI) ที่ความเข้มข้นเริ่มต้น 50 mg/L	
4.16 ผลของเวลาและความเข้มข้นเริ่มต้นโครเมียม(VI) ที่มีต่อเปอร์เซ็นต์การดูดซับ.....	52
การดูดซับโครเมียม (VI) โดยใช้ตัวดูดซับ 5% La/Chi/PVA	
4.17 ผลของเวลาและความเข้มข้นเริ่มต้นโครเมียม (VI) ที่มีต่อเปอร์เซ็นต์.....	52
การดูดซับโครเมียม(VI) โดยใช้ตัวดูดซับ 5% Fe/Chi/PVA	
4.18 ผลของอุณหภูมิที่มีต่อการดูดซับโครเมียมที่ความเข้มข้นเริ่มต้น.....	54
50 mg/L โดย 10% Fe/Chi/PVA	
4.19 ผลของตัวรบกวนที่มีต่อการดูดซับโครเมียมที่ความเข้มข้น.....	55
เริ่มต้น 50 mg/L โดย 10% Fe/Chi/PVA	
4.20 แสดงความสัมพันธ์ระหว่าง $1/q_e$ และ $1/C_e$ ตามไอโซเทอมแบบแลงเมียร์.....	56
สำหรับการดูดซับโครเมียมด้วย 5% La/Chi/PVA	
4.21 แสดงความสัมพันธ์ระหว่าง $\log q_e$ และ $\log C_e$ ตามไอโซเทอมแบบฟรุนดิช.....	57
สำหรับการดูดซับด้วย 5% La/Chi/PVA	
4.22 แสดงความสัมพันธ์ระหว่าง $1/q_e$ และ $1/C_e$ ตามไอโซเทอมแบบแลงเมียร์.....	57
สำหรับการดูดซับโครเมียมด้วย 5% Fe/Chi/PVA	
4.23 แสดงความสัมพันธ์ระหว่าง $\log q_e$ และ $\log C_e$ ตามไอโซเทอมแบบฟรุนดิช.....	58
แบบฟรุนดิชสำหรับการดูดซับด้วย 5% Fe /Chi/PVA	

เอกสารนี้เป็นเอกสารที่สงวนไว้สำหรับการใช้งานเพื่อการศึกษาเท่านั้น ไม่อนุญาตให้นำไปใช้ประโยชน์ด้านการค้า
ไม่ว่ากรณีใดๆทั้งสิ้น อีกทั้งห้ามมิให้คัดแปลงเนื้อหา และต้องอ้างอิงถึงเจ้าของเอกสารทุกครั้งที่มีการนำไปใช้

บทที่ 1

บทนำ

1.1 ความสำคัญและที่มาของโครงการพิเศษ

เนื่องจากในประเทศไทยมีโรงงานอุตสาหกรรมเป็นจำนวนมากและมีโรงงานอุตสาหกรรมจำนวนไม่น้อยที่มีการผสมโครเมียมลงในผลิตภัณฑ์ เช่น ใช้เป็นส่วนผสมในการผลิตเหล็กกล้าไร้สนิม ใช้เป็นส่วนผสมกับเหล็ก นิกเกิล และโลหะอื่นๆ เพื่อผลิตเหล็กอัลลอยด์ที่แข็งแรง ทนต่อการกัดกร่อนและความร้อนได้สูง ใช้เป็นสารชุบโลหะ เคลือบโลหะ รวมถึงพลาสติก เพื่อให้เกิดความมันเงา ป้องกันการกัดกร่อน เช่น อุตสาหกรรมชิ้นส่วนรถยนต์ ใช้เป็นส่วนประกอบในการผลิตสีย้อมหรือเม็ดสี เช่น Chrome oxide green (Cr_2O_3), Chrome yellow (PbCrO_4), Chrome orange ($\text{PbCrO}_4\cdot\text{PbO}$) เป็นสารช่วยย้อมติดสีในอุตสาหกรรมสิ่งทอและย้อมผ้า ใช้ในอุตสาหกรรมพอกหนังในรูปสารประกอบของ $\text{Cr}(\text{OH})\text{SO}_4$ ใช้เป็นส่วนผสมของสารฆ่าเชื้อราและน้ำยารักษาเนื้อไม้ ใช้ผลิตตัวยับยั้งฝุ่นและป้องกันการกัดกร่อนของเครื่องยนต์ดีเซล ใช้เป็นสารยับยั้งการเกิดสนิม ใช้ในอุตสาหกรรมผลิตแก้วสี ใช้ในกระบวนการผลิตอิฐทนความร้อน เป็นต้น

การปนเปื้อนในสิ่งแวดล้อมและความเป็นพิษ เช่น มลพิษทางน้ำ โครเมียมที่พบในน้ำทิ้ง และถูกปล่อยลงสู่แม่น้ำลำคลอง ส่วนมากจะอยู่ในรูป Cr^{6+} ทั้งในรูปโครเมียมอิสระ และเกลือของโครเมียม สำหรับเกลือของ Cr^{6+} เช่น โครเมียมไตรออกไซด์ (Chromiumtrioxide, CrO_3) และโพแทสเซียมไดโครเมต (Potassium dichromate, $\text{K}_2\text{Cr}_2\text{O}_7$) จะไม่ตกตะกอนหรือรวมตัวกับดิน จึงสามารถเคลื่อนย้ายไปตามแหล่งน้ำไหลและน้ำใต้ผิวดินได้อย่างรวดเร็ว ทำให้ปนเปื้อนไปกับแหล่งน้ำดิบที่นำมาใช้ในการอุปโภคและบริโภคของมนุษย์ได้ง่าย ส่วน Cr^{3+} ในธรรมชาติโอกาสที่มนุษย์จะสัมผัสหรือรับเข้าร่างกายจะพบได้น้อยกว่า Cr^{6+} โดยจะพบ Cr^{3+} ได้ที่พีเอชต่ำกว่า 3.6 เท่านั้น ซึ่งจะไม่ก่อความเป็นพิษและอันตรายต่อมนุษย์ แต่หากได้รับในปริมาณมากเกินความต้องการของร่างกายก็มักจะมีผลต่อระบบการทำงานที่เกี่ยวข้องกับการนำน้ำตาลมาใช้ผลิตปกติได้ ส่วนโครเมียมที่แพร่กระจายเข้าสู่สิ่งแวดล้อมทางอากาศส่วนมากมาจากแหล่งอุตสาหกรรมต่างๆ เช่น อุตสาหกรรม การทำเหมืองแร่ อุตสาหกรรมพ่นสี เป็นต้น ซึ่งมักจะแพร่กระจายในรูปของฝุ่น และละอองสารที่มีการปนเปื้อนของโครเมียมผสมอยู่ การแพร่กระจายในรูปแบบนี้มักพบคนงานหรือคนในชุมชนใกล้เคียงมีโอกาสได้รับสารโครเมียมเข้าสู่ร่างกายมากที่สุด และเมื่อฝุ่นหรือละอองสารตกตะกอนจะแพร่กระจายเข้าสู่แม่น้ำลำคลองโดยการชะของฝนต่อไป

ประเทศไทยมีการตรวจพบปริมาณการปนเปื้อนของโครเมียมในแหล่งน้ำบริเวณอุตสาหกรรมของกรุงเทพฯ และปริมณฑล ซึ่งมีระดับการปนเปื้อนอยู่ระหว่าง 0.0007-0.12 ไมโครกรัมต่อลิตร และพบการปนเปื้อนในแม่น้ำเจ้าพระยาบริเวณโซนอุตสาหกรรมประมาณ 0.15-0.26 ไมโครกรัมต่อลิตร ทั้งนี้ในปัจจุบันอาจมีปริมาณการปนเปื้อนที่เพิ่มขึ้น เนื่องจากมีการขยายตัวของภาคอุตสาหกรรมมากขึ้น การตกตะกอนของ Cr^{3+} และ Cr^{6+} นิยมใช้สารเคมีในการปรับพีเอชให้มีการเปลี่ยนรูปตกตะกอน ได้แก่ ปูนขาว ($\text{Ca}(\text{OH})_2$) และโซดาไฟ (NaOH)

ภาวะความเป็นพิษของโครเมียมที่มีต่อร่างกายมนุษย์ ส่วนมากมักเกิดจากการได้รับพิษของ Cr^{6+} ที่ปัจจุบันมีการใช้มากในอุตสาหกรรมจนถึงเป็นองค์ประกอบของผลิตภัณฑ์ต่างๆ ที่มนุษย์ใช้งาน ทำให้มีการปนเปื้อนสู่สิ่งแวดล้อม และมีโอกาสเข้าสู่ร่างกายมนุษย์ ถ้าความเป็นพิษฉับพลันมักพบใน

ผู้ป่วยที่ได้รับ Cr^{+6} เช่น กรดโครมิก และโพแทสเซียมไดโครเมต โดยพบอาการเฉียบพลันหลังได้รับสารโครเมียมเข้าร่างกาย คือ มีอาการอาเจียน ปวดท้องรุนแรง อาการท้องเสีย มีเลือดออกในกระเพาะอาหาร หากได้รับในปริมาณมากจะทำให้เกิดการช็อค และเสียชีวิตได้ ขนาดที่ทำให้เสียชีวิตได้ คือ บริโภค 1-3 กรัม พิษเรื้อรังเป็นลักษณะของพิษโครเมียมที่เกิดจากการที่ร่างกายได้รับในปริมาณน้อยถึงปานกลาง และมีการสะสมเป็นเวลานาน อาการของพิษจะค่อยๆ เริ่มปรากฏกับอวัยวะต่างๆ ของร่างกาย เช่น การระคายเคืองบริเวณผิวหนัง การเกิดแผลเรื้อรัง แผลหายช้า กระจกพรุน และผนังกันจมูกทะลุ รวมถึงการเกิดมะเร็งในอวัยวะต่างๆ Cr^{+6} ถูกจัดให้เป็นสารที่มีอันตรายมาก มีความเป็นพิษรุนแรงกว่า Cr^{+3} มากกว่า 100 เท่า หากได้รับเข้าร่างกายเพียงเล็กน้อยจะมีการสะสมทำให้เกิดพิษเรื้อรัง และเกิดมะเร็งในอวัยวะต่างๆ ตามมา หากได้รับ Cr^{+6} ในปริมาณความเข้มข้นมากจะเกิดการกัดกร่อนผิวหนัง อวัยวะระบบทางเดินหายใจเสียหายอย่างฉับพลัน Cr^{+3} เป็นธาตุโลหะหนักที่พบในร่างกายมนุษย์ หากร่างกายขาดโครเมียมชนิดนี้จะทำให้เกิดโรคเกี่ยวกับน้ำตาล เช่น โรคกลูโคสซูเรีย (Glycosuria) ทำให้มีการเพิ่มปริมาณของอินซูลิน (Serum insulin) คอเลสเตอรอล (Cholesterol) และไตรกลีเซอไรด์ (Triglycerides) ในร่างกาย รวมไปถึงยับยั้งการเจริญเติบโต การทำงานของเส้นโลหิต และแก้วตาอักเสบ

การบำบัดโครเมียม (VI) ที่เจือปนในน้ำ สามารถทำได้หลายวิธี ได้แก่ การใช้ปฏิกิริยารีดักชัน (Reduction) การตกตะกอนทางเคมี (Chemical precipitation) การแลกเปลี่ยนไอออน (Ion exchange) และกระบวนการรีเวิร์สออสโมซิส (Reverse osmosis) เป็นต้น อย่างไรก็ตามวิธีการบำบัดเหล่านี้ยังมีข้อจำกัดคือ ค่าใช้จ่ายในการบำบัดสูง และมีปัญหาในการกำจัดสลัดจ์ของโลหะ (Metal sludges) ทางเลือกในการบำบัดโครเมียม (VI) อีกทางหนึ่งคือ การใช้ตัวดูดซับประเภทไคโตซาน (Chitosan) ซึ่งเป็นวิธีที่มีประสิทธิภาพและมีค่าใช้จ่ายน้อย เนื่องจากเป็นสารที่ได้จากธรรมชาติ พบไคตินในเปลือกสัตว์ที่ไม่มีกระดูกสันหลัง ตระกูลครัสเตเชียน (Crustacean) เช่น กุ้ง ปู หอย ปลาหมึก และแมลง เป็นต้น [1]

ไคโตซาน (Chitosan, Poly β -(1-4)-2 amino-2-deoxy- D-glucose) เป็นอนุพันธ์ของไคตินเกิดจากปฏิกิริยา deacetylation ของไคตินในสารละลายต่างเข้มข้น ทำให้หมู่อะซิตามิโด (-NHCOCH₃) ของไคตินที่คาร์บอนตำแหน่งที่สองถูกแทนที่ด้วยหมู่เอมิโน (-NH₂) ไคโตซานมีสมบัติเด่นๆ หลายด้าน ได้แก่ รวมตัวกับสิ่งมีชีวิตได้ดี (Biocompatibility) สลายตัวได้โดยจุลินทรีย์ (Biodegradability) และเป็นสารที่ไม่มีพิษ โดยธรรมชาติแล้วมีความแข็งแรงเชิงกลต่ำอาจเกิดการแตกเสียหายเมื่อถูกบั่นทอนในระบบบำบัดโลหะแบบแบดซ์ นอกจากนั้นไคโตซานมักจะรวมกลุ่มกันเป็นก้อนในสารละลายซึ่งมีผลต่อความสามารถในการดูดซับโลหะที่บริเวณตำแหน่งว่องไว ดังนั้นเพื่อแก้ปัญหาเหล่านี้ และเป็นการเพิ่มประสิทธิภาพการดูดซับของไคโตซานจึงมีการปรับปรุงโครงสร้างของไคโตซานให้มีความเสถียรมากขึ้น ซึ่งจากงานวิจัยที่ผ่านมามีการใช้สารต่างๆ ช่วยในการปรับปรุงโครงสร้างไคโตซาน เช่น Glutaraldehyde (GLA), Epichlorohydrin (ECH), Ethylene glycol diglycidyl ether (EGDE) และ Polyvinyl alcohol (PVA) เป็นต้น [2]

ดังนั้นโครงการพิเศษนี้จึงสนใจศึกษาการกำจัดโครเมียมในน้ำทิ้งสังเคราะห์โดยกระบวนการดูดซับด้วยไคโตซานที่ปรับปรุงโครงสร้างด้วยพอลิไวนิลแอลกอฮอล์ (PVA) โดยมีการเติมโลหะทรานซิชัน เพื่อเพิ่มประสิทธิภาพในการดูดซับโครเมียม (VI) สำหรับงานวิจัยนี้จะใช้โลหะทรานซิชัน 2 ชนิด คือ แลนทานัม (Lanthanum) และเหล็ก (Iron) รวมทั้งศึกษาสภาวะที่มีผลต่อการดูดซับ

โครเมียม (VI) ได้แก่ ชนิดของโลหะทรานซิชัน ปริมาณของโลหะทรานซิชัน ความเข้มข้นเริ่มต้นของโครเมียม (VI) เวลาในการดูดซับ อุณหภูมิ และไอออนร่วม

1.2 วัตถุประสงค์

1) เพื่อศึกษาเปรียบเทียบประสิทธิภาพการดูดซับโครเมียม (VI) ในน้ำทิ้งสังเคราะห์ระหว่างโคโตซานที่ปรับปรุงโครงสร้างด้วยพอลิไวนิลแอลกอฮอล์ และโคโตซานที่ปรับปรุงโครงสร้างด้วยพอลิไวนิลแอลกอฮอล์ร่วมกับโลหะทรานซิชัน

2) เพื่อศึกษาปัจจัยที่มีผลต่อการดูดซับโครเมียม (VI) ในน้ำทิ้งสังเคราะห์ เช่น ชนิดของโลหะทรานซิชัน ปริมาณของโลหะทรานซิชัน ความเข้มข้นเริ่มต้นของโครเมียม (VI) เวลาในการดูดซับ อุณหภูมิ และไอออนร่วม รวมทั้งศึกษาไอโซเทอมของการดูดซับด้วย

1.3 ขอบเขตงานวิจัย

1) ตัวดูดซับที่ใช้ในการศึกษา คือ โคโตซานที่ปรับปรุงด้วยพอลิไวนิลแอลกอฮอล์ แลนทานัม และเหล็กบนโคโตซานที่ปรับปรุงด้วยพอลิไวนิลแอลกอฮอล์

2) การสังเคราะห์ตัวดูดซับแลนทานัมและเหล็กบนโคโตซานที่ปรับปรุงด้วยพอลิไวนิลแอลกอฮอล์ จะแปรค่าความเข้มข้นของสารละลายแลนทานัมและเหล็กเป็น 5, 10 และ 20 เปอร์เซ็นต์โดยน้ำหนัก

3) ศึกษาลักษณะทางกายภาพและโครงสร้างทางเคมีของตัวดูดซับโคโตซานที่ปรับปรุงด้วยพอลิไวนิลแอลกอฮอล์ร่วมกับโลหะทรานซิชัน โดยใช้กล้องจุลทรรศน์อิเล็กตรอนแบบส่องกราด (Scanning Electron Microscope, SEM) เทคนิคการเลี้ยวเบนของรังสีเอ็กซ์ (X-ray Diffraction, XRD) เทคนิคฟูเรียร์ทรานสฟอร์มอินฟราเรดสเปกโตรโฟโตมิเตอร์ (Fourier Transform Infrared Spectrophotometer, FT-IR) และเทคนิคเทอร์โมกราวิเมตริกแอนาไลซิส (Thermogravimetric analysis, TGA)

4) ศึกษาตัวแปรที่มีผลกระทบต่อผลการดูดซับโครเมียม (VI) ในน้ำทิ้งสังเคราะห์ด้วยโคโตซานที่ปรับปรุงด้วยพอลิไวนิลแอลกอฮอล์ร่วมกับโลหะทรานซิชัน ได้แก่

4.1 ความเข้มข้นเริ่มต้นของโครเมียม (VI) แปรค่าที่ 50, 100, 200 และ 300 มิลลิกรัมต่อลิตร

4.2 เวลาในการดูดซับ แปรค่าที่ 10, 30, 60, 90, 120, 180 และ 240 นาที

4.3 อุณหภูมิที่มีผลต่อการดูดซับ ที่อุณหภูมิห้องและอุณหภูมิ 50 องศาเซลเซียส

4.4 ไอออนร่วมที่มีผลต่อการดูดซับ คือ คอปเปอร์ไอออน

5) ศึกษาปัจจัยที่ควบคุม ได้แก่ pH ของน้ำทิ้งสังเคราะห์เท่ากับ 3 และปริมาณตัวดูดซับ 0.5 กรัมต่อน้ำทิ้งสังเคราะห์ 50 มิลลิตร ไอโซเทอมการดูดซับโครเมียมด้วยโคโตซานที่ปรับปรุงด้วยพอลิไวนิลแอลกอฮอล์ร่วมกับโลหะทรานซิชัน ว่าสอดคล้องกับไอโซเทอมแบบแลงเมียร์หรือไอโซเทอมแบบฟรุนดลิช

เอกสารนี้เป็นเอกสารที่สงวนไว้สำหรับการใช้งานเพื่อการศึกษาเท่านั้น ไม่อนุญาตให้นำไปใช้ประโยชน์ด้านการค้า ไม่ว่าจะกรณีใดๆทั้งสิ้น อีกทั้งห้ามมิให้คัดลอกเนื้อหา และต้องอ้างอิงถึงเจ้าของเอกสารทุกครั้งที่มีการนำไปใช้

1.4 ประโยชน์ที่คาดว่าจะได้รับ

- 1) ทราบถึงขั้นตอนการเตรียม และประสิทธิภาพของโคโตซานที่ปรับปรุงด้วยพอลิไวนิลแอลกอฮอล์ร่วมกับโลหะทรานซิซันเพื่อเป็นตัวดูดซับในการบำบัดโครเมียม (VI) ในน้ำทิ้งสังเคราะห์
- 2) ทราบถึงผลของตัวแปร และสภาวะที่เหมาะสมในการดูดซับโครเมียม (VI) ในน้ำทิ้งสังเคราะห์ของโคโตซานที่ปรับปรุงด้วยพอลิไวนิลแอลกอฮอล์ร่วมกับโลหะทรานซิซัน เพื่อเป็นแนวทางในการนำไปประยุกต์ใช้ และเพิ่มประสิทธิภาพในการบำบัดโครเมียม (VI) ในโรงงานอุตสาหกรรม
- 3) เป็นการเพิ่มมูลค่าให้แก่ของเสียเหลือทิ้ง เช่น เปลือกกุ้ง โดยนำมาผลิตเป็นโคโตซาน ซึ่งมีมูลค่ามากขึ้น และมีประโยชน์ทางสิ่งแวดล้อม รวมถึงเป็นการลดปริมาณของเสียที่เกิดขึ้นในสิ่งแวดล้อมได้



เอกสารนี้เป็นเอกสารที่สงวนไว้สำหรับการใช้งานเพื่อการศึกษาเท่านั้น ไม่อนุญาตให้นำไปใช้ประโยชน์ด้านการค้า ไม่ว่ากรณีใดๆ ทั้งสิ้น อีกทั้งห้ามมิให้คัดแปลงเนื้อหา และต้องอ้างอิงถึงเจ้าของเอกสารทุกครั้งที่มีการนำไปใช้

บทที่ 2

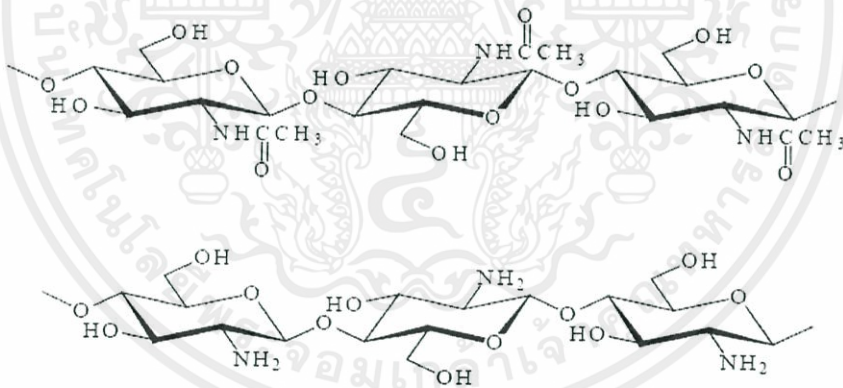
ทฤษฎีและหลักการ

2.1 ไคตินและไคโตซาน

2.1.1 โครงสร้างทางเคมีของไคตินและไคโตซาน

ไคติน (Chitin) เป็นสารพอลิเมอร์ธรรมชาติที่ประกอบด้วยโครงสร้างทางเคมี คือ Poly (β -(1-4)-2-acetamido-D-glucose) เป็นส่วนใหญ่ ส่วนไคโตซาน (Chitosan) เป็นอนุพันธ์ชนิดหนึ่งของไคตินที่ได้จากการทำปฏิกิริยาดีอะซีทิลเลชัน (Deacetylation) ของไคตินในสารละลายต่างเข้มข้น ซึ่งไคโตซานประกอบด้วย Poly (β -(1-4)-2-amino-D-glucose) เป็นโครงสร้างทางเคมีส่วนใหญ่ ไคตินและไคโตซานมีโครงสร้างทางเคมีคล้ายคลึงกับเซลลูโลสโดยแตกต่างกันที่หมู่แทนที่ที่คาร์บอนอะตอมตำแหน่งที่สองในวงแหวนไพราโนส (Pyranose ring) ซึ่งเป็นหน่วยย่อยของเซลลูโลส ไคตินและไคโตซานโดยหมู่ที่แทนที่ตำแหน่งนี้ของเซลลูโลสจะเป็นหมู่ไฮดรอกซิล (Hydroxyl group) แต่ของไคตินเป็นหมู่อะเซตาไมด์ (Acetamide group) ส่วนของไคโตซานเป็นหมู่เอมิโน (Amino group)

ไคตินและไคโตซานเป็นโคพอลิเมอร์ (Copolymer) ที่ประกอบด้วยโมโนเมอร์ (monomer) 2 ชนิด คือ N-acetyl-D-glucosamine และ D-glucosamine มีโครงสร้างทางเคมี ดังแสดงในรูปที่ 2.1



รูปที่ 2.1 โครงสร้างทางเคมีของไคตินและไคโตซาน

N-acetyl-D-glucosamine มีหมู่อะเซตาไมด์เป็นหมู่แทนที่ที่คาร์บอนตำแหน่งที่สองในวงแหวนไพราโนส ส่วน Glucosamine มีหมู่เอมิโนเป็นหมู่แทนที่คาร์บอนตำแหน่งที่สองในวงแหวนไพราโนส ในกรณีทีพอลิเมอร์ประกอบด้วย N-acetyl-D-glucosamine มากกว่า Glucosamine ($m > n$) เรียกพอลิเมอร์นั้นว่าไคติน แต่ในกรณีที่พอลิเมอร์ประกอบด้วย N-acetyl-D-glucosamine น้อยกว่า Glucosamine ($n > m$) เรียกพอลิเมอร์นั้นว่าไคโตซาน การเตรียมไคโตซานจากไคตินจะทำได้โดยการทำปฏิกิริยาดีอะซีทิลเลชัน ซึ่งเปลี่ยนหมู่แทนที่ที่คาร์บอนตำแหน่งที่สองในวงแหวนไพราโนสจากหมู่อะเซตาไมด์เป็นหมู่เอมิโน

จากลักษณะโครงสร้างที่เป็นโคพอลิเมอร์ของไคตินและไคโตซาน จึงทำให้มีการกำหนดค่าดัชนีที่จะใช้บอกระดับของการเกิดดีอะซิไทเลชัน โดยเรียกว่าค่าดัชนีนี้ว่า ค่าระดับของการเกิดดีอะซิไทเลชัน (Degree of deacetylation) ซึ่งค่านี้จะบอกถึงสัดส่วนของจำนวน D-glucosamine ที่มีอยู่ในสายพอลิเมอร์ของไคตินและไคโตซาน [3]

2.1.2 วัตถุดิบที่ใช้ในการผลิตไคติน

ไคตินเป็นองค์ประกอบส่วนใหญ่ซึ่งสารประเภทโพลีแซคคาไรด์ (Polysaccharide) ที่มีมากในธรรมชาติเป็นอันดับสองรองจากเซลลูโลส (Cellulose) โดยสารที่พบเป็นองค์ประกอบในเปลือกของสัตว์มีกระดอง (Crustaceous shell) ประเภท กุ้ง ปู หอย ปลาหมึก และสัตว์อื่นๆ ที่มีเปลือกแข็งหุ้มตัวซึ่งลักษณะของเปลือกจะหนาแข็ง ประกอบด้วยสารอินทรีย์ เรียกว่า Nitrogenous polysaccharide chitin ร่วมกับสารแคลเซียมซึ่งเป็นตัวทำให้แข็งและรวมอยู่ในรูปสารประกอบของโปรตีน

วัตถุดิบที่เป็นแหล่งสำคัญที่ใช้ในการผลิตไคติน ได้แก่ เปลือกกุ้งและเปลือกปูที่เป็นของเสียจากอุตสาหกรรมอาหารแช่แข็ง

2.1.3 สมบัติทางเคมีและทางกายภาพของไคตินและไคโตซาน

ไคตินเป็นพอลิเมอร์ชีวภาพที่มีมากเป็นอันดับสองรองมาจากเซลลูโลส โดยถูกพบในโครงสร้างเปลือกนอกของสัตว์จำพวกปู กุ้ง และแครงหมึก นอกจากนี้ยังถูกพบในผนังเซลล์ของเห็ดราและสาหร่ายบางชนิด เนื่องจากไคตินเป็นสารธรรมชาติจึงพบอยู่ในรูปของสารประสม (Compositematerial) กับสารอินทรีย์จำพวกโปรตีนและสารอินทรีย์จำพวกแคลเซียม แมกนีเซียม และฟอสฟอรัส ดังแสดงในตารางที่ 2.1

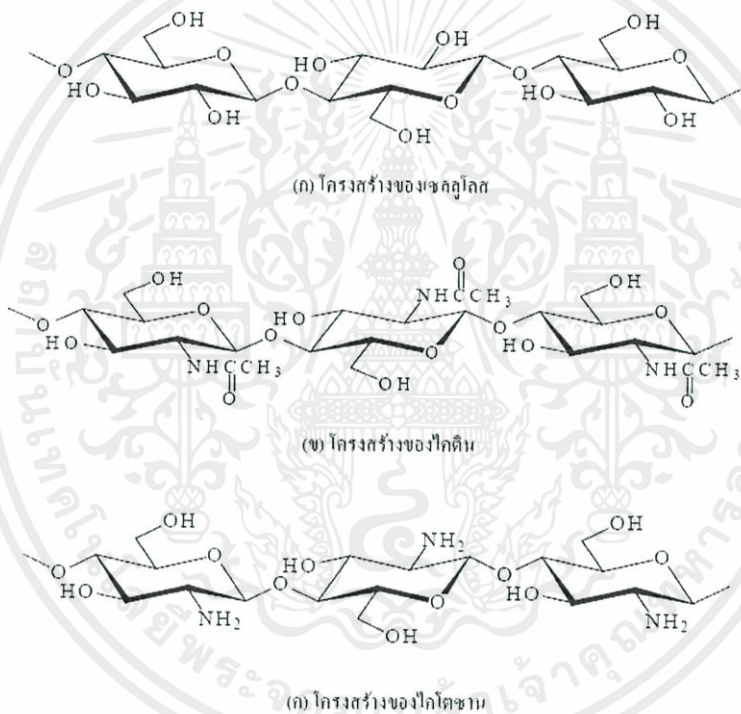
ตารางที่ 2.1 องค์ประกอบที่สำคัญในเปลือกกุ้งและปู (แสดงเป็นน้ำหนักเปอร์เซ็นต์โดยน้ำหนักจากการอบแห้ง)

สิ่งมีชีวิต	ปริมาณองค์ประกอบ (เปอร์เซ็นต์)				
	ไคติน	โปรตีน	แคลเซียม	แมกนีเซียม	ฟอสฟอรัส
ปูชน	18.4	10.5	21.3	1.2	-
King Crab	10.7	44.7	8.2	-	1.8
Swimming Crab	9.0	6.5	25.3	2.1	-
White Shrimp	32.4	29.4	15.3	0.6	-

เอกสารนี้เป็นเอกสารที่สงวนไว้สำหรับการใช้งานเพื่อการศึกษาเท่านั้น ไม่อนุญาตให้นำไปใช้ประโยชน์ด้านการค้า
 ดังนั้นจึงพบว่าเปลือกหุ้มแข็งของแมลงจะประกอบด้วยไคตินในรูปของไคติน-โปรตีนเปลือกนอกของสัตว์จำพวกกุ้ง ปู จะเป็นไคตินที่มีหินปูนหรือแคลเซียมคาร์บอเนตนอกเหนือจากโปรตีน

2.1.4 สายโซ่ไคตินและไคโตซาน

โครงสร้างทางเคมีของไคตินและไคโตซานมีความคล้ายคลึงกันกับเซลลูโลส คือเป็นสายโซ่ของแซคคาไรด์ แต่มีอะตอมของไนโตรเจนเข้าไปเพิ่ม เมื่อหน่วยแซคคาไรด์นั้นมีอะตอมของไนโตรเจนอยู่ในรูปของอะเซตามิโดเราจะเรียกว่าไคติน ในขณะที่หากหน่วยนั้นๆ มีอะตอมของไนโตรเจนอยู่ในรูปของหมู่เอมีโน เราจะเรียกว่าไคโตซาน (รูปที่ 2.2) เป็นที่น่าสังเกตว่าสายโซ่ที่มีหน่วยของไคตินและไคโตซานจะอยู่ในรูปที่ผสมกันอยู่สลับหน่วยปะปนกันไปเป็นโคพอลิเมอร์ ดังนั้นสารไคตินที่สกัดได้จากเปลือกกุ้งหรือเปลือกปู แม้ว่าจะมีหน่วยไคตินเป็นหลักอยู่สายโซ่ก็ตาม ก็จะมีหน่วยของไคโตซานปะปนอยู่จำนวนหนึ่ง (ประมาณ 5-10 เปอร์เซ็นต์) หรือแม้ว่าจะนำไคตินมาผ่านกระบวนการการปรับโครงสร้างทางเคมีด้วยการเปลี่ยนหมู่อะเซตามิโดเป็นเอมีโนไม่สามารถได้สายโซ่นี้ในรูปของไคโตซาน 100 เปอร์เซ็นต์ เกณฑ์ที่เป็นที่เข้าใจในกลุ่มวิจัยคือ ในกรณีที่สายโซ่ของไคโตซานเกินกว่า 70-75 เปอร์เซ็นต์ขึ้นไป เรียกว่า ไคโตซาน



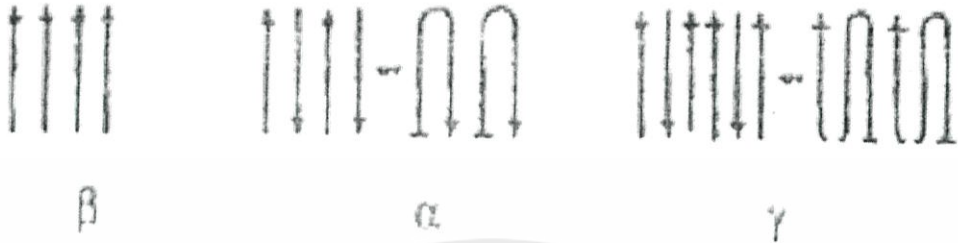
รูปที่ 2.2 แสดงลักษณะโครงสร้างทางเคมีที่คล้ายคลึงกันของ (ก) โครงสร้างของเซลลูโลส (ข) โครงสร้างของไคติน (ค) โครงสร้างของไคโตซาน

2.1.5 โครงสร้างที่แข็งแรงของไคตินและไคโตซาน

เมื่อพิจารณารูปที่ 2.1 โครงสร้างทางเคมีของพอลิเมอร์มีหมู่เอมีโน ($-NH_2$) และหมู่ไฮดรอกซิล ($-OH$) ที่ทำให้เกิดพันธะไฮโดรเจนระหว่างภายในสายโซ่ที่เรียกว่า Intramolecular hydrogen bonding และระหว่างสายโซ่ที่เรียกว่า Intermolecular hydrogen bonding ซึ่งพันธะไฮโดรเจนทำให้การเรียงตัวของสายโซ่แต่ละสายเป็นไปอย่างจำกัดทิศทางของสายโซ่ที่เรียงตัวกันนี้จำแนกได้ 3 ประเภท (รูปที่ 2.3) คือการเรียงตัวของสายโซ่เป็นการเรียงแบบทิศทางเดียวกัน หรือเบตา-ไคติน (β -chitin), แบบทิศทางเดียวกันและทิศทางสลับกันไป หรือแอลฟา-ไคติน (α -chitin) และแบบ

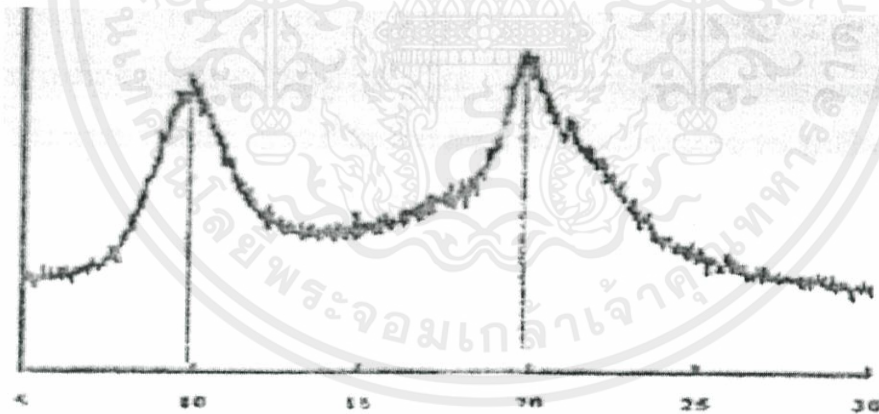
สวนทิศทางตลอดสายโซ่ หรือแกมมา-ไคติน (γ -chitin) โครงสร้างแอลฟาเป็นโครงสร้างที่มีความสมบูรณ์ในด้านพันธะไฮโดรเจน คือมีทั้งแบบภายในและระหว่างสายโซ่อย่างเป็นระเบียบ

ไคตินและไคโตซานที่มีโครงสร้างประเภทนี้จะมีความเสถียรสูงได้แก่ เปลือกกุ้ง เปลือกปู และเชื้อราบางชนิด สำหรับเบตาและแกมมา จะพบในแกนปลาหมึก และแมลง



รูปที่ 2.3 โครงสร้างการเรียงตัวของสายโซ่แบบแอลฟา เบตา และแกมมา

โครงสร้างทางกายภาพของผลึกนี้ สามารถศึกษาได้ด้วยการตกผลึกของไคโตซาน และวิเคราะห์ด้วยเครื่องมือวิเคราะห์ผลึกเดี่ยว แต่เนื่องจากไคติน และไคโตซานเป็นสายโซ่พอลิเมอร์ที่มีมวลโมเลกุลสูงจึงไม่สามารถที่จะเตรียมผลึกเดี่ยวได้ วิธีการหนึ่งที่ใช้คือ การศึกษาด้วยการเลี้ยวเบนของรังสีเอ็กซ์ที่ตกกระทบ (X-ray diffraction) กล่าวคือ เมื่อให้แสง X-ray ไปตกกระทบที่ตัวอย่าง แล้วรูปแบบของการเบี่ยงเบนของแสงที่เกิดขึ้นหลังจากตกกระทบบนตัวอย่าง จะเป็นนัยบ่งถึงโครงสร้างผลึกของสายใยพอลิเมอร์นั่นเอง



รูปที่ 2.4 ผลการวิเคราะห์โครงสร้างผลึกของไคตินด้วยเทคนิค X-ray Diffraction

รูปที่ 2.4 แสดงถึงโครงสร้างของไคติน ซึ่งมีลักษณะเด่นที่มีพีค 2 ตำแหน่งหลัก คือ ที่มุม 2 Theta ประมาณ 9 องศา และ 19 องศา ซึ่งบ่งบอกว่า โครงสร้างไคตินจะมีความเป็นผลึก และมีหน้าที่ห่างกันในช่วงประมาณ 19.63 และ 8.87 อังสตรอม วิธีการนี้จะเป็นวิธีการที่ต้องใช้เครื่องมือพิเศษ แต่เนื่องจากมีความง่ายต่อการเตรียมสาร และตรวจวิเคราะห์ได้รวดเร็ว จึงเป็นวิธีการหนึ่งที่ใช้ตรวจสอบทางกายภาพในการจำแนกไคติน [4]

2.1.6 สมบัติทางกายภาพ

2.1.6.1 การละลาย

การละลายเป็นกระบวนการหนึ่งที่ทำให้เกิดพันธะระหว่างโมเลกุลของสารกับตัวทำละลาย ดังนั้นสิ่งสำคัญที่จะทำให้พอลิเมอร์หนึ่งๆ ละลายได้ดี จึงขึ้นอยู่กับการยอมให้โมเลกุลของตัวทำละลายแทรก ผ่านเข้าไปในระหว่างสายโซ่พอลิเมอร์

ไคตินและไคโตซานมีโครงสร้างที่แข็งแรงเชื่อมด้วยพันธะไฮโดรเจนอย่างหนาแน่น และเป็นระเบียบ ดังนั้นโมเลกุลของตัวทำละลายจึงไม่สามารถแทรกผ่านและสร้างพันธะกับสายโซ่ของไคตินและไคโตซานได้ เป็นเหตุให้ไคตินและไคโตซานจะไม่ละลายในตัวทำละลายทั่วไป และบ่อยครั้งที่สารจะวมหรือพองตัวในตัวทำละลายเท่านั้นแต่ไม่ละลายอย่างสมบูรณ์

ตัวทำละลายที่ดีสำหรับไคตินและไคโตซาน จึงอาศัยหลักการที่จะทำให้เกิดพันธะไอออนไปทดแทนตำแหน่งไฮโดรเจน เช่น ที่ตำแหน่งอะมิโน หรือตำแหน่งอะเซตาไมด์ เมื่อตำแหน่งดังกล่าวกลายเป็นไอออนบวก แล้วพันธะไฮโดรเจนจะถูกทำลายและไอออนบวกจะสร้างพันธะไอออนิกกับไอออนลบในระบบตัวทำละลาย การละลายจึงเกิดขึ้น

ในกรณีของไคติน พบว่าในตัวทำละลายทั่วไป เช่น น้ำ กรดเจือจาง ต่างทั้งเจือจางและเข้มข้น แอลกอฮอล์ และตัวทำละลายอินทรีย์อื่นๆ ไม่สามารถที่จะทำให้ไคตินละลายได้ แต่ในขณะเดียวกัน กรดเข้มข้นจำพวกไฮโดรคลอริก กรดซัลฟิวริก กรดฟอสฟอริก และกรดฟอร์มิก จะให้เกิดการละลายได้ดี ทั้งนี้เนื่องจากกรดเข้มข้นดังกล่าวมีปริมาณโปรตอนมากเพียงพอที่จะทำให้เกิดไอออนบวกที่ตำแหน่ง อะเซตาไมด์ และทำให้ตำแหน่ง C-2 ของไคตินกลายเป็นไอออนบวก พันธะไฮโดรเจนจึงสลายลงในขณะที่เดียวกันพันธะไอออนิกถูกสร้างขึ้นระหว่างไอออนของกรดประเภทนั้นๆ ทำให้การละลายเกิดขึ้น

ตัวทำละลายอีกประเภทหนึ่งที่น่าสนใจสำหรับไคติน คือ ประเภทเกลือในตัวทำละลายอินทรีย์ เช่น สารละลายลิเทียมคลอไรด์อิมิตัวใน N,N-dimethylformamide หรือสารละลายแคลเซียมคลอไรด์อิมิตัวในเมทานอล การที่ไคตินละลายได้เนื่องมาจากเกลือในตัวทำละลายนี้สร้างพันธะไอออนิกแทนที่พันธะไฮโดรเจน

2.1.6.2 สมบัติทางความร้อน

สมบัติทางความร้อนเป็นสมบัติที่บ่งชี้ถึงความเสถียรของไคตินและไคโตซาน เมื่อพิจารณาไคตินและไคโตซานเป็นสายโซ่พอลิเมอร์ประเภทหนึ่ง เนื่องด้วยไคตินและไคโตซานเป็นพอลิเมอร์ที่มีโครงสร้างเป็นเส้นตรงจึงควรแสดงสมบัติเป็น Thermoplastics ซึ่งจะให้อุณหภูมิสถานะคล้ายแก้ว (Tg) เมื่อให้ความร้อนแก่ไคตินและไคโตซานจนถึงระดับหนึ่ง แต่ในความเป็นจริงเมื่อทำการให้ความร้อนแก่ไคตินและไคโตซานจะพบว่าไคตินและไคโตซานจะไม่แปรสภาพเป็นสารหนืด แต่จะไหม้และสลายสภาพไปในที่สุด

ในการศึกษาในห้องปฏิบัติการ เครื่องมือวิเคราะห์ทางความร้อน (Thermal analysis) จำพวก Thermal gravimeter และ Differential Scanning Calorimeter (DSC) สามารถตรวจสอบความเปลี่ยนแปลงที่เกิดขึ้นในระบบของพอลิเมอร์หรือปรากฏการณ์ของสมบัติทางความร้อนได้อย่างดี เนื่องจากการศึกษาด้วย DSC นี้ เป็นการศึกษาในระบบปิด ป้องกันการเกิดสันดาปกับออกซิเจนในอากาศ และแสดงถึงปริมาณความร้อนและกระบวนการที่เกิดขึ้น เช่น กระบวนการดูดความร้อนหรือคายความร้อน ณ อุณหภูมิหนึ่ง

2.1.7 สมบัติทางเคมี

ไคตินและไคโตซานเป็นสายโซ่ของโมเลกุลน้ำตาลแบบเส้นตรงที่มีโครงสร้างทางเคมีซึ่งคล้ายเซลลูโลส โครงสร้างของไคตินและไคโตซานจะพบว่ามีอะตอมของไนโตรเจนเข้าไปเพิ่ม ในรูปของหมู่อะเซตาไมด์ และหมู่เอมิโน ดังแสดงในรูปที่ 2.1 ดังนั้นจะเห็นได้ว่าหมู่ฟังก์ชันที่สำคัญของไคตินและไคโตซานมีหมู่ 3 หมู่ คือ หมู่เอมิโนและหมู่อะเซตาไมด์ที่ตำแหน่ง C-2 และหมู่ไฮดรอกซิลที่ตำแหน่ง C-3 (Secondary alcohol) และ C-6 (Primary alcohol)

2.1.8 มาตรฐานของไคตินและไคโตซาน

การพัฒนาไคตินและไคโตซานเพื่อให้สินค้ามีมูลค่าเพิ่มขึ้น จำเป็นต้องมีการคำนึงถึงสารไคตินและไคโตซานตั้งต้น เนื่องจากไคตินและไคโตซานเป็นสารธรรมชาติที่อยู่ในรูปของสารประสม (Composite material) กับสารอนินทรีย์ กระบวนการเตรียมวัตถุดิบที่ดีจำเป็นจะต้องมีการควบคุมคุณภาพและมีการรายงานได้ด้วยว่าคุณภาพของสารไคโตซานที่สกัดได้นั้นอยู่ในระดับไหนทั้งนี้เพื่อให้ผู้ใช้สารไคตินและไคโตซานเลือกใช้สารได้ถูกต้องตามวัตถุประสงค์และกระบวนการผลิตที่เกี่ยวข้องกับการปรับแต่งโครงสร้างของไคตินและไคโตซานได้ พร้อมระบบควบคุมคุณภาพ

วิธีการประเมินหรือการตรวจสอบคุณภาพสารไคตินและไคโตซานทั้งในระดับพื้นฐาน เช่น การดูสี ดมกลิ่น การละลายเพื่อตรวจสอบความชุ่มชื้น การวัดความหนืด จนถึงระดับที่ต้องการอุปกรณ์พิเศษ เช่น การตรวจดูปริมาณ ความชื้นที่มีอยู่การดูระดับเถ้าหรือสารอนินทรีย์เหล่านี้เป็นปัจจัยสำคัญที่สามารถศึกษาหรืออ้างอิงได้จากกระบวนการผลิตและควบคุมคุณภาพที่ดำเนินอยู่ในประเทศอื่นโดยเฉพาะญี่ปุ่น ดังแสดงในตารางที่ 2.2 และตารางที่ 2.3

ตารางที่ 2.2 ตัวอย่างรายการแสดงมาตรฐานของผลิตภัณฑ์ไคติน ชื่อตัวอย่าง Chitosan 1000

Wako จากบริษัท Wako Chemicals เลขที่ WTH 1028 ปริมาณ 25 กรัม

คุณสมบัติ	ข้อมูลของสาร	ข้อกำหนดในมาตรฐาน
ลักษณะทางกายภาพ	สีครีมอ่อน , เป็นเกล็ด	สีขาว-ครีมอมชมพู,เป็นเกล็ด
ความหนืด	991 เซ็นติพอยส์	800-1500 เซ็นติพอยส์
สารละลายกรดอะซิติก	เกือบใส	ขุ่นเล็กน้อย
น้ำหนักที่สูญเสียหลังจากอบแห้งที่ 105 ⁰ C	0.6 เปอร์เซ็นต์	<10 เปอร์เซ็นต์
Degree of Deacetylation	85.9 โมล/โมลเปอร์เซ็นต์	75.0-90.0 โมล/โมลเปอร์เซ็นต์

เอกสารนี้เป็นเอกสารที่สงวนไว้สำหรับการใช้งานเพื่อการศึกษาเท่านั้น ไม่อนุญาตให้นำไปใช้ประโยชน์ด้านการค้าไม่ว่ากรณีใดๆทั้งสิ้น อีกทั้งห้ามมิให้คัดลอกเนื้อหา และต้องอ้างอิงถึงเจ้าของเอกสารทุกครั้งที่มีการนำไปใช้

ตารางที่ 2.3 แสดงถึงสมบัติพื้นฐานของวัตถุดิบไคตินและไคโตซาน

คุณสมบัติ	ไคติน	ไคโตซาน
มวลโมเลกุล, ดาลตัน	$>10^{6b}(1-5) \times 10^{5c}$	$(1-5) \times 10^{5c}$
ความชื้น, เปอร์เซ็นต์	2-10	2-10
ไนโตรเจน, เปอร์เซ็นต์	6-7	7-8, 4
Deacetylation, เปอร์เซ็นต์	< 10	> 60
เถ้าที่ 900 องศาเซลเซียส, เปอร์เซ็นต์	< 1.0	< 1.0
ความหนืดของสารละลาย 1 เปอร์เซ็นต์/ 1 เปอร์เซ็นต์ กรดอะซิติก, Cp		200-300
Dissociation constant, K α	6.0-7.0	6.0-7.0
X-ray diffraction peaks	$8^{\circ} 58' - 10^{\circ} 26'$ $19^{\circ} 58' - 20^{\circ} 00'$	$8^{\circ} 58' - 10^{\circ} 26'$ $19^{\circ} 58' - 20^{\circ} 00'$
Transition metals, $\mu\text{g/g}$	< 5.0	< 5.0

(a) R.A.A.Muzzarelli, in G.O. Aspinall, ed., The Polysaccharides, Vol.3, Academic Press, New York, 1985.

(b) ไคตินจากธรรมชาติ (Native chitin)

(c) ไคโตซานทางการค้า (Commercial products)

2.1.9 การทดสอบไคตินและไคโตซานในอุตสาหกรรม

วิธีการทดสอบเพื่อให้ได้มาซึ่งมาตรฐานในระดับอุตสาหกรรมนั้น มีความแตกต่างจากระดับห้องปฏิบัติการ ทั้งนี้การทดสอบจะต้องง่ายและให้ผลการทดสอบที่มีนัยสำคัญ แม้ว่าในปัจจุบันประเทศไทยการกำหนดมาตรฐาน และวิธีการของไคตินและไคโตซานยังไม่ได้ดำเนินการแต่ผู้ประกอบการอาจคำนึงถึงบางรายการที่สามารถดำเนินการได้เพื่อเป็นการตรวจสอบเบื้องต้นถึงคุณภาพของวัตถุดิบไคตินและไคโตซานที่ผลิตได้ ดังแสดงในตารางที่ 2.4 [3]

เอกสารนี้เป็นเอกสารที่สงวนไว้สำหรับการใช้งานเพื่อการศึกษาเท่านั้น ไม่อนุญาตให้นำไปใช้ประโยชน์ด้านการค้าไม่ว่ากรณีใดๆทั้งสิ้น อีกทั้งห้ามมิให้คัดลอกเนื้อหา และต้องอ้างอิงถึงเจ้าของเอกสารทุกครั้งที่มีการนำไปใช้

ตารางที่ 2.4 วิธีการตรวจสอบคุณภาพเบื้องต้นของไคตินและไคโตซาน

คุณสมบัติ	วิธีการตรวจสอบคุณภาพ
ความชื้น	น้ำหนักของตัวอย่างก่อนและหลังอบที่ 105 ± 2 °C เป็นเวลา 3 ชั่วโมง
ขนาด	1000 ไมโครเมตร
พีเอช	ละลายในน้ำกลั่นแล้วทิ้งไว้ 1 ชั่วโมงก่อนวัดพีเอช
ปริมาณเถ้า	หาน้ำหนักของตัวอย่างก่อนและหลังเผาที่ 105 °C เป็นเวลา 3 ชั่วโมง
ความสามารถในการละลายในสารละลายต่าง	หาน้ำหนักที่หายไปหลังแช่ในสารละลายโซเดียมไฮดรอกไซด์ 5 เปอร์เซ็นต์ที่ 95 ± 2 °C เป็นเวลา 2.5 ชั่วโมงแล้ว อบที่ 105 ± 2 °C เป็นเวลา 3 ชั่วโมง
ความหนืดของไคติน	แช่สารละลายตัวอย่าง 3 กรัมในสารละลายโซเดียมไฮดรอกไซด์ 50 เปอร์เซ็นต์ 100 มิลลิลิตร ที่ 95 ± 2 °C เป็นเวลา 2.5 ชั่วโมงเพื่อให้เป็น Deacetylation chitin หลังจากนั้นทำให้แห้งแล้ววัดเหมือนไคโตซาน
ความหนืดของไคโตซาน	-ให้ความร้อนสารละลายตัวอย่าง 1.5 กรัม ในสารละลายกรดอะซิติก 1.5 กรัม และน้ำ 297 กรัม ที่ 105 ± 2 °C เป็นเวลา 2 ชั่วโมง -วัดความหนืดด้วยเครื่อง Brookfield Viscometer ที่ 20 องศาเซลเซียส

2.1.10 การกำหนดสมบัติพื้นฐานด้านกายภาพและเคมีสำหรับประเทศไทย

เนื่องจากประเทศไทยมีศักยภาพการผลิตวัตถุดิบไคตินและไคโตซานที่สูงที่สุดในโลกแห่งหนึ่ง ดังนั้นการส่งเสริมการประยุกต์ใช้การสนับสนุนด้านการศึกษาและวิจัย ตลอดจนการวางแผนทางการให้ข้อมูลที่ถูกต้องสำหรับผู้บริโภคต่างๆ เป็นสิ่งสำคัญในการที่จะให้ไคตินและไคโตซานเป็นวัสดุธรรมชาติที่มีมูลค่าเพิ่มในทิศทางที่ถูกต้อง

ดังนั้นขั้นพื้นฐานที่สำคัญอย่างหนึ่งคือการกำหนดรูปแบบการวิเคราะห์ ผลการวิเคราะห์ ที่เป็นเกณฑ์ในการอ้างอิงหรือตรวจสอบได้ เพื่อให้ผู้ประกอบการ นักวิจัย และผู้บริโภคได้สามารถเลือกใช้ไคโตซานได้อย่างถูกต้องตามความต้องการ

สมบัติพื้นฐานที่ควรทดสอบได้แก่ ปริมาณเถ้า ความหนืด (หรือทดสอบด้วย Brookfield Viscometer ก็ได้) ปริมาณ %DD (Degree of Deacetylation)

2.1.11 สมบัติที่สำคัญของสารไคตินและไคโตซาน

นอกจากลักษณะทางเคมีของสารไคตินและไคโตซานแล้วสิ่งที่ควรพิจารณาอีกปัจจัยหนึ่งก็คือ สมบัติที่สำคัญของสารพอลิเมอร์ เช่น ไคตินโดยธรรมชาติไม่ละลายในน้ำและในสารอินทรีย์ทั่วไป ส่วนไคโตซานสามารถละลายได้ในกรดอินทรีย์หลายชนิด แล้วสามารถเปลี่ยนกลับคืนสภาพเดิมได้ ไคโตซานเป็นพอลิเมอร์ที่มีประจุบวก สารละลาย มีลักษณะขุ่นหนืด และมีความใสสามารถขึ้นรูปได้หลายแบบ เช่น เป็นเส้นใย เป็นเม็ด เป็นแผ่นบาง เป็นสารเคลือบผิว เป็นต้น ทั้งสารไคตินและไคโตซานสามารถดัดแปลงทางเคมีให้เป็นอนุพันธ์อื่นได้อีกมากมาย

จากการที่สารไคตินและไคโตซานเป็นพอลิเมอร์สายยาว ฉะนั้นขนาดของโมเลกุลจึงมีส่วนในการแสดงสมบัติต่างๆ ที่ปรากฏออกมาและสามารถปรับเปลี่ยนในการนำไปประยุกต์ใช้ได้ เช่น พวกที่มีโมเลกุลขนาดใหญ่ยาว ซึ่งเกิดขึ้นในธรรมชาติอยู่แล้วเมื่อนำมาละลายแล้วจะมีประจุบวกสูงสามารถใช้ในการตกตะกอนดึงเอาสารอื่นลงมารวมเป็น กลุ่มตะกอนได้ดี ซึ่งปัจจุบันหลายประเทศที่มีกฎเกณฑ์เข้มงวดด้านสิ่งแวดล้อม ได้พัฒนาเทคโนโลยีการใช้ไคตินและไคโตซาน ในการตกตะกอนและรวมตะกอนที่ได้แยกออกมาแล้วนำกลับไปสู่สิ่งแวดล้อมใหม่ โดยเกิดการหมุนเวียนเข้าสู่ระบบนิเวศได้ พวกไคตินและไคโตซานที่มีขนาดโมเลกุลที่สั้นและน้ำหนักโมเลกุลต่ำ เรียกว่าพวกโอโกลิโกเมอร์ มีความสำคัญและมีประสิทธิภาพมากในเซลล์ของสิ่งมีชีวิต โดยมีผลงานวิจัยในหลายประเทศพบว่า พวกโอโกลิโกเมอร์ที่กล่าวนี้มีสมบัติในการกระตุ้นการทำงานของยีนส์ในพืชสามารถช่วยให้พืชเพิ่มประสิทธิภาพในการผลิตโปรตีนที่เสริมสร้างภูมิคุ้มกันตนเองได้ซึ่งถือว่าเป็นพวก Elicitor นอกจากนี้ยังมีประสิทธิภาพในการกระตุ้นและเกี่ยวกับการแสดงออกของยีนในสิ่งมีชีวิตอื่นๆ อีกมากมาย นอกจากนี้หน่วยย่อยที่เป็นองค์ประกอบของสารไคตินและไคโตซานหรือโมโนเมอร์ ยังพบว่ามีความสำคัญต่อสิ่งมีชีวิตโดยเป็นองค์ประกอบในอวัยวะบางอย่าง เช่น กระดูกอ่อน ฉะนั้นจึงมีผลการวิจัยสนับสนุน การนำไคตินและไคโตซานไปใช้ในการเสริมสร้างและรักษาโรคเกี่ยวกับไขข้อและกระดูกเสื่อม ปัจจุบันได้มีผลิตภัณฑ์ทางการแพทย์ออกสู่ตลาดมากมาย

จากผลการศึกษาวิจัยมากมายแสดงให้เห็นว่าตัวสารไคตินและไคโตซานมีประสิทธิภาพในตัวเองอยู่แล้ว หากมีความรู้เพียงพอที่จะนำมาปรับปรุงการใช้ให้เหมาะสมก็จะสามารถนำมาใช้ได้ อย่างมีประโยชน์สูงสุด ฉะนั้นผลการวิจัยทดลองเป็นสิ่งจำเป็นและสำคัญอย่างยิ่งในการที่จะเลือกเทคโนโลยีในการผลิตให้เหมาะสมกับการใช้งานจึงจะก่อให้เกิดความถูกต้องและเกิดประโยชน์อย่างแท้จริง

การนำไคตินและไคโตซานไปปรับประยุกต์ใช้นั้นต้องอาศัยความรู้พื้นฐานเป็นสำคัญ ประสิทธิภาพที่เกิดจากการใช้ต้องมีคำอธิบายและหลักฐานทางวิทยาศาสตร์มาสนับสนุน จึงจะก่อให้เกิดความถูกต้องและความมั่นใจต่อการใช้สมบัติเด่นประการหนึ่งของไคตินและไคโตซาน คือ การต่อต้านจุลินทรีย์โดยไม่ก่อให้เกิดผลข้างเคียง พบว่าปัจจุบันมีความต้องการสารต่อต้านด้านจุลินทรีย์ที่มาจากธรรมชาติเพิ่มขึ้น จึงมีการศึกษาด้านประสิทธิภาพของสารไคตินไคโตซานและอนุพันธ์ต่างๆ เพื่อการนำมาใช้ในการต่อต้านเชื้อจุลินทรีย์ โดยมีกลไกที่มีนักวิทยาศาสตร์อธิบายไว้ดังนี้

1) โดยการเกิดปฏิกิริยาระหว่างประจุบวกบนโมเลกุลของไคโตซานกับประจุลบบนผนังเซลล์ของจุลินทรีย์ซึ่งทำให้เกิดการแตกและการรื้อออกมาของสารโปรตีนและสารอื่นๆ จากภายในเซลล์ของจุลินทรีย์

2) เป็นสารคีเลต (Chelating agent) ที่จำเพาะกับพวกจุลธาตุ (Trace element) บางชนิดและทำให้เกิดการยับยั้งการผลิตสารพิษจากจุลินทรีย์ และขัดขวางการเจริญเติบโตของมันเอง

3) กระตุ้นกระบวนการป้องกันตัวเองของเซลล์เจ้าบ้าน (Host cell) ของพืชโดยไปกระตุ้นยีนของพืชให้เพิ่มการสร้างเอ็นไซม์ เช่น Glucanase, Chitinase และ Phytoalexins ทำให้พืชมีความต้านทานต่อโรคที่มาจากเชื้อราบางชนิดได้ ซึ่งถือได้ว่าเป็น Elicitor ชนิดหนึ่ง

4) เป็นสารจับตัวกับโมเลกุลของน้ำได้ดีซึ่งอาจทำให้เกิดกระบวนการขัดขวางการทำงานของเอ็นไซม์หลายชนิดในจุลินทรีย์ได้

5) เมื่อมีการซึมเข้าไปของพวกโคโตซานโมเลกุลเล็กเข้าสู่ในนิวเคลียสของเซลล์จุลินทรีย์และราบางชนิดพบว่า มีการจับตัวกันของโคโตซานกับ DNA ทำให้เกิดกระบวนการยับยั้งการสังเคราะห์ Mrna ซึ่งขัดขวางการสังเคราะห์โปรตีนในเซลล์ของจุลินทรีย์นั่นเอง

2.1.12 การใช้ประโยชน์จากโคตินและโคโตซาน

โคตินสามารถนำมาใช้ประโยชน์ในวงการอุตสาหกรรมเกษตร และการแพทย์ ได้ดังนี้

2.1.12.1 ด้านการเกษตร

- ใช้เป็นปุ๋ย
- เป็นผสมในอาหารสัตว์
- เป็นส่วนผสมในอาหารเม็ดสำหรับเลี้ยงปลาและกุ้ง
- ปรับปรุงคุณภาพดินและผสมในดินเพื่อปรับสภาพของดินเหนียว
- ใช้ในด้านการเก็บรักษาพันธุ์พืช
- ใช้เป็นยาฆ่าแมลง
- ใช้เป็นยาฆ่าหนอนตัวกลม
- เป็นพาหะของจุลินทรีย์ในดินเพื่อป้องกันการเกิดโรคในพืช

2.1.12.2 ด้านเครื่องสำอาง

- โคตินโคโตซานและอนุพันธ์มีศักยภาพในการเป็นเครื่องสำอางใช้ดูแลรักษาผิว หนอมผิว และรักษากลิ่นปาก

2.1.12.3 ด้านอาหาร

- ใช้ในรูปของวัตถุเจือปน เพื่อช่วยจับไขมันและคลอเลสเตอรอลให้ร่างกายรับไขมันน้อยลง
- ช่วยควบคุมความชื้นเหน็ด ทำให้อาหารมีเนื้อสัมผัสที่ต้องการ
- ใช้ผลิตสารให้ความหวาน
- การผลิตโปรตีนเซลล์เดียว

โคโตซานมี 2 ลักษณะ ซึ่งเป็นที่ต้องการของอุตสาหกรรมสามารถย่อยสลายทางชีวภาพได้ และสามารถซึมผ่านออกซิเจนได้ดี ในทางพันธุวิศวกรรมการผลิตโคโตซานจากราสามารถนำมารับประทานได้เมื่อปรับน้ำหนักโมเลกุลตามต้องการแล้ว อาจถูกนำมาใช้เป็นวัสดุห่อหุ้มอาหาร ซึ่งไม่เป็นพิษและมีความแข็งแรงสูง เช่น พวกเปลือกไส้กรอก วัสดุห่ออาหารเข้าเตาอบ และการบรรจุหีบห่อสำหรับอาหารต่างๆ

- การผลิตเครื่องดื่ม องค์การคุ้มครองสิ่งแวดล้อมของสหรัฐอเมริกาได้แสดงผลการทดลองระดับนำร่องโดยนำโคโตซานไปผลิตเป็นเครื่องดื่มโดยใช้โคโตซาน ปริมาณ 10 มิลลิกรัมต่อลิตร โคโตซานจะซึมซับโลหะ ยาฆ่าแมลง และมวลสารอื่นๆ ที่ปะปนมากับน้ำและสามารถลดความขมและทำเป็นน้ำผลไม้ได้อีกด้วย กลุ่มฟองที่ประกอบด้วยโคโตซานสามารถเพิ่มประสิทธิภาพกระบวนการทำให้ใสในเครื่องดื่มได้อีกด้วย

เอกสารนี้เป็นเอกสารที่สงวนลิขสิทธิ์ไว้สำหรับงานเพื่อการศึกษาเท่านั้น ไม่อนุญาตให้นำไปใช้ประโยชน์ด้านการค้า
ไม่ว่ากรณีใดๆทั้งสิ้น อีกทั้งห้ามมิให้ตัดแปลงเนื้อหา และต้องอ้างอิงถึงเจ้าของเอกสารทุกครั้งที่มีการนำไปใช้

ชื่อเรียกอื่นๆ : Lanthanum (III) acetate; Lanthanum Acetate Hydrate; Lanthanum Acetate N-Hydrate; Lanthanum Acetate, Hydrated; Lanthanum Acetate Hydrate; Lanthanum triacetate hydrate; Lanthanum (III) Acetate Hydrate; Lanthanum Acetaten-Hydrate; Lanthanum Acetate, Sesquihydrate; Lanthanum (+3) Acetate Sesquihydrate
 ชื่อทางการค้า : Lanthanum acetate hydrate

2.2.1 ลักษณะทางกายภาพและเคมี

เป็นผงแป้งละเอียดสีขาว

2.2.2 ประโยชน์และการประยุกต์ใช้แลนทานัมแอซิเตด

ใช้สังเคราะห์สารประกอบเชิงซ้อนของไตรแลนทานัม (III) เป็นเมทัลโลโปรตีนที่สามารถนำมาประยุกต์ใช้ในทางเคมี

2.2.3 ความปลอดภัย

ทำให้สมองขาดเลือดถ้าได้รับในปริมาณ 160-180 กรัมโดยจะไปบล็อกการขนส่งของเลือดจากเส้นเลือดแดงหลักที่คอ [5]

2.3 เฟอริกคลอไรด์ (Ferric Chloride) [6]

เอกลักษณ์

สูตรเคมี : FeCl_3

น้ำหนักโมเลกุล : 162.2 g/mol (anhydrous)

270.3 g/mol (hexahydrate)

จุดเดือด : 306 °C (anhydrous)

จุดหลอมเหลว : 315 °C (anhydrous, decomp)

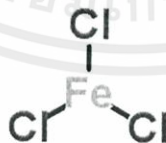
37 °C (hexahydrate)

280 °C (hexahydrate, decomp)

ความหนาแน่น : 2.898 g/cm³ (anhydrous)

1082 g/cm³ (hexahydrate)

โครงสร้างทางเคมี :



รูปที่ 2.6 โครงสร้างทางเคมีของเฟอริกคลอไรด์

ชื่อเรียกอื่นๆ : Ferric Chloride, Molysite, Flores Martis

ชื่อทางการค้า : Iron (III) Chloride

เอกสารนี้เป็นเอกสารที่สงวนลิขสิทธิ์ของมหาวิทยาลัยเทคโนโลยีพระจอมเกล้าเจ้าคุณทหารลาดกระบัง ไม่อนุญาตให้นำไปใช้ประโยชน์ด้านการค้า ไม่ว่ากรณีใดๆทั้งสิ้น อีกทั้งห้ามเผยแพร่เปลี่ยนแปลงเนื้อหา และต้องอ้างอิงถึงเจ้าของเอกสารทุกครั้งที่มีการนำไปใช้

2.3.1 ลักษณะทางกายภาพและเคมี

เป็นผลึกสีขาวบริสุทธิ์/สีขาว/เหลือง ถ้ามีแสงส่องผ่านจะพบว่าเป็นสีม่วงแดง

2.3.2 ประโยชน์และการประยุกต์ใช้เพอร์ริกคลอไรด์

ใช้เป็นตัวเร่งในการสังเคราะห์สารอินทรีย์ และเป็นสารต้านอนุมูลอิสระมีความแข็งแรงในการออกซิไดซ์คลอไรด์ ใช้เร่งปฏิกิริยาการสลายตัวของไฮโดรเจนเปอร์ออกไซด์เป็นออกซิเจน และน้ำ

2.3.4 ความปลอดภัย

เกิดการระคายเคืองต่อ ระบบการมองเห็น ทางเดินหายใจและผิวหนังสามารถดูดความชื้น โดยดูดซับจากอากาศได้

2.4 พอลิไวนิลแอลกอฮอล์ Poly (Vinyl Alcohol) [7]

เอกลักษณ์

สูตรเคมี : $[CH_2CH(OH)]_n$

จุดเดือด : 228 °C

ความหนาแน่น : 1.19-1.31 g/cm³

โครงสร้างทางเคมี :

น้ำหนักโมเลกุล : 44 g/mol

จุดหลอมเหลว : 200 °C



รูปที่ 2.7 โครงสร้างทางเคมีของพอลิไวนิลแอลกอฮอล์

ชื่อเรียกอื่นๆ : PVOH; Poly(Ethenol), Homopolymer; PVA; Polyviol; Vinyl; Alvyll; Alkotex; Covol; Gelvatol; Mowiol; Kuraray Poval, Mowiflex, Alcotex, Elvatol, Gohsenol, Lemol, Mowiol, Nelfilcon A, Polyviol und

ชื่อทางการค้า : PVOH, PVA, PVAL

2.4.1 ลักษณะทางกายภาพและเคมี

เป็นพอลิเมอร์สังเคราะห์ที่ไม่มีสารพิษ ไม่มีกลิ่น และละลายน้ำได้ โดยพอลิไวนิลแอลกอฮอล์ มีคุณสมบัติการก่อกอฟิล์ม การละลายของเหลว และการยึดติด (เป็นกาว) ที่ยอดเยี่ยม อีกทั้งยังทนทานต่อการกัดกร่อนของน้ำมัน, น้ำมันหล่อลื่นชนิดหนา และตัวทำละลาย (โซลเว้นท์) ได้ดี พอลิไวนิลแอลกอฮอล์มีความเค้นแรงดึงและความยืดหยุ่นสูง รวมถึงมีปริมาณออกซิเจนที่สูงและมีคุณสมบัติป้องกันการระเหยของกลิ่นและน้ำมัน ทั้งนี้คุณสมบัติดังกล่าวขึ้นอยู่กับปริมาณความชื้นด้วย หากความชื้นสูงขึ้น น้ำก็จะถูกดูดซับได้มากขึ้น โดยน้ำซึ่งทำหน้าที่เป็นสารที่ทำให้พลาสติกนิ่ม (พลาสติกไฮเซออร์) นั้นก็จะลดความเค้นแรงดึงลง แต่จะเพิ่มแรงยึดและแรงเฉือนให้มากขึ้น พอลิไวนิลแอลกอฮอล์ สามารถย่อยสลายได้หมดอย่างรวดเร็ว และสามารถย่อยสลายได้โดยวิธีชีวภาพ โดยมีจุดหลอมละลายที่ 230°C และที่ 180-190°C สำหรับพอลิไวนิลแอลกอฮอล์ที่ได้จากการไฮโดรไลซิส

อย่างสมบูรณ์และได้จากการไฮโดรไลซิสเป็นบางส่วน พอลิไวนิลแอลกอฮอล์สามารถย่อยสลายได้อย่างรวดเร็วที่อุณหภูมิสูงกว่า 200°C เนื่องจากมันย่อยสลายได้ด้วยความร้อนอุณหภูมิสูงเท่านั้น

2.4.2 การสังเคราะห์พอลิไวนิลแอลกอฮอล์

PVA JP-24E เป็นพอลิไวนิลแอลกอฮอล์ชนิดที่ได้จากการไฮโดรไลซิสเป็นบางส่วน ซึ่งใช้สำหรับไวนิลอะซีเตตโดยอาศัยวิธีการแบบอิมัลชันพอลิเมอไรเซชัน

2.4.3 ประโยชน์และการประยุกต์ใช้พอลิไวนิลแอลกอฮอล์

ใช้สำหรับงานพอลิยูรีเทน งานขึ้นรูป ยาง ฟองน้ำ และอื่น ๆ มีความสามารถในการละลายของเหลวที่ดีมาก

2.4.4 ความปลอดภัย

ทำให้เกิดอาการเวียนศีรษะ เกิดการระคายเคืองต่อระบบการมองเห็นเช่น ทำให้ตาแดง คันที่ตาไม่สามารถมองเห็นได้ชั่วขณะน้ำตาไหลออกมามากผิดปกติและอาจทำให้จอประสาทตามีสีซีดลง

2.5 กระบวนการดูดซับ (Adsorption)

การดูดซับเป็นปรากฏการณ์ที่สำคัญของกระบวนการทางกายภาพชีวภาพและเคมี การดูดซับได้ถูกนำมาใช้อย่างแพร่หลายในการบำบัดทั้งน้ำดื่มและน้ำทิ้ง การดูดซับเป็นความสามารถของสารสี การดึงโมเลกุลหรือคอลลอยด์ที่อยู่ในก๊าซหรือของเหลวให้มาเกาะจับและติดบนผิว ซึ่งเป็นปรากฏการณ์เคลื่อนย้ายจากของเหลวหรือก๊าซมายังผิวของของแข็งที่เป็นส่วนสำคัญของกระบวนการนี้ โดยโมเลกุลหรือคอลลอยด์ที่เคลื่อนย้ายมาเรียกว่า ตัวถูกดูดซับ (Absorbate) ส่วนของแข็งที่มีผิวเป็นที่เกาะจับของตัวถูกดูดซับเรียกว่า ตัวดูดซับ (Absorbent) คุณสมบัติที่สำคัญที่สุดของตัวดูดซับคือ ความพรุน เพื่อเพิ่มพื้นที่สัมผัสภายใน นอกจากนี้คุณสมบัติอื่นๆ ของตัวดูดซับ เช่น โครงสร้าง การจัดเรียงตัว ขนาด และความสม่ำเสมอล้วนมีความสำคัญต่อประสิทธิภาพในการดูดซับการเลือกตัวดูดซับที่เหมาะสม ทำให้สามารถแยกโมเลกุลที่เราต้องการออกมา โดยให้ถูกดูดซับบนตัวดูดซับนั้นเมื่อดูดซับจนอิ่มตัวแล้วสามารถนำมาใส่เอาโมเลกุลที่ถูกดูดซับไว้ ออก โดยการเปลี่ยนสภาพสมดุล เช่น การเปลี่ยนอุณหภูมิ หรือเปลี่ยนความดัน ทำให้ตัวดูดซับกลับสู่สภาพเดิม และสามารถนำกลับมาใช้ใหม่ได้อีก

การดูดซับมีความสามารถในการกำจัดสิ่งปนเปื้อนในน้ำทิ้ง ที่เป็นทั้งสารอินทรีย์และสารอนินทรีย์โดยอาศัยกลไกทางกายภาพเคมี สารที่สามารถใช้กระบวนการดูดซับในการกำจัดได้มีหลายชนิด เช่น สี กลิ่น บีโอดี ซีโอดี ยาฆ่าแมลง เป็นต้น การดูดซับเป็นกระบวนการที่ง่ายต่อการควบคุมมีประสิทธิภาพดี และระบบมีความทนทานต่อสารพิษ ซึ่งมีผลกระทบต่อระบบชีวภาพ นอกจากนี้ยังมีข้อดีเมื่อเปรียบเทียบกับระบบชีวภาพคือ ต้องการพื้นที่น้อย [8]

เอกสารนี้เป็นเอกสารที่สงวนไว้สำหรับการใช้งานเพื่อการศึกษาเท่านั้น ไม่อนุญาตให้นำไปใช้ประโยชน์ด้านการค้าไม่ว่ากรณีใดๆทั้งสิ้น อีกทั้งห้ามมิให้ตัดแปลงเนื้อหา และต้องอ้างอิงถึงเจ้าของเอกสารทุกครั้งที่มีการนำไปใช้

2.5.1 ลักษณะการดูดซับ

การดูดซับแบ่งออกได้เป็น 2 ลักษณะ คือ

- 1) การดูดซับทางกายภาพ (Physisorption)
- 2) การดูดซับทางเคมี (Chemisorption)

การดูดซับทั้ง 2 แบบนี้เกิดขึ้นเมื่อโมเลกุลในชั้นของเหลวเข้าใกล้และยึดติดกับผิวของของแข็ง ซึ่งเป็นผลมาจากแรงดึงดูดที่ผิวของของแข็งสามารถเอาชนะพลังงานจลน์ของโมเลกุลของสารที่อยู่ในของเหลวได้

การดูดซับทางกายภาพเป็นผลมาจากปฏิกิริยาของแรงแวนเดอร์วาลส์ (Van der Waal's force) ซึ่งเกิดจากการรวมกันของแรง 2 ชนิด คือ แรงกระจาย (London Dispersion force) และ แรงไฟฟ้าสถิตย์ (Electrostatic force) โมเลกุลของสารที่ถูกดูดซับจะถูกยึดติดแบบกายภาพกับโมเลกุลของสารดูดซับ การดูดซับแบบนี้เป็นแบบหลายชั้นซึ่งแต่ละชั้นของโมเลกุลจะติดอยู่บนชั้นโมเลกุล ก่อนหน้านั้นโดยจำนวนชั้นเป็นสัดส่วนกับความเข้มข้นที่สูงขึ้นของตัวถูกละลายซึ่งจำนวนชั้นของโมเลกุลจะมากขึ้นตามความเข้มข้นที่สูงขึ้นของตัวถูกละลายในสารละลาย การดูดซับแบบกายภาพทั่วไปจะเกิดขึ้นที่อุณหภูมิต่ำซึ่งการดูดซับมีพลังงานต่ำ การย้อนกลับของกระบวนการดูดซับทางกายภาพขึ้นอยู่กับความแข็งแรงของแรงดูดซับระหว่างสารดูดซับและสารถูกดูดซับ ถ้าแรงนี้มีค่าน้อยการหลุดออกของสารที่ถูกดูดซับสามารถเกิดขึ้นได้

การดูดซับทางเคมีนั้น จะเกิดปฏิกิริยาระหว่างโมเลกุลของตัวดูดซับกับตัวถูกดูดซับกลายเป็นสารประกอบเคมีใหม่ขึ้น ซึ่งเมื่อเกิดแล้วจะคงอยู่ในรูปนั้นจะแตกต่างจากการดูดซับแบบกายภาพ กระบวนการนี้มีความหนาของโมเลกุลเพียงชั้นเดียว (Monolayer) และไม่สามารถเกิดปฏิกิริยาผันกลับเองได้ (Irreversible) แต่การดูดซับทางกายภาพที่สามารถผันกลับได้ (Reversible) เนื่องจากมีการจับตัวทางเคมีสร้างสารประกอบใหม่ที่ผิวของสารดูดซับ การดูดซับทางเคมีจะเกิดขึ้นที่อุณหภูมิสูงเนื่องจากปฏิกิริยาทางเคมีจะเกิดอย่างรวดเร็วที่อุณหภูมิสูงมากกว่าอุณหภูมิต่ำ ความแข็งแรงของแรงดึงดูดสามารถวัดได้จากผลต่างของความร้อนที่เกิดขึ้นจากการดูดซับทางกายภาพจะให้พลังงานต่ำโดยทั่วไปประมาณ 2-10 กิโลแคลอรีต่อโมล ส่วนการดูดซับทางเคมีจะให้พลังงานสูงโดยจะให้พลังงานประมาณ 15-50 กิโลแคลอรีต่อโมล

สารที่มีความสามารถในการดูดซับมีหลายชนิด อาจแบ่งได้เป็น 3 ประเภท คือ

1) สารอนินทรีย์ เช่น ดินเหนียวชนิดต่างๆ แมกนีเซียมออกไซด์ และแอกติเวตเตดซิลิกา สารธรรมชาติ มักมีพื้นที่ผิวจำเพาะประมาณ 50-200 ตารางเมตรต่อกรัม แต่สารสังเคราะห์อาจมีพื้นที่ผิวจำเพาะสูงมาก อย่างไรก็ตาม ข้อเสียคือจับโมเลกุลหรือคอลลอยด์ได้เพียงไม่กี่ชนิด ทำให้การใช้ประโยชน์จากสารดูดซับประเภทสารอนินทรีย์มีขีดจำกัดมาก

2) ถ่านกัมมันต์เป็นสารดูดซับที่รู้จักกันอย่างแพร่หลายมีพื้นที่ผิวจำเพาะประมาณ 600-1000 ตารางเมตรต่อกรัม

3) สารอินทรีย์สังเคราะห์ ได้แก่ สารแลกเปลี่ยนไอออนชนิดพิเศษที่สังเคราะห์ขึ้นเพื่อจำกัดสารอินทรีย์ต่างๆ สารเรซินเหล่านี้มีพื้นที่ผิวจำเพาะประมาณ 300-500 ตารางเมตรต่อกรัม

เอกสารนี้เป็นเอกสารที่สงวนไว้สำหรับการใช้งานเพื่อการศึกษาเท่านั้น ไม่อนุญาตให้นำไปใช้ประโยชน์ด้านการค้า ไม่ว่าจะกรณีใดๆ ทั้งสิ้น อีกทั้งห้ามมิให้ตัดแปลงเนื้อหา และต้องอ้างอิงถึงเจ้าของเอกสารทุกครั้งที่มีการนำไปใช้

2.5.2 กลไกการดูดซับและอัตราการเคลื่อนย้ายโมเลกุล (Rate of Molecular Transfer)

1) กลไกการดูดซับ

กลไกการดูดซับแบ่งเป็น 3 ขั้นตอน คือ

1. การแพร่ภายนอก (External diffusion) การแพร่ภายนอกเป็นกลไกที่โมเลกุลของตัวถูกละลายเข้าถึงตัวดูดซับซึ่งพื้นผิวของสารดูดซับมีของเหลวห่อหุ้มโดยโมเลกุลแทรกตัวผ่านชั้นของของเหลวเข้าถึงผิวหน้าสารดูดซับ

2. การแพร่ภายใน (Internal diffusion) เป็นกลไกซึ่งโมเลกุลของตัวถูกละลายแทรกตัวเข้าถึงช่องว่างของสารดูดซับเพื่อให้เกิดการดูดซับ

3. ปฏิกิริยาพื้นผิว (Surface reaction) ปฏิกิริยาพื้นผิวเป็นกลไกซึ่งโมเลกุลของตัวถูกละลายดูดติดที่ผิวของสารดูดซับซึ่งเป็นกระบวนการที่รวดเร็วมาก เมื่อเปรียบเทียบกับกระบวนการแพร่ ดังนั้นแรงต้านทานจากปฏิกิริยาพื้นผิวจึงเป็นสิ่งที่ต้องคำนึง

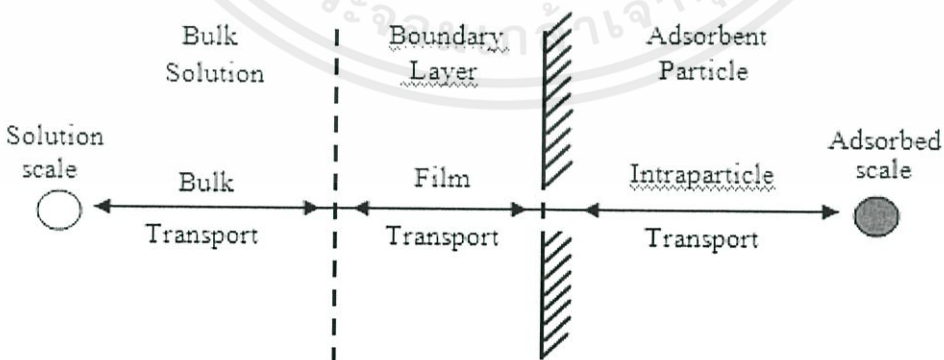
2) อัตราการเคลื่อนย้ายโมเลกุล (Rate of Molecule Transfer)

อัตราการดูดซับมีความสำคัญมาก อัตราการดูดซับที่รวดเร็วจะทำให้ระบบเข้าสู่สภาวะสมดุลได้เร็วขึ้นอัตราการดูดซับจะถูกควบคุม โดยขั้นตอนที่มีความต้านทานมากที่สุดในการเคลื่อนย้ายโมเลกุลซึ่งเป็นขั้นตอนที่จำกัดอัตราการดูดซับขั้นตอนในการดูดซับของสารละลายมี 3 ขั้นตอน คือ

1. การขนส่งอนุภาค (Bulk transport) เป็นขั้นตอนที่เกิดขึ้นเร็วที่สุดโมเลกุลของตัวถูกละลายในของเหลวจะถูกส่งไปที่ผิวหน้าของชั้นของเหลวบางๆ ที่ห่อหุ้มสารดูดซับ

2. การขนส่งชั้นฟิล์ม (Film transport) เป็นขั้นตอนที่โมเลกุลที่ผิวหน้าของชั้นของเหลวบางๆ แทรกตัวเข้าสู่ผิวหน้าของสารดูดซับ การขนส่งชั้นฟิล์มเป็นกระบวนการที่ทำให้เกิดการแพร่ผ่านฟิล์ม จัดเป็นขั้นตอนที่จำกัดอัตราการดูดซับขั้นตอนหนึ่ง

3. การขนส่งภายในอนุภาค (Intraparticle transport) เป็นการแพร่ของโมเลกุลตัวถูกละลายเข้าสู่โพรงหรือรูพรุนของสารดูดซับ (Pore diffusion) และทำให้เกิดการดูดซับขึ้นภายใน ขั้นตอนนี้จัดเป็นขั้นตอนที่จำกัดอัตราการดูดซับเช่นเดียวกัน ขั้นตอนการเคลื่อนย้ายโมเลกุลของสารดูดซับมายังสารดูดซับ แสดงดังรูปที่ 2.5

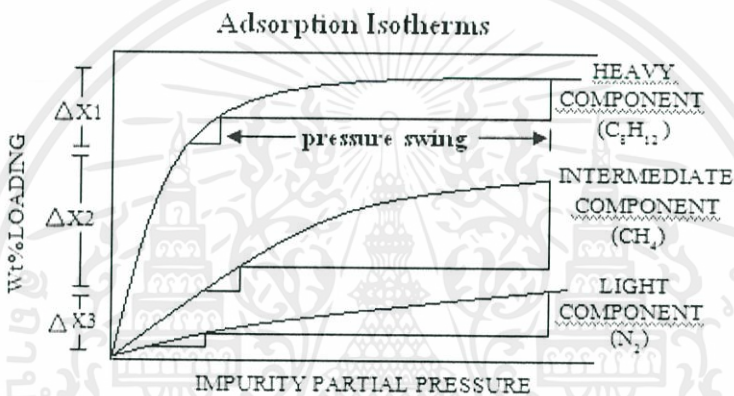


เอกสารนี้เป็นรูปที่ 2.8 ขั้นตอนการเคลื่อนย้ายโมเลกุลของสารดูดซับมายังสารดูดซับด้วยถ่านกัมมันต์ โดยขั้นตอนการคำนวณว่าครีมีใดๆทั้งสิ้น อีกทั้งห้ามมิให้คัดแปลงเนื้อหา และต้องอ้างอิงถึงเจ้าของเอกสารทุกครั้งที่มีการนำไปใช้

ภายใต้สภาวะการทำงานหนึ่งๆ การขนส่งฟิล์มจัดเป็นขั้นตอนที่จำกัดอัตราการดูดซับ แต่ถ้าภายในระบบมีสภาพความปั่นป่วนเพียงพอ ขั้นตอนการขนส่งภายในอนุภาคจะเป็นขั้นตอนที่ควบคุมอัตราการดูดซับ

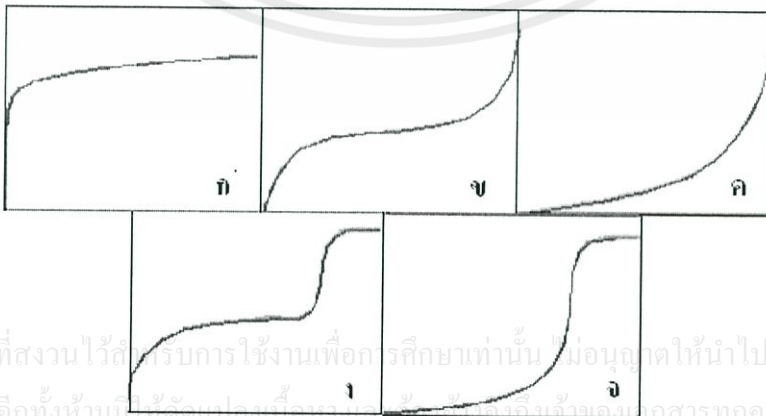
2.5.3 สมดุลการดูดซับ (Adsorption Equilibrium)

ความสามารถในการดูดซับนอกจากจะขึ้นอยู่กับลักษณะของตัวดูดซับเอง เช่น จำนวนช่องว่างหรือพื้นที่ผิวของตัวดูดซับแล้วยังขึ้นอยู่กับอุณหภูมิ และความดันของตัวดูดซับโดยสภาวะการดูดซับนี้มีผลต่อสภาพสมดุลของการดูดซับซึ่งเป็นสภาวะการดูดซับที่จุดอิ่มตัว สภาพสมดุลของการดูดซับหาได้จากการทดลองโดยนิยามจะนำข้อมูลมาแสดงในลักษณะของไอโซเทอม (Isotherm) โดยเป็นเส้นแสดงปริมาณการดูดซับตามการเปลี่ยนแปลงของความดัน ณ อุณหภูมิคงที่ ดังรูปที่ 2.9 จะเห็นได้ว่าการดูดซับจะมากขึ้นเมื่อความดันสูง และจะลดลงเมื่อความดันต่ำลง



รูปที่ 2.9 แสดงกราฟไอโซเทอม (Isotherm)

ไอโซเทอมการดูดซับจะให้ข้อมูลเกี่ยวกับกระบวนการดูดซับและปริมาณของสารถูกดูดซับบนพื้นที่ผิวของสารดูดซับ รูปแบบพื้นฐานของไอโซเทอมการดูดซับมี 5 แบบ ดังรูปที่ 2.10 ซึ่งไอโซเทอมรูป (ก) เป็นระบบที่การดูดซับเกิดขึ้นเพียงชั้นเดียว ส่วนรูป (ข) ถึง (จ) เป็นการดูดซับของโมเลกุลหลายชั้น



รูปที่ 2.10 ไอโซเทอมการดูดซับแบบพื้นฐาน

2.5.4 ไอโซเทอมการดูดซับแบบพื้นฐาน

1) ไอโซเทอมการดูดซับแบบแลงเมียร์ (Langmuir Adsorption Isotherm) มีสมมติฐานพื้นฐานที่เรียกว่า Ideal Localized Monolayer Model ดังนี้

1. เกิดการดูดซับแบบชั้นเดียว (Monolayer) เท่านั้น
2. โมเลกุลที่ถูกดูดซับไม่สามารถเคลื่อนที่อย่างอิสระบนผิวของตัวดูดซับได้
3. เอนทัลปีของการดูดซับมีค่าเดียวสำหรับทุกๆโมเลกุล
4. พลังงานการดูดซับแต่ละบริเวณมีค่าเท่ากัน

สมการไอโซเทอมการดูดซับแบบแลงเมียร์ ดังสมการ (2.1)

$$q = \frac{q_e b C_e}{1 + b C_e} \quad (2.1)$$

เมื่อ q = ปริมาณของตัวถูกดูดซับต่อหน่วยน้ำหนักของตัวดูดซับ มีหน่วยเป็นมิลลิกรัมต่อกรัม

q_e = ปริมาณของตัวถูกดูดซับต่อหน่วยน้ำหนักของตัวดูดซับ เมื่อเกิดการดูดซับแบบชั้นเดียวอย่างสมบูรณ์

C_e = ความเข้มข้นของตัวถูกดูดซับในสารละลายที่จุดสมดุลหน่วยเป็นมิลลิกรัมต่อลิตร

b = ค่าคงที่ของพลังงานในการดูดซับ

จากสมการที่ (2.1) สามารถจัดให้อยู่ในรูปสมการเชิงเส้นได้ดังสมการ (2.2) หรือ (2.3)

$$\frac{C_e}{q} = \frac{1}{b q_e} + \frac{C_e}{q_e} \quad (2.2)$$

หรือ

$$\frac{1}{q} = \frac{1}{q_e} + \frac{1}{b q_e C_e} \quad (2.3)$$

เมื่อเขียนกราฟระหว่าง $1/q$ กับ $1/C_e$ ข้อมูลสมดุลการดูดซับแสดงดังรูปที่ 2.11 (ก) และสามารถหาค่าคงที่ b และ q_e ได้จากความชันและจุดตัดกราฟ

2) สมการไอโซเทอมการดูดซับแบบฟรุนดลิช (Freundlich Adsorption Isotherm) ไอโซเทอมการดูดซับแบบ Freundlich ใช้กันอย่างแพร่หลาย ในกรณีอธิบายการดูดซับในระบบของของเหลว ดังสมการ

$$q_e = K C_e^{1/n} \quad (2.4)$$

เมื่อ q_e = ปริมาณของตัวถูกดูดซับต่อหน่วยน้ำหนักของตัวดูดซับ เมื่อเกิดการดูดซับแบบชั้นเดียวอย่างสมบูรณ์

C_e = ความเข้มข้นของตัวถูกดูดซับในสารละลายที่จุดสมดุลหน่วยเป็นมิลลิกรัมต่อลิตร

$K, 1/n$ = ค่าคงที่ของระบบ

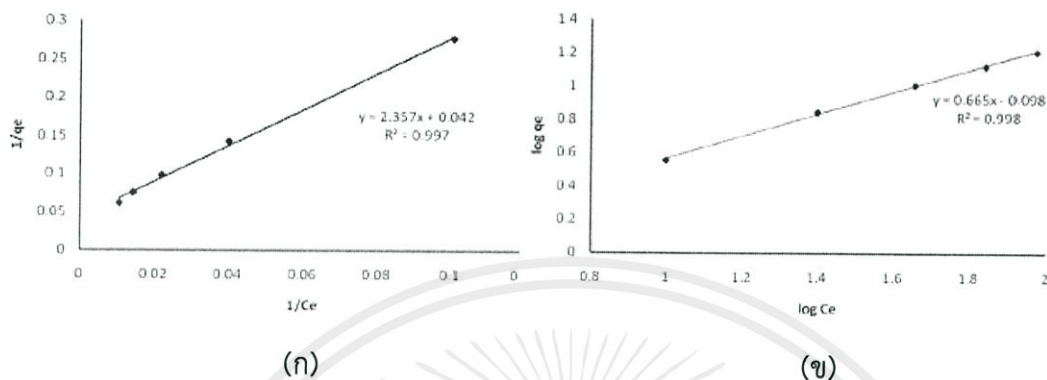
สามารถเขียนให้อยู่ในรูปของสมการเชิงเส้นตรงได้ดังสมการ (2.5)

$$\log q_e = \log K + (1/n) \log C_e \quad (2.5)$$

พลอตกราฟระหว่าง $\log q_e$ กับ $\log C_e$ จะได้เส้นตรงซึ่งมีความชันเท่ากับ $1/n$ และมีจุดตัดแกนเท่ากับ $\log K$ ดังรูปที่ 2.11 (ข) ค่า $1/n$ ที่ได้จากการดูดซับของสารประกอบอินทรีย์ด้วย

ถ่านกัมมันต์ส่วนใหญ่จะมีค่าน้อยกว่า 1 สำหรับค่า $1/n$ ที่เกือบจะเท่ากับ 1 แสดงถึงความจุของการดูดซับที่ดี

สมการ Freundlich มีประโยชน์มากที่สุดสำหรับการละลายที่เจือจาง ปกติจะใช้กับการดูดซับสิ่งเจือปนในสารละลายบนถ่านกัมมันต์



รูปที่ 2.11 กราฟแสดงการหาค่าคงที่ในไอโซเทอมแบบต่างๆ

2.5.5 ปัจจัยที่มีอิทธิพลต่อการดูดซับ

1) ขนาดและพื้นที่ผิวของสารดูดซับ (Size and Surface area)

ความสามารถในการดูดซับของสารดูดซับ มีความสัมพันธ์โดยตรงกับพื้นที่ผิวจำเพาะและอัตราการดูดซับเป็นสัดส่วนผกผันกับขนาดของสารดูดซับและพื้นที่ผิวของสารดูดซับมีความสัมพันธ์โดยตรงกับความสามารถในการดูดซับ อัตราการดูดซับจะเป็นอัตราส่วนผกผันกับเส้นผ่านศูนย์กลางของสารดูดซับ เมื่อสารดูดซับที่มีรูพรุนอัตราการเคลื่อนที่เข้าสู่ผิวภายในรูพรุนถูกควบคุมโดยความต้านทานภายนอกที่เรียกว่า การขนส่งชั้นฟิล์ม ดังนั้นอัตราการดูดซับจะเป็นอัตราส่วนกับเส้นผ่านศูนย์กลางของสารดูดซับ ในทางกลับกันถ้าการเคลื่อนที่ภายในอนุภาคเป็นตัวควบคุมอัตราการดูดซับการดูดซับเป็นอัตราส่วนผกผันกับเส้นผ่านศูนย์กลางของสารดูดซับ

2) ลักษณะของสารถูกดูดซับ (Adsorbate characteristics)

สิ่งสำคัญในการดูดซับตัวถูกละลายจากสารละลายอย่างหนึ่ง คือ ความสามารถในการละลายน้ำของตัวถูกละลาย การดูดซับจะเพิ่มขึ้นเมื่อความสามารถในการละลายน้ำของตัวถูกละลายมีค่าลดลง เนื่องจากในการดูดซับตัวถูกละลายจะต้องถูกแยกออกจากตัวทำละลาย นอกจากนี้ขนาดของโมเลกุลของตัวถูกละลายยังมีผลต่ออัตราการดูดซับอีกด้วย เนื่องจากอัตราการเคลื่อนที่ภายในโพรงเป็นอัตราที่ควบคุมกลไกการดูดซับ ขนาดของโมเลกุลของตัวถูกละลายจะแปรผกผันกับอัตราการดูดซับ

3) อัตราเร็วของการปั่นกววน (Mixing speed)

อัตราเร็วในการดูดซับขึ้นอยู่กับอัตราการขนส่งโมเลกุลของระบบ ซึ่งจัดว่าเป็นขั้นตอนที่จำกัดอัตราเร็วของการดูดซับ ขั้นตอนนี้ประกอบด้วย การแพร่ผ่านฟิล์มและการแพร่เข้าสู่โพรง ซึ่งขึ้นอยู่กับความปั่นป่วนของระบบ ถ้าน้ำมีความปั่นกววนต่ำฟิล์มน้ำซึ่งล้อมรอบสารดูดซับจะมีความหนาและเป็นอุปสรรคต่อการเคลื่อนที่ของโมเลกุลเข้าไปหาสารดูดซับทำให้การแพร่ผ่านฟิล์มเป็นตัวกำหนดอัตราเร็วของการดูดซับ ในทางตรงกันข้ามถ้าน้ำมีความปั่นกววนสูงทำให้ความหนาของชั้นฟิล์มจะ

ลดลงทำให้โมเลกุลเคลื่อนที่เข้าหาสารดูดซับได้เร็ว ดังนั้นการแพร่เข้าสู่โพรง จะเป็นปัจจัยกำหนดอัตราเร็วของการดูดซับ

4) เวลาสัมผัส (Contact time)

เวลาสัมผัสเป็นพารามิเตอร์ที่มีผลต่อประสิทธิภาพของการดูดซับ ในการบำบัดน้ำทิ้ง ระยะเวลาสัมผัสที่ใช้จะต้องเหมาะสมที่ทำให้ประสิทธิภาพในการกำจัดที่ดีที่สุด ทั้งนี้ขึ้นอยู่กับชนิดของสารดูดซับและสารถูกดูดซับซึ่งระยะเวลาที่เหมาะสมต้องทำการศึกษาในระดับปฏิบัติการก่อนที่จะนำไปใช้งานจริง

5) ค่าพีเอช (pH)

ค่าพีเอชของสารละลายเป็นปัจจัยที่สำคัญของการดูดซับ เนื่องจากไฮโดรเจนไอออนและไฮดรอกซิลไอออน สามารถดูดติดผิวได้อย่างแข็งแรง ค่าพีเอชมีอิทธิพลต่อการแตกตัวของไอออนและการละลายน้ำของสารต่างๆ ดังนั้นจึงมีผลกระทบต่อ การดูดซับ

2.6 งานวิจัยที่เกี่ยวข้อง

W.S.Wan Ngah และคณะ [9] ในปี ค.ศ. 2008 ศึกษาการดูดซับกรดฮิวมิกจากสารละลายด้วยเม็ดโคโคซานที่เชื่อมโยงด้วยอีพิกลอร์ไฮดริน (ECH) และศึกษาผลทางจลนศาสตร์และไอโซเทอมการดูดซับจากผลการทดลองที่ได้พบว่า มีการดูดซับกรดฮิวมิกที่ดีที่สุดที่ pH 6.0 และอัตราการกววนของการดูดซับสมดุลที่ 300 รอบต่อนาที (rpm) โดยใช้การวิเคราะห์การดูดซับจากโมเดลของ Langmuir และ Freundlich พบว่า รูปแบบของ Freundlich เหมาะสมที่สุดในการทดลองโดยเทียบกับแบบค่า Langmuir ที่ได้ 44.84 mg/g การดูดซับกรดฮิวมิกบนเม็ดโคโคซาน-ECH ได้รับการอธิบายได้ดีที่สุดกับ pseudo-first order kinetic model

X.Zhang และ R.Bai [10] ในปี ค.ศ. 2003 ได้ศึกษาการนำโคโคซานมาเคลือบบนเม็ด Polyethylene terephthalate หรือ PET แล้วนำมากำจัดกรดฮิวมิกด้วยกระบวนการดูดซับแบบแบตช์ (batch adsorption) จากผลการทดลองพบว่า การดูดซับกรดฮิวมิกบนโคโคซานที่เคลือบบน PET ขึ้นกับ pH ของสารละลาย โดยกรดฮิวมิกถูกดูดซับได้ทั้งในสภาวะที่เป็นกรดและเบส แต่ปริมาณการดูดซับมีแนวโน้มที่ลดลง เมื่อเพิ่ม pH ของสารละลาย จากข้อมูลการดูดซับกรดฮิวมิกที่ความเข้มข้นเริ่มต้นต่างๆ ที่อุณหภูมิและ pH คงที่ พบว่าสอดคล้องกับ model การดูดซับแบบ Langmuir และ Freundlich สำหรับกลไกการดูดซับคาดว่าหมู่อะมิโนของชั้นโคโคซานจะถูกโปรโตเนต (protonate) ทำให้เกิดสารประกอบเชิงซ้อนระหว่างหมู่อะมิโนที่ถูกโปรโตเนตและกรดฮิวมิกขึ้น

นภสร ศิธรอินทร์ และคณะ [11] ในปี ค.ศ. 2010 ศึกษาการดูดซับฟีนอลในน้ำทิ้งสังเคราะห์ ด้วยแผ่นเมมเบรนโคโคซานผสมพอลิไวนิลแอลกอฮอล์เชื่อมโยงด้วยอีพิกลอร์ไฮดริน โดยศึกษาถึงตัวแปรที่มีผลต่อคุณสมบัติของแผ่นเมมเบรนที่ได้ ได้แก่ ปริมาณของพอลิไวนิลแอลกอฮอล์และอีพิกลอร์ไฮดริน แผ่นเมมเบรนที่ได้จะนำไปวัดค่าความแข็งแรงดึง การบวมตัว การตรวจสอบเอกลักษณ์ทางเคมี และการตรวจสอบลักษณะพื้นผิว จากนั้นแผ่นเมมเบรนที่มีค่าความแข็งแรงดึงสูงสุดจะนำไปทำการดูดซับฟีนอลในน้ำทิ้งสังเคราะห์เพื่อทำการหา pH และเวลาในการดูดซับที่เหมาะสม จากผลการทดลองพบว่า แผ่นเมมเบรนที่เตรียมจากพอลิไวนิลแอลกอฮอล์ผสมโคโคซานและอีพิกลอร์ไฮดรินในอัตราส่วน 1:1:1 จะมีค่าความแข็งแรงดึงสูงกว่าแผ่นเมมเบรนโคโคซานที่ไม่เติมพอลิไวนิลแอลกอฮอล์ สำหรับแผ่นเมมเบรนที่เตรียมจากพอลิไวนิลแอลกอฮอล์ผสมโคโคซานและ

อีพิคลอโรไฮดรินในอัตราส่วน 2:1:3 จะมีค่าความแข็งแรงดิ่งต่ำกว่าแผ่นเมมเบรนที่อัตราส่วน 2:1:2 การเพิ่มปริมาณพอลิไวนิลแอลกอฮอล์และอีพิคลอโรไฮดรินในโคโตซานมีผลทำให้ค่าการบวมตัวของแผ่นเมมเบรนลดลง เมื่อนำแผ่นเมมเบรนโคโตซานผสมพอลิไวนิลแอลกอฮอล์เชื่อมโยงอีพิคลอโรไฮดรินไปดูดซับฟีนอล พบว่าฟีนอลถูกดูดซับได้มากที่สุดที่ pH 4 และเวลาในการดูดซับ 150 นาที

R.Laus และคณะ [12] ในปี ค.ศ. 2010 ศึกษาการดูดซับ Cu (II), Cd (II) และ Pb (II) ด้วยโคโตซานที่เชื่อมโยงด้วยอีพิคลอโรไฮดรินและไตรฟอสเฟต (CTS-ECH-TTP) จากผลการทดลองพบว่าค่า pH ที่เหมาะสมสำหรับการดูดซับ Cu (II), Cd (II) และ Pb (II) คือ pH 6.0, 7.0 และ 5.0 ตามลำดับ การศึกษาจลนศาสตร์ของการดูดซับพบว่ากระบวนการดูดซับที่ศึกษานี้สอดคล้องกับ pseudo-second order model และการดูดซับสอดคล้องกับ Langmuir isotherm โดยปริมาณการดูดซับสูงสุดสำหรับ Cu (II), Cd (II) และ Pb (II) คือ 130.72, 83.75 และ 166.94 mg/g ตามลำดับ

เกวลี ชันธชัยภูมิ และคณะ [13] ในปี ค.ศ. 2008 ศึกษาการเปรียบเทียบประสิทธิภาพการบำบัดโครเมียม (III) ในน้ำทิ้งสังเคราะห์โดยใช้โคโตซานและโคโตซานที่ปรับปรุงโครงสร้างด้วยกลูตารัลดีไฮด์เป็นตัวดูดซับ โดยพบว่าที่ pH 6 โคโตซานและโคโตซานที่ปรับปรุงโครงสร้างด้วยกลูตารัลดีไฮด์ สามารถบำบัดโครเมียมได้สูงสุดที่ร้อยละ 88 และ 58 ตามลำดับการเพิ่มระยะเวลาในการดูดซับทำให้สามารถบำบัดโครเมียมได้สูงขึ้นจนถึง 4 ชั่วโมง โดยบำบัดได้ร้อยละ 78 และ 48 สำหรับโคโตซานและโคโตซานที่ปรับปรุงโครงสร้างด้วยกลูตารัลดีไฮด์ตามลำดับ จากนั้นประสิทธิภาพเริ่มคงที่



เอกสารนี้เป็นเอกสารที่สงวนไว้สำหรับการใช้งานเพื่อการศึกษาเท่านั้น ไม่อนุญาตให้นำไปใช้ประโยชน์ด้านการค้าไม่ว่ากรณีใดๆทั้งสิ้น อีกทั้งห้ามมิให้คัดแปลงเนื้อหา และต้องอ้างอิงถึงเจ้าของเอกสารทุกครั้งที่มีการนำไปใช้

บทที่ 3

การดำเนินงานวิจัย

3.1 เครื่องมือและอุปกรณ์

1. ขวดวัดปริมาตร ขนาด 50, 100, 150, 500 และ 1000 มิลลิลิตร
2. บีกเกอร์ ขนาด 50, 100, 250 และ 500 มิลลิลิตร
3. ขวดรูปชมพู่ ขนาด 250 มิลลิลิตร
4. กระจกตวง ขนาด 50 มิลลิลิตร
5. ปิเปต ขนาด 1, 5, 10 และ 25 มิลลิลิตร
6. บิวเรต ขนาด 50 มิลลิลิตร
7. กระดาษยูนิเวอร์แซลอินดิเคเตอร์ (Universal Indicator)
8. หลอดหยด
9. ครกบดสาร
10. เครื่องเขย่า (Shaker)
11. เครื่องชั่งไฟฟ้า 2 และ 4 ตำแหน่ง
12. กระจกนาฬิกา
13. ตู้อบสาร
14. กระดาษกรอง
15. ชุดกรองแบบลดความดัน
16. เครื่อง Scanning Electron Microscope รุ่น LEO 1450 VP ยี่ห้อ LEO
17. เครื่อง Fourier-Transform Infrared Spectrophotometer (FT-IR) GX รุ่น 60237 ยี่ห้อ Perkin Elmer
18. เครื่อง X-ray Diffractometer (XRD) รุ่น D8 Advance ยี่ห้อ Siemens
19. เครื่อง Thermogravimetric Analysis (TGA) รุ่น Pyric 1 ยี่ห้อ Perkin Elmer
20. เครื่อง UV-Visible Spectrophotometer รุ่น 6405 ยี่ห้อ Jenway
21. เครื่อง Atomic Absorption Spectrophotometer รุ่น AAS-200 บริษัท Perkin Elmer

เอกสารนี้เป็นเอกสารที่สงวนไว้สำหรับการใช้งานเพื่อการศึกษาเท่านั้น ไม่อนุญาตให้นำไปใช้ประโยชน์ด้านการค้า ไม่ว่าจะกรณีใดๆทั้งสิ้น อีกทั้งห้ามมิให้คัดแปลงเนื้อหา และต้องอ้างอิงถึงเจ้าของเอกสารทุกครั้งที่มีการนำไปใช้

3.2 สารเคมี

1. ไคโตซาน (Chitosan) เกรดการค้าบริษัท เอ็นเอ็นซี โปรดักส์ จำกัด
2. แลนทานัมแอซิเตด (Lanthanum (III) Acetate, $\text{La}(\text{CH}_3\text{CO}_2)_3 \cdot x\text{H}_2\text{O}$) เกรดวิเคราะห์ บริษัท Etalmar
3. เหล็กคลอไรด์ (Iron (III) Chloride, FeCl_3) เกรดวิเคราะห์ บริษัท CabroErba
4. พอลิไวนิลแอลกอฮอล์ (Polyvinyl alcohol, $(\text{CH}_2\text{CH}(\text{OH}))_x$) บริษัท Etalmar
5. โพแทสเซียมไดโครเมต (Potassium dichromate, $\text{K}_2\text{Cr}_2\text{O}_7$) เกรดวิเคราะห์บริษัท Fluka
6. กรดแอซิติก (Acetic acid, CH_3COOH) เกรดวิเคราะห์บริษัท Lab System
7. โซเดียมไฮดรอกไซด์ (Sodium Hydroxide, NaOH) เกรดวิเคราะห์บริษัท Carlo Erba
8. กรดไฮโดรคลอริก (Hydrochloric acid, HCl) เกรดวิเคราะห์บริษัท Lab Scan
9. อะซีโตน (Acetone, CH_3COCH_3) เกรดวิเคราะห์บริษัท SR. LAB
10. ไดฟีนิลคาบารไซด์ (Diphenylcabarzide) เกรดวิเคราะห์บริษัท Fluka
11. โซเดียมไทโอซัลเฟต (Sodium Thiosulfate, $\text{Na}_2\text{S}_2\text{O}_3 \cdot 5\text{H}_2\text{O}$) เกรดวิเคราะห์บริษัท Lab System
12. โซเดียมคาร์บอเนต (Sodium carbomate, Na_2CO_3) เกรดวิเคราะห์ บริษัท Lab Scan
13. ไอโอดีน (Iodine, I_2) เกรดวิเคราะห์บริษัท CabroErba
14. โพแทสเซียมไอโอไดด์ (Potassium Iodide, KI) เกรดวิเคราะห์ บริษัท SR.LAB
15. โพแทสเซียมไอโอเดต (Potassium Iodate, KIO_3) เกรดวิเคราะห์ บริษัท Fluka
16. คอปเปอร์คลอไรด์ (Copper Chloride, CuCl_2) เกรดวิเคราะห์ บริษัท Etalmar
17. แป้งมัน (starch) เกรดการค้า (II)
18. น้ำกลั่น (Distilled water)

เอกสารนี้เป็นเอกสารที่สงวนไว้สำหรับการใช้งานเพื่อการศึกษาเท่านั้น ไม่อนุญาตให้นำไปใช้ประโยชน์ด้านการค้า ไม่ว่ากรณีใดๆทั้งสิ้น อีกทั้งห้ามมิให้คัดลอกเนื้อหา และต้องอ้างอิงถึงเจ้าของเอกสารทุกครั้งที่มีการนำไปใช้

3.3 การทดลอง

3.3.1 การเตรียมตัวดูดซับ

1) การเตรียมสารละลายแลนทานัม

1.1 ชั่งแลนทานัมแอซิเตด (Lanthanum (III) Acetate) จำนวน 45.5 กรัม ใส่ลงในขวดวัดปริมาตรขนาด 100 มิลลิลิตร ปรับปริมาตรด้วยน้ำกลั่นจนถึงขีดบอกริมาตรจะได้อุณหภูมิของสารละลายสต็อก แลนทานัมความเข้มข้น 20 เปอร์เซ็นต์โดยน้ำหนัก

1.2 ปิเปตสารละลายสต็อกแลนทานัมมา 12.5 มิลลิลิตร ลงในขวดวัดปริมาตรขนาด 50 มิลลิลิตร และปรับปริมาตรด้วยน้ำกลั่นจนถึงขีดบอกริมาตรจะได้อุณหภูมิของสารละลายความเข้มข้น 5 เปอร์เซ็นต์โดยน้ำหนัก

1.3 ปิเปตสารละลายแลนทานัมมา 25.0 มิลลิลิตร ลงในขวดวัดปริมาตรขนาด 50 มิลลิลิตร และปรับปริมาตรด้วยน้ำกลั่นจนถึงขีดบอกริมาตร จะได้อุณหภูมิของสารละลายความเข้มข้น 10 เปอร์เซ็นต์โดยน้ำหนัก

2) การเตรียมสารละลายเหล็ก

2.1 ชั่งเหล็กคลอไรด์ (Iron (III) Chloride) จำนวน 96.43 กรัม ใส่ลงในขวดวัดปริมาตรขนาด 100 มิลลิลิตร ปรับปริมาตรด้วยน้ำกลั่นจนถึงขีดบอกริมาตร จะได้อุณหภูมิของสารละลายสต็อกเหล็ก ความเข้มข้น 20 เปอร์เซ็นต์โดยน้ำหนัก

2.2 ปิเปตสารละลายสต็อกเหล็กมา 12.5 มิลลิลิตร ลงในขวดวัดปริมาตรขนาด 50 มิลลิลิตร และปรับปริมาตรด้วยน้ำกลั่นจนถึงขีดบอกริมาตร จะได้อุณหภูมิของสารละลายความเข้มข้น 5 เปอร์เซ็นต์โดยน้ำหนัก

2.3 ปิเปตสารละลายสต็อกเหล็กมา 25.0 มิลลิลิตร ลงในขวดวัดปริมาตรขนาด 50 มิลลิลิตร และปรับปริมาตรด้วยน้ำกลั่นจนถึงขีดบอกริมาตร จะได้อุณหภูมิของสารละลายความเข้มข้น 10 เปอร์เซ็นต์โดยน้ำหนัก

3) การเตรียมตัวดูดซับแลนทานัมบนไคโตซานที่ปรับปรุงด้วยพอลิไวนิลแอลกอฮอล์ (La/Chi/PVA)

3.1 ละลายไคโตซาน 5 กรัม ในสารละลายกรดแอซิดิกเข้มข้น 10 เปอร์เซ็นต์โดยน้ำหนักต่อ ปริมาตร ปริมาตร 100 มิลลิลิตร นำสารละลายที่ได้มาปั่นกวนและตั้งทิ้งไว้ที่อุณหภูมิห้องเป็นเวลา 24 ชั่วโมง จะได้อุณหภูมิของสารละลายไคโตซาน

3.2 นำพอลิไวนิลแอลกอฮอล์ 12 กรัม ละลายในน้ำกลั่น 100 มิลลิลิตร จากนั้นทำการเขย่า ด้วยเครื่องเขย่าที่อุณหภูมิ 70 องศาเซลเซียส เป็นเวลา 8 ชั่วโมง จะได้อุณหภูมิของสารละลายพอลิไวนิล แอลกอฮอล์

3.3 นำสารละลายไคโตซานที่ได้มาผสมกับสารละลายพอลิไวนิลแอลกอฮอล์ จากนั้นทำการ เขย่าด้วยเครื่องเขย่าที่อุณหภูมิ 70 องศาเซลเซียส เป็นเวลา 6 ชั่วโมง

3.4 นำสารละลายผสมระหว่างไคโตซานและพอลิไวนิลแอลกอฮอล์ หยดลงในสารละลาย โซเดียมไฮดรอกไซด์เข้มข้น 1 โมลต่อลิตร อย่างต่อเนื่อง (เพื่อกำจัดกรดแอซิดที่มากเกินไป) และตั้ง ทิ้งไว้ที่อุณหภูมิห้องเป็นเวลา 24 ชั่วโมง จะเกิดตะกอนของเม็ดไคโตซาน (Chitosan Beads)

3.5 นำเม็ดโคโตนมากรองโดยใช้ตะแกรง และนำไปอบที่อุณหภูมิ 60 องศาเซลเซียส เป็น เวลา 3-4 ชั่วโมง เมื่ออบเสร็จ ปล่อยให้เย็นในเดซิเคเตอร์

3.6 นำเม็ดโคโตนเติมลงในสารละลายแลนทานัมที่มีความเข้มข้น 5, 10 และ 20 เปอร์เซ็นต์ โดยน้ำหนักจากนั้นเขย่าด้วยเครื่องเขย่าที่ความเร็ว 150 รอบต่อนาที เป็นเวลา 6 ชั่วโมง

3.7 เมื่อครบเวลาแล้ว ทำการกรองแยกตัวดูดซับแลนทานัมบนโคโตนด้วยเครื่องกรองแบบ ลดความดัน และอบที่อุณหภูมิ 60 องศาเซลเซียส เป็นเวลา 24 ชั่วโมง ปล่อยให้เย็นในเดซิเคเตอร์

4) การเตรียมตัวดูดซับเหล็กบนโคโตนที่ปรับปรุงด้วยพอลิไวนิลแอลกอฮอล์ (Fe/Chi/PVA)

4.1 ละลายโคโตน 5 กรัม ในสารละลายกรดแอสติกเข้มข้น 10 เปอร์เซ็นต์โดยน้ำหนักต่อ ปริมาตร ปริมาตร 100 มิลลิลิตร นำสารละลายที่ได้มาปั่นกวนและตั้งทิ้งไว้ที่อุณหภูมิห้องเป็นเวลา 24 ชั่วโมง จะได้สารละลายโคโตน

4.2 นำพอลิไวนิลแอลกอฮอล์ 12 กรัม ละลายในน้ำกลั่น 100 มิลลิลิตร จากนั้นทำการเขย่า ด้วยเครื่องเขย่าที่อุณหภูมิ 70 องศาเซลเซียส เป็นเวลา 8 ชั่วโมง จะได้สารละลายพอลิไวนิล แอลกอฮอล์

4.3 นำสารละลายโคโตนที่ได้มาผสมกับสารละลายพอลิไวนิลแอลกอฮอล์จากนั้นทำการ เขย่าด้วยเครื่องเขย่าที่อุณหภูมิ 70 องศาเซลเซียส เป็นเวลา 6 ชั่วโมง

4.4 นำสารละลายผสมระหว่างโคโตนและพอลิไวนิลแอลกอฮอล์หยดลงในสารละลาย โซเดียมไฮดรอกไซด์เข้มข้น 1 โมลต่อลิตร อย่างต่อเนื่อง (เพื่อกำจัดกรดแอสติกที่มากเกินไป) และตั้ง ทิ้งไว้ที่อุณหภูมิห้องเป็นเวลา 24 ชั่วโมง

4.5 นำมากรองโดยใช้ตะแกรง และนำเม็ดโคโตนที่ได้ไปอบที่อุณหภูมิ 60 องศาเซลเซียส เป็นเวลา 3-4 ชั่วโมง เมื่ออบเสร็จ ปล่อยให้เย็นในเดซิเคเตอร์

4.6 นำเม็ดโคโตนเติมลงในสารละลายเหล็กที่มีความเข้มข้น 5,10 และ 20 เปอร์เซ็นต์ จากนั้นนำไปเขย่าด้วยเครื่องเขย่าที่ความเร็ว 150 รอบต่อนาที เป็นเวลา 6 ชั่วโมง

4.7 เมื่อครบเวลาแล้ว ทำการกรองแยกตัวดูดซับเหล็กบนโคโตนด้วยเครื่องกรองแบบลด ความดัน และอบที่อุณหภูมิ 60 องศาเซลเซียส เป็นเวลา 24 ชั่วโมง ปล่อยให้เย็นในเดซิเคเตอร์

5) การเตรียมสารละลายโครเมียม (VI)

5.1 ชั่งโพแทสเซียมไดโครเมตจำนวน 2.83 กรัม ใส่ลงในขวดวัดปริมาตรขนาด 1000 มิลลิลิตร ปรับปริมาตรด้วยน้ำกลั่นจนถึงขีดบอกปริมาตรจะได้สารละลายสต็อกโครเมียม (VI) ความเข้มข้น 1000 มิลลิกรัมต่อลิตร

5.2 ปิเปตสารละลายสต็อกโครเมียม (VI) มา 50 มิลลิลิตร ลงในขวดวัดปริมาตรขนาด 100 มิลลิลิตรและปรับปริมาตรด้วยน้ำกลั่นจนถึงขีดบอกปริมาตรจะได้ความเข้มข้น 50 เปอร์เซ็นต์โดยน้ำหนักต่อปริมาตร

5.3 ปีเปตสารละลายสต็อกโครเมียม (VI) มา 10.0 มิลลิลิตร ลงในขวดวัดปริมาตรขนาด 100 มิลลิลิตร และปรับปริมาตรด้วยน้ำกลั่นจนถึงขีดบอกปริมาตร จะได้ความเข้มข้น 100 เปอร์เซ็นต์โดยน้ำหนักต่อปริมาตร

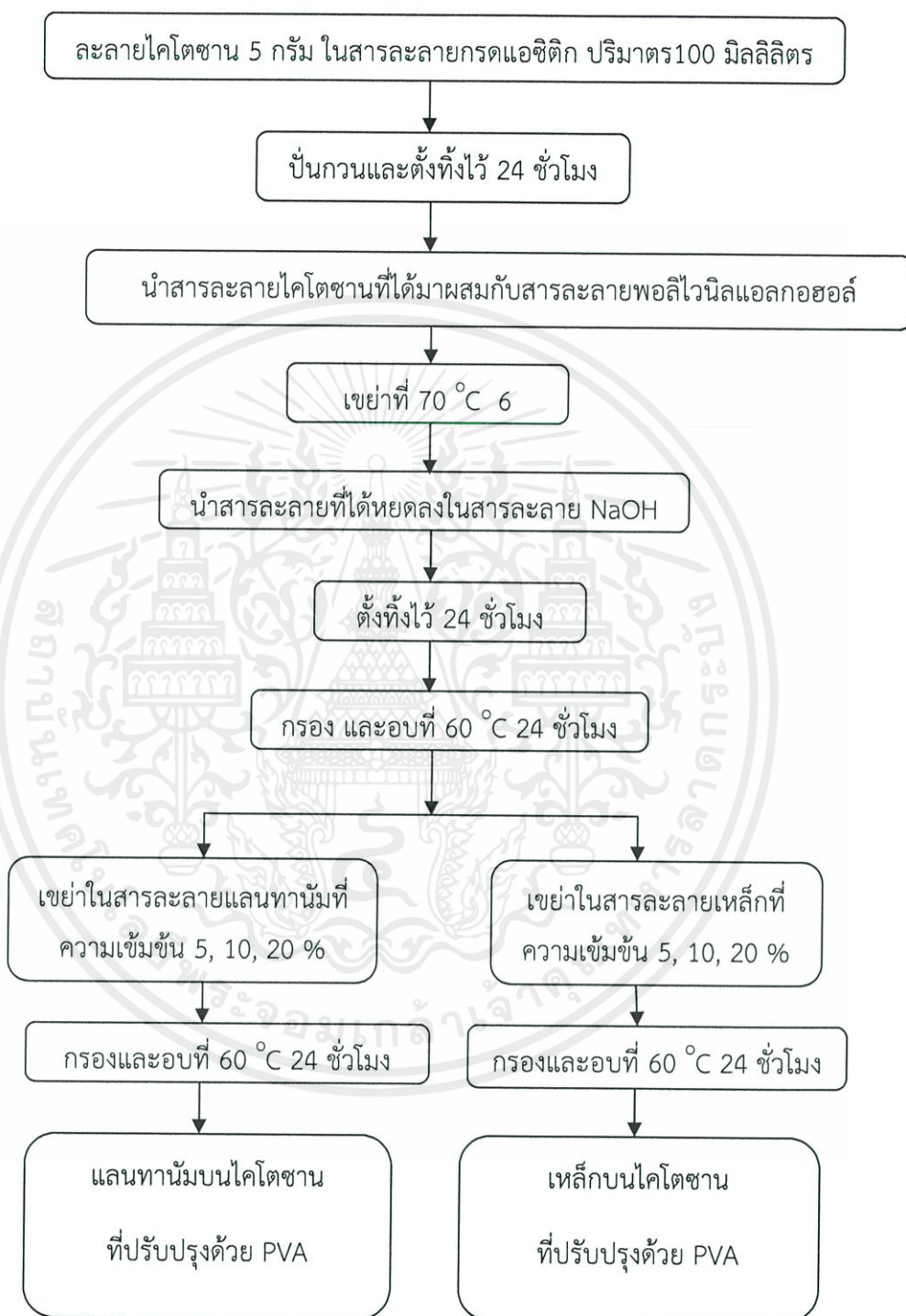
5.4 ปีเปตสารละลายสต็อกโครเมียม (VI) มา 20.0 มิลลิลิตร ลงในขวดวัดปริมาตรขนาด 100 มิลลิลิตรและปรับปริมาตรด้วยน้ำกลั่นจนถึงขีดบอกปริมาตร จะได้ความเข้มข้น 200 เปอร์เซ็นต์โดยน้ำหนักต่อปริมาตร

5.5 ปีเปตสารละลายสต็อกโครเมียม (VI) มา 30.0 มิลลิลิตร ลงในขวดวัดปริมาตรขนาด 100 มิลลิลิตรและปรับปริมาตรด้วยน้ำกลั่นจนถึงขีดบอกปริมาตร จะได้ความเข้มข้น 300 เปอร์เซ็นต์โดยน้ำหนักต่อปริมาตร



เอกสารนี้เป็นเอกสารที่สงวนไว้สำหรับการใช้งานเพื่อการศึกษาเท่านั้น ไม่อนุญาตให้นำไปใช้ประโยชน์ด้านการค้า ไม่ว่ากรณีใดๆทั้งสิ้น อีกทั้งห้ามมิให้ตัดแปลงเนื้อหา และต้องอ้างอิงถึงเจ้าของเอกสารทุกครั้งที่มีการนำไปใช้

แผนผังการทดลองในการเตรียมตัวดูดซับแสดงดังรูปที่ 3.1



เอกสารนี้เป็นเอกสารรูปที่ 3.1 แผนผังการเตรียมตัวดูดซับโลหะทรานซิชัน (แลนทานัมและเหล็ก) ประโยชน์ด้านการค้า ไม่ว่าจะกรณีใดๆ ทั้งสิ้น อีกทั้งบนไคโตซานที่ปรับปรุงด้วยพอลิไวนิลแอลกอฮอล์ เอกสารทุกครั้งที่มีการนำไปใช้

3.3.2 การศึกษาประสิทธิภาพการดูดซับของตัวดูดซับ

3.3.2.1 การเตรียมกราฟมาตรฐานของสารละลายโครเมียม (VI)

1) เตรียมสารละลายมาตรฐานโครเมียม (VI) ให้มีความเข้มข้น 10, 20, 30, 40, 50, 60 และ 80 มิลลิกรัมต่อลิตร โดยปิเปตสารละลายมาตรฐานโครเมียม (VI) เข้มข้น 1000 มิลลิกรัมต่อลิตรมา 1, 2, 3, 4, 5, 6 และ 8 มิลลิลิตร แล้วปรับปริมาตรด้วยน้ำกลั่นเป็น 100 มิลลิลิตร

2) เทสารละลายมาตรฐานโครเมียม (VI) แต่ละความเข้มข้นในบีกเกอร์ขนาด 250 มิลลิลิตร และปรับ pH ของสารละลายด้วยกรดไฮโดรคลอริกหรือโซเดียมไฮดรอกไซด์ 1 โมลต่อลิตร ให้มี pH 3 เนื่องจากที่ pH 3 จะเกิดการดูดซับได้ดีที่สุด [13] โดยอาศัยกระดาษยูนิเวอร์แซลอินดิเคเตอร์ (Universal Indicator) ในการวัด pH

3) เติมสารละลายไดฟีนิลคาบาริไซด์ 2 มิลลิลิตร เขย่าให้เข้ากัน ตั้งทิ้งไว้ 5-10 นาที เพื่อให้ปฏิกิริยาสร้างสีเกิดโดยสมบูรณ์จากนั้นนำไปวัด %Transmittance (%T) ที่ความยาวคลื่น 540 นาโนเมตร โดยใช้ น้ำกลั่นเป็นแบลนด์

4) ทำการพล็อตกราฟระหว่างความเข้มข้นของโครเมียม (VI) และ %T โดยใช้กราฟ Semi-log

3.3.2.2 ศึกษาประสิทธิภาพการดูดซับโครเมียม (VI) ของตัวดูดซับ

ในการทดลองนี้จะทำการศึกษาประสิทธิภาพการดูดซับโครเมียม (VI) ของตัวดูดซับ แลนทานัมและเหล็กบนโคโตซานที่ปรับปรุงด้วยพอลิไวนิลแอลกอฮอล์ ซึ่งความเข้มข้นของสารละลายเหล็กและแลนทานัมที่ใช้เตรียมตัวดูดซับเป็น 5, 10 และ 20 เปอร์เซ็นต์โดยน้ำหนัก โดยเปรียบเทียบกับโคโตซานที่ปรับปรุงด้วยพอลิไวนิลแอลกอฮอล์ ขั้นตอนการทดลอง เป็นดังนี้

1) เตรียมน้ำทิ้งสังเคราะห์ที่มีความเข้มข้นเริ่มต้นโครเมียม (VI) 50 มิลลิกรัมต่อลิตร ปริมาตร 100 มิลลิลิตร โดยเจือจางจากสารละลายสต็อกโครเมียม (VI) เข้มข้น 1000 มิลลิกรัมต่อลิตร ปรับ pH ของสารละลายเป็น 3 ด้วยกรดไฮโดรคลอริกหรือโซเดียมไฮดรอกไซด์

2) นำสารละลายที่เตรียมได้จากข้อ 1 มา 50 มิลลิลิตร เทใส่ขวดรูปชมพู่ขนาด 250 มิลลิลิตร และกำหนดชุดการทดลอง 7 ชุด (ชุดที่ 1-3 เป็น Fe/Chi/PVA ที่เตรียมจากความเข้มข้นของเหล็ก 5, 10, 20% ชุดที่ 4-6 เป็น La/Chi/PVA ที่เตรียมจากความเข้มข้นของแลนทานัม 5, 10, 20% และชุดที่ 7 เป็น Chi/PVA) เติมตัวดูดซับ 0.5 กรัม หลังจากนั้นนำไปตั้งในเครื่องเขย่าด้วยอัตราเร็ว 100 รอบต่อนาที ที่อุณหภูมิห้องเป็นเวลา 4 ชั่วโมง

3) เมื่อครบเวลานำของผสมไปทำการกรองแบบลดความดัน นำสารละลายโครเมียม (VI) ที่ กรองได้ไปวิเคราะห์หาปริมาณโครเมียม (VI) ด้วยวิธีสร้างสีกับไดฟีนิลคาบาริไซด์ โดยปิเปตสารละลายโครเมียม (VI) มา 1 มิลลิลิตร ใส่ในขวดวัดปริมาตรขนาด 100 มิลลิลิตร แล้วปรับปริมาตรด้วยน้ำกลั่น เติมสารละลายไดฟีนิลคาบาริไซด์ 2 มิลลิลิตร แล้วทิ้งไว้ 10 นาที เพื่อให้เกิดการสร้างสีอย่างสมบูรณ์ จากนั้นนำไปวัด %transmittance (%T) ที่ความยาวคลื่น 540 นาโนเมตร ด้วยเครื่องยูวีวิสิเบิลสเปกโตรโฟโตมิเตอร์

4) ทำการประมวลผลหาค่าเปอร์เซ็นต์ของการดูดซับ

เอกสารนี้เป็นเอกสารที่จัดทำขึ้นเพื่อใช้ในการเรียนการสอนเท่านั้น มิอาจนำข้อมูลไปใช้ประโยชน์ด้านการค้า ไม่ว่ากรณีใดๆทั้งสิ้น อีกทั้งห้ามมิให้คัดลอกเนื้อหา และต้องอ้างอิงถึงเจ้าของเอกสารทุกครั้งที่มีการนำไปใช้

5) เปรียบเทียบเปอร์เซ็นต์การดูดซับของตัวดูดซับทั้ง 7 ตัวอย่าง จากนั้นทำการเลือก La/Chi/PVA และ Fe/Chi/PVA ที่เตรียมจากความเข้มข้นแลนทานัมและเหล็กที่ให้เปอร์เซ็นต์การดูดซับสูงสุด มาทำการศึกษาผลของความเข้มข้นเริ่มต้นของโครเมียม (VI) และเวลาที่มีต่อประสิทธิภาพของการดูดซับ

3.3.2.3 การศึกษาผลของความเข้มข้นเริ่มต้นของโครเมียม (VI) และเวลาที่มีผลต่อการดูดซับ

1) เตรียมน้ำทิ้งสังเคราะห์ที่มีความเข้มข้นของสารละลายมาตรฐานโครเมียม (VI) เท่ากับ 50, 100, 200, และ 300 มิลลิกรัมต่อลิตร ปริมาตร 50 มิลลิตรโดยเตรียมจากสารละลายโครเมียม (VI) ความเข้มข้น 1000 มิลลิกรัมต่อลิตร

2) ปรับ pH ของน้ำทิ้งสังเคราะห์ให้ได้เป็น 3 ด้วยกรดไฮโดรคลอริกหรือโซเดียมไฮดรอกไซด์เข้มข้น 1 โมลต่อลิตร

3) เติมตัวอย่างน้ำทิ้งสังเคราะห์จำนวน 50 มิลลิตร ลงในขวดรูปชมพู่ จากนั้นเติมตัวดูดซับที่ทำการคัดเลือกจากการทดลองใน 3.3.2.2 ปริมาณ 0.5 กรัม หลังจากนั้นนำไปเขย่าในเครื่องเขย่าด้วยอัตราเร็ว 100 รอบต่อนาที ที่อุณหภูมิห้องทำการจับเวลาเพื่อสุ่มตัวอย่างมาวิเคราะห์โดยทำในนาที่ที่ 10, 30, 60, 90, 120, 180 และ 240

4) สุ่มตัวอย่างตามเวลาดังข้อ 3 โดยสุ่มตัวอย่างมา 0.5 มิลลิตร ใส่ในขวดวัดปริมาตรขนาด 50 มิลลิตร จากนั้นปรับปริมาตรจนครบ 50 มิลลิตร ทำการกรองสารละลายแล้วนำสารละลายที่กรองได้ไปทำการวิเคราะห์หาปริมาณโครเมียม (VI) ที่เหลืออยู่โดยการสร้างสีกับไดฟีนิลคาบาริไซด์ จากนั้นนำไปวัด %transmittance (%T) ที่ความยาวคลื่น 540 นาโนเมตร ด้วยเครื่องยูวีวิสิเบิลสเปกโตรโฟโตมิเตอร์

5) ทำการประมวลผลหาค่าเปอร์เซ็นต์การดูดซับและพล็อตกราฟระหว่างความเข้มข้นของโครเมียม (VI) ที่เหลืออยู่ที่สภาวะสมดุลกับเวลาที่ใช้ในการดูดซับเพื่อหาความเข้มข้นของโครเมียม (VI) ที่สมดุลที่ความเข้มข้นเริ่มต้นต่างๆ เพื่อนำไปคำนวณหาปริมาณการดูดซับและนำข้อมูลไปหา ไอโซเทอมการดูดซับต่อไป

3.3.2.4 การศึกษาผลของอุณหภูมิที่มีผลต่อการดูดซับ

ในการทดลองนี้จะทำการศึกษาผลกระทบของอุณหภูมิที่มีผลต่อการดูดซับโครเมียม (VI) ของตัวดูดซับเหล็กบนโคโดซานที่ปรับปรุงด้วยพอลิไวนิลแอลกอฮอล์ซึ่งความเข้มข้นของสารละลายเหล็กที่ใช้เป็น 10 เปอร์เซ็นต์โดยน้ำหนัก ขั้นตอนการทดลอง เป็นดังนี้

1) เตรียมน้ำทิ้งสังเคราะห์ที่มีความเข้มข้นเริ่มต้นของสารละลายโครเมียม (VI) 100 มิลลิกรัม ต่อลิตรปริมาตร 100 มิลลิตร โดยเจือจางจากสารละลายสต็อกโครเมียม (VI) เข้มข้น 1000 มิลลิกรัมต่อลิตรปรับ pH ของสารละลายเป็น 3 ด้วยกรดไฮโดรคลอริกหรือโซเดียมไฮดรอกไซด์

2) นำสารละลายที่เตรียมได้จากข้อ 1 มา 50 มิลลิตร เทใส่ขวดรูปชมพู่ขนาด 250 มิลลิตร และกำหนดชุดการทดลอง 2 ชุด เติมตัวดูดซับ 0.5 กรัม หลังจากนั้นนำไปตั้งในเครื่องเขย่าด้วยอัตราเร็ว 100 รอบต่อนาทีที่อุณหภูมิห้องและที่อุณหภูมิ 50 องศาเซลเซียสเป็นเวลา 4 ชั่วโมง

3) เมื่อครบเวลานำของผสมไปทำการกรองแบบลดความดัน นำสารละลายโครเมียม (VI) ที่กรองได้ไปวิเคราะห์หาปริมาณโครเมียม (VI) ด้วยวิธีสร้างสีกับไดฟีนิลคาบาร์ไซด์ โดยปิเปตสารละลายโครเมียม (VI) มา 1 มิลลิลิตร ใส่ในขวดวัดปริมาตรขนาด 100 มิลลิลิตร แล้วปรับปริมาตรด้วยน้ำกลั่น เติมสารละลายไดฟีนิลคาบาร์ไซด์ 2 มิลลิลิตร แล้วทิ้งไว้ 10 นาที เพื่อให้เกิดการสร้างสีอย่างสมบูรณ์ จากนั้นนำไปวัด %transmittance (%T) ที่ความยาวคลื่น 540 นาโนเมตร ด้วยเครื่องยูวีวิสิเบิลสเปกโตรโฟโตมิเตอร์

4) ทำการประมวลผลหาค่าเปอร์เซ็นต์ของการดูดซับ

5) เปรียบเทียบเปอร์เซ็นต์การดูดซับระหว่างที่อุณหภูมิห้องและที่อุณหภูมิ 50 องศาเซลเซียส

3.3.2.5 การศึกษาผลของไอออนร่วมที่มีผลต่อการดูดซับ

ในการทดลองนี้จะทำการศึกษามลกระทบของไอออนร่วมที่มีผลต่อการดูดซับโครเมียม (VI) ของตัวดูดซับเหล็กบนไคโตซานที่ปรับปรุงด้วยพอลิไวนิลแอลกอฮอล์ซึ่งความเข้มข้นของสารละลายเหล็กที่ใช้เป็น 10 เปอร์เซ็นต์โดยน้ำหนัก โดยใช้คอปเปอร์เป็นไอออนร่วม ขั้นตอนการทดลองเป็น ดังนี้

1) เตรียมสารละลายคอปเปอร์ 200 มิลลิกรัมต่อลิตร โดยชั่งคอปเปอร์ (II) คลอไรด์ 0.017 กรัม ละลายในน้ำกลั่นจากนั้นเทใส่ขวดวัดปริมาตร 50 มิลลิลิตร ปรับปริมาตรด้วยน้ำกลั่น

2) นำน้ำทิ้งสังเคราะห์ที่มีความเข้มข้นเริ่มต้นของสารละลายโครเมียม (VI) 200 มิลลิกรัมต่อลิตร ปริมาตร 50 มิลลิลิตร และสารละลายคอปเปอร์ 200 มิลลิกรัมต่อลิตร ปริมาตร 50 มิลลิลิตร (ในสารละลายผสมจะมีความเข้มข้นของโครเมียม (VI) และคอปเปอร์อย่างละ 100 มิลลิกรัมต่อลิตร) ปรับ pH ของสารละลายเป็น 3 ด้วยกรดไฮโดรคลอริกหรือโซเดียมไฮดรอกไซด์

3) เติมตัวดูดซับ (10% Fe/Chi/PVA) 0.5 กรัม หลังจากนั้นนำไปตั้งในเครื่องเขย่าด้วย อัตราเร็ว 100 รอบนาที ที่อุณหภูมิห้องเป็นเวลา 4 ชั่วโมง

4) เมื่อครบเวลานำของผสมไปทำการกรองแบบลดความดัน นำสารละลายโครเมียม (VI) ที่กรองได้ไปวิเคราะห์หาปริมาณโครเมียม (VI) ด้วยวิธีสร้างสีกับไดฟีนิลคาบาร์ไซด์ โดยปิเปตสารละลายโครเมียม (VI) มา 1 มิลลิลิตร ใส่ในขวดวัดปริมาตรขนาด 100 มิลลิลิตร แล้วปรับปริมาตรด้วยน้ำกลั่น เติมสารละลายไดฟีนิลคาบาร์ไซด์ 2 มิลลิลิตร แล้วทิ้งไว้ 10 นาที เพื่อให้เกิดการสร้างสีอย่างสมบูรณ์ จากนั้นนำไปวัด %transmittance (%T) ที่ความยาวคลื่น 540 นาโนเมตร ด้วยเครื่องยูวีวิสิเบิลสเปกโตรโฟโตมิเตอร์

5) ทำการประมวลผลหาค่าเปอร์เซ็นต์ของการดูดซับ

6) เปรียบเทียบเปอร์เซ็นต์การดูดซับระหว่างการดูดซับที่มีเฉพาะไอออนของโครเมียม (VI) และการดูดซับที่มีคอปเปอร์เป็นไอออนร่วม

เอกสารนี้เป็นเอกสารที่สงวนไว้สำหรับการใช้งานเพื่อการศึกษาเท่านั้น ไม่อนุญาตให้นำไปใช้ประโยชน์ด้านการค้า ไม่ว่าจะกรณีใดๆทั้งสิ้น อีกทั้งห้ามมิให้คัดลอกเนื้อหา และต้องอ้างอิงถึงเจ้าของเอกสารทุกครั้งที่มีการนำไปใช้

3.3.3 การศึกษาไอโซเทอมของการดูดซับโครเมียม (VI)

นำผลการทดลองที่ได้จากการทดลองที่ 3.3.2.3 มาทำการวิเคราะห์ไอโซเทอมของการดูดซับว่าเป็นแบบแลงเมียร์หรือแบบฟรุนดลิช เพื่อเปรียบเทียบระหว่างตัวดูดซับแลนทานัมบนโคโตซานที่ปรับปรุงด้วยพอลิไวนิลแอลกอฮอล์และตัวดูดซับเหล็กบนโคโตซานที่ปรับปรุงด้วยพอลิไวนิลแอลกอฮอล์

3.3.4 การทดสอบสมบัติทางเคมีและพิสูจน์เอกลักษณ์ของตัวดูดซับ

ตัวดูดซับที่สังเคราะห์ได้จะถูกนำไปวิเคราะห์สมบัติทางเคมีต่างๆ ดังแสดงในตารางที่ 3.1

ตารางที่ 3.1 การทดสอบสมบัติทางเคมีของผลิตภัณฑ์จากปฏิกิริยา

สมบัติที่ทดสอบ	ผลิตภัณฑ์ที่ทำการทดสอบ	เครื่องมือหรือเทคนิคที่ใช้วิเคราะห์
1. วิเคราะห์หมู่ฟังก์ชัน	ตัวดูดซับ	Fourier-Transform Infrared Spectrophotometer (FT-IR)
2. ลักษณะพื้นผิวตัวดูดซับก่อนและหลังทำปฏิกิริยา	ตัวดูดซับ	Scanning Electron Microscope (SEM)
3. วิเคราะห์โครงสร้างผลึก	ตัวดูดซับ	X-ray Diffractometer (XRD)
4. วิเคราะห์การเปลี่ยนแปลงน้ำหนัก	ตัวดูดซับ	Thermogravimetric Analysis (TGA)
5. เลขไอโอดีน	ตัวดูดซับ	การดูดซับไอโอดีน

3.3.4.1 การวิเคราะห์เลขไอโอดีน (Iodine Number)

- 1) อบสารที่จะนำมาเป็นตัวดูดซับให้แห้ง แล้วทิ้งให้เย็นในเดซิเคเตอร์ (desiccator) หลังจากนั้นชั่งตัวดูดซับมาปริมาณ 1 กรัม ใส่ลงในขวดรูปชมพู่ 250 มิลลิลิตร
- 2) เติมน้ำละลายไฮโดรคลอริกเข้มข้น 5 เปอร์เซ็นต์โดยน้ำหนัก ปริมาตร 10 มิลลิลิตร ลงในขวดรูปชมพู่ที่มีตัวดูดซับบรรจุอยู่
- 3) ปิเปตสารละลายไอโอดีนความเข้มข้น 0.1 โมลต่อลิตร ปริมาตร 100 มิลลิลิตร ลงในขวดรูปชมพู่ แล้วนำไปเขย่าเป็นเวลา 30 วินาที จากนั้นทำการกรองเพื่อแยกตัวดูดซับออก เก็บเฉพาะสารละลายที่กรองได้
- 4) ปิเปตสารละลายที่กรองได้มา 50 มิลลิลิตร ใส่ในขวดรูปชมพู่ 250 มิลลิลิตร ไทเทรตกับสารละลายโซเดียมไทโอซัลเฟต จนได้สารละลายสีเหลืองอ่อน เติมน้ำแบ่ง 2 มิลลิลิตร แล้วนำไปไทเทรตกับสารละลายโซเดียมไทโอซัลเฟตจนกระทั่งไม่มีสี
- 5) นำปริมาตรสารละลายโซเดียมไทโอซัลเฟตที่ใช้ไปคำนวณหาเลขไอโอดีนในหน่วย มิลลิกรัมของไอโอดีนที่ถูกดูดซับต่อน้ำหนักเป็นกรัมของตัวดูดซับ (mg/g) จากสมการ (3.1)

เอกสารนี้เป็นเอกสารที่สงวนไว้สำหรับการใช้งานเพื่อการศึกษาเท่านั้น ไม่อนุญาตให้นำไปใช้ประโยชน์ด้านการค้า
ไม่ว่ากรณีใดๆทั้งสิ้น อีกทั้งห้ามมิให้คัดลอกเนื้อหา และต้องอ้างอิงถึงเจ้าของเอกสารทุกครั้งที่มีการนำไปใช้

$$\text{เลขไอโอดีน} = \frac{X}{M} = \frac{[A - (DF)(B)(S)]}{M} \quad (3.1)$$

- เมื่อ S = ปริมาตรสารละลายโซเดียมไทโอซัลเฟตที่ใช้ไป (มิลลิลิตร)
M = ปริมาณตัวดูดซับ (กรัม)
A = [ความเข้มข้นของไอโอดีน (นอร์มัล)] x 12693.0
B = [ความเข้มข้นของโซเดียมไทโอซัลเฟต (นอร์มัล)] x 126.93
DF = dilution factor = $\frac{(100 + H)}{F}$
H = ปริมาตรสารละลายกรดไฮโดรคลอริกเข้มข้น 5% (มิลลิลิตร)
F = ปริมาตรสารละลายที่กรองได้ (มิลลิลิตร)
X/M = ปริมาณไอโอดีนที่ถูกดูดซับบนตัวดูดซับ (มิลลิกรัมต่อกรัม)



เอกสารนี้เป็นเอกสารที่สงวนไว้สำหรับการใช้งานเพื่อการศึกษาเท่านั้น ไม่อนุญาตให้นำไปใช้ประโยชน์ด้านการค้า
ไม่ว่ากรณีใดๆทั้งสิ้น อีกทั้งห้ามมิให้คัดแปลงเนื้อหา และต้องอ้างอิงถึงเจ้าของเอกสารทุกครั้งที่มีการนำไปใช้

บทที่ 4

ผลการทดลองและอภิปรายผล

งานวิจัยนี้เป็นการศึกษาประสิทธิภาพในการดูดซับโครเมียม (VI) ในน้ำทิ้งสังเคราะห์ โดยการดูดซับด้วยไคโตซานที่ปรับปรุงด้วยพอลิไวนิลแอลกอฮอล์ แลนทานัมและเหล็กบนไคโตซานที่ปรับปรุงด้วยพอลิไวนิลแอลกอฮอล์ โดยการนำเสนอผลการทดลองและวิจารณ์ผลการทดลอง แบ่งออกเป็น 2 ตอน ได้แก่

ตอนที่ 1 ศึกษาลักษณะทางกายภาพและทางเคมีของไคโตซานที่ปรับปรุงด้วยพอลิไวนิลแอลกอฮอล์ แลนทานัมและเหล็กบนไคโตซานที่ปรับปรุงด้วยพอลิไวนิลแอลกอฮอล์

ตอนที่ 2 ศึกษาการดูดซับโครเมียม (VI) ในน้ำทิ้งสังเคราะห์ด้วยไคโตซานที่ปรับปรุงด้วยพอลิไวนิลแอลกอฮอล์ แลนทานัมและเหล็กบนไคโตซานที่ปรับปรุงด้วยพอลิไวนิลแอลกอฮอล์ เพื่อศึกษาถึงอิทธิพลของปริมาณโลหะทรานซิชันบนตัวดูดซับ ชนิดของตัวดูดซับ เวลาในการดูดซับ ความเข้มข้นเริ่มต้นของโครเมียม (VI) อุณหภูมิ และไอออนร่วมที่มีผลต่อการกำจัดโครเมียม (VI)

4.1 การศึกษาลักษณะทางกายภาพและทางเคมีของไคโตซานที่ปรับปรุงด้วยพอลิไวนิลแอลกอฮอล์ แลนทานัมและเหล็กบนไคโตซานที่ปรับปรุงด้วยพอลิไวนิลแอลกอฮอล์

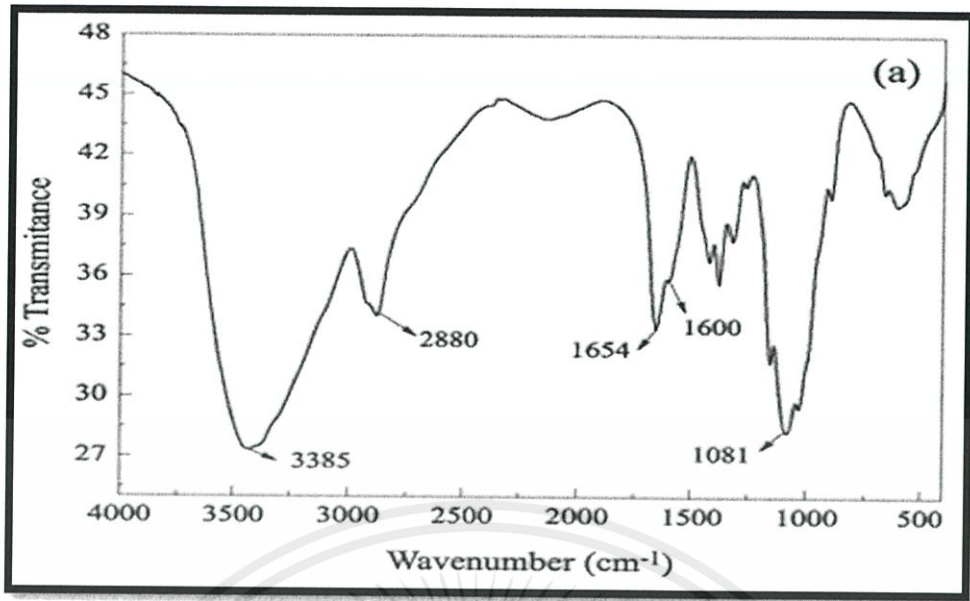
ในการศึกษาผลของความเข้มข้นของแลนทานัมและเหล็กบนไคโตซานที่ปรับปรุงด้วยพอลิไวนิลแอลกอฮอล์ มีผลต่อสมบัติของเม็ดไคโตซาน ได้ทำการเตรียมเม็ดไคโตซานที่มีการเปลี่ยนแปลงปริมาณของแลนทานัมและเหล็กเป็น 5, 10 และ 20 เปอร์เซ็นต์โดยน้ำหนักต่อปริมาตร จากนั้นทำการศึกษาสมบัติทางกายภาพและทางเคมีของเม็ดไคโตซานที่เตรียมได้

4.1.1 การวิเคราะห์หมู่ฟังก์ชันของไคโตซานที่ปรับปรุงด้วยพอลิไวนิลแอลกอฮอล์ แลนทานัมและเหล็กบนไคโตซานที่ปรับปรุงด้วยพอลิไวนิลแอลกอฮอล์

ไคโตซานและไคโตซานที่ปรับปรุงด้วยพอลิไวนิลแอลกอฮอล์ จะถูกนำไปวิเคราะห์หมู่ฟังก์ชันด้วยเครื่องฟูเรียร์ทรานส์ฟอร์มอินฟราเรดสเปกโตรโฟโตมิเตอร์ (FT-IR) อินฟราเรดสเปกตรัมของไคโตซานและไคโตซานที่ปรับปรุงด้วยพอลิไวนิลแอลกอฮอล์ แสดงดังรูปที่ 4.1 และ 4.2 ตามลำดับ

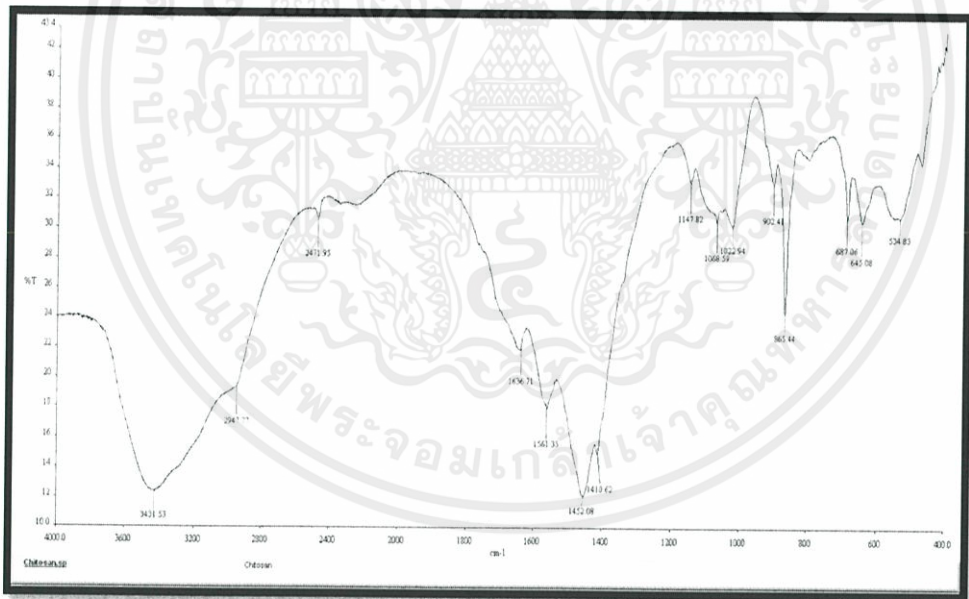
จากรูปที่ 4.1 ซึ่งเป็นอินฟราเรดสเปกตรัมของไคโตซาน โดยจะพบชนิดของการสั่นที่เลขคลื่นต่างๆ ดังนี้ ที่เลขคลื่นประมาณ 3385 cm^{-1} เป็นพีคของ O-H stretching และ N-H stretching ของ primary amine, เลขคลื่น $2880\text{-}2900\text{ cm}^{-1}$ เป็นพีคของ C-H stretching, เลขคลื่น 1654 และ 1600 cm^{-1} เป็นพีคของ N-H bending ของ primary amine, ที่เลขคลื่น 1081 cm^{-1} เป็นพีคของ C-O-C stretching ซึ่งพีคดังกล่าวสอดคล้องกับลักษณะโครงสร้างของไคโตซานซึ่งเป็นเซลลูโลสต่อกับหมู่อะมิโน

เอกสารนี้เป็นเอกสารที่สงวนไว้สำหรับการใช้งานเพื่อการศึกษาเท่านั้น ไม่อนุญาตให้นำไปใช้ประโยชน์ด้านการค้า ไม่ว่ากรณีใดๆทั้งสิ้น อีกทั้งห้ามมิให้ตัดแปลงเนื้อหา และต้องอ้างอิงถึงเจ้าของเอกสารทุกครั้งที่มีการนำไปใช้



รูปที่ 4.1 อินฟราเรดสเปกตรัมของไคโตซาน [14]

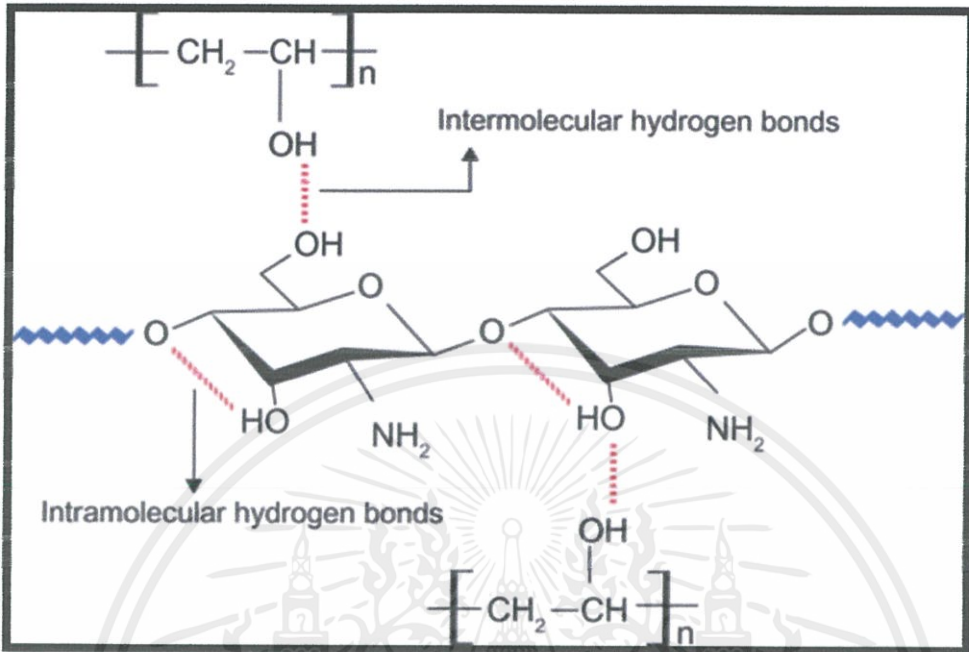
เมื่อนำไคโตซานไปปรับปรุงด้วยการเชื่อมโยงกับพอลิไวนิลแอลกอฮอล์ แล้วนำไปวิเคราะห์หมู่ฟังก์ชัน จะได้อินฟราเรดสเปกตรัม แสดงดังรูปที่ 4.2



รูปที่ 4.2 อินฟราเรดสเปกตรัมของไคโตซานที่ปรับปรุงด้วยพอลิไวนิลแอลกอฮอล์

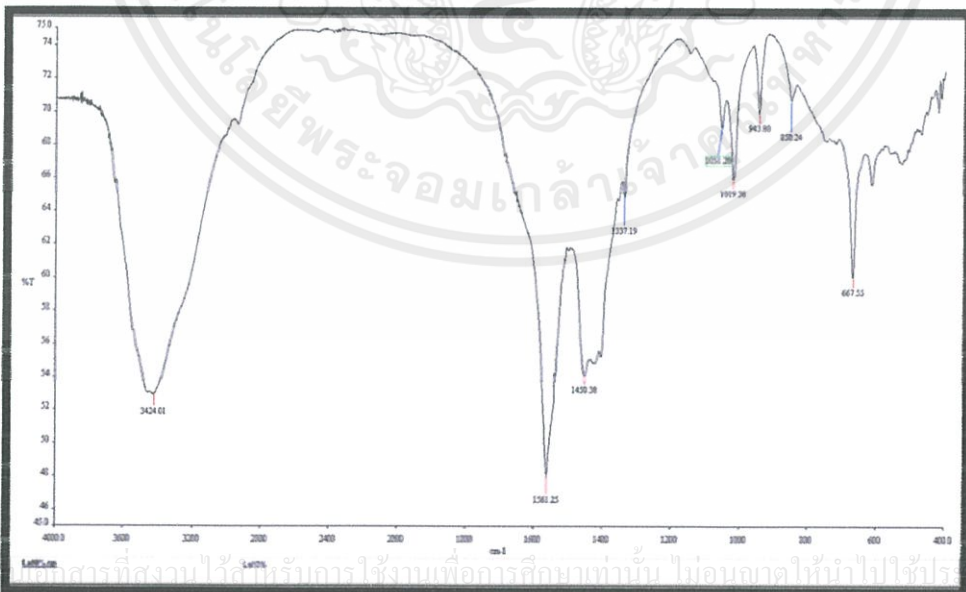
จากรูปที่ 4.2 จะเห็นได้ว่าพีกสำคัญๆ ที่แสดงเอกลักษณ์ของไคโตซานยังปรากฏอยู่ครบถ้วน เช่น O-H stretching และ N-H stretching ที่ 3431 cm^{-1} , C-H stretching ที่ 2947 cm^{-1} , N-H bending ที่ 1561 และ 1631 cm^{-1} และ C-O-C stretching ที่ 1068 cm^{-1} แต่จะพบพีกของ C-C stretching ที่เลขคลื่น 865 cm^{-1} เพิ่มขึ้นมา ซึ่งพีกที่ปรากฏขึ้นใหม่นี้เป็นพีกเอกลักษณ์ของพอลิไวนิลแอลกอฮอล์ และพบอีกว่าที่เลขคลื่น 3431 cm^{-1} พีกของ O-H stretching จะมีความกว้าง (broad) มากขึ้น แสดงให้เห็นถึงการเกิดแรงดึงดูดขึ้นบริเวณหมู่ O-H ของไคโตซานและ

พอลิไวนิลแอลกอฮอล์ นั้นคือพันธะไฮโดรเจน ดังนั้นโครงสร้างของโคโตะซานที่เกิดพันธะไฮโดรเจนกับพอลิไวนิลแอลกอฮอล์ แสดงดังรูปที่ 4.3



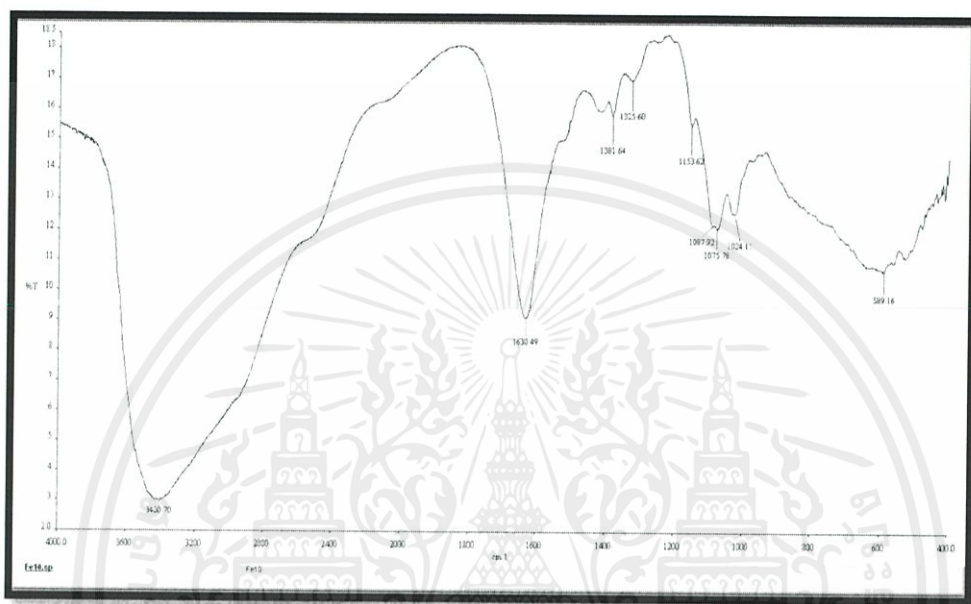
รูปที่ 4.3 การเชื่อมโยงด้วยพันธะไฮโดรเจนระหว่างโคโตะซานและพอลิไวนิลแอลกอฮอล์ [14]

สำหรับตัวดูดซับแลนทานัมและเหล็กบนโคโตะซานที่ปรับปรุงด้วยพอลิไวนิลแอลกอฮอล์ จะถูกนำไปวิเคราะห์หมู่ฟังก์ชัน อินฟราเรดสเปกตรัมของตัวดูดซับทั้ง 2 ชนิด แสดงดังรูปที่ 4.4 และ 4.5 ตามลำดับ



เอกสารนี้เป็นเอกสารที่สงวนไว้สำหรับการศึกษาเท่านั้น ไม่อนุญาตให้นำไปใช้ประโยชน์ด้านการค้า
ไม่ว่าการรูปที่ 4.4 อินฟราเรดสเปกตรัมของแลนทานัมบนโคโตะซานที่ปรับปรุงด้วยพอลิไวนิลแอลกอฮอล์

จากอินฟราเรดสเปกตรัมของแลนทานัมบนโคโตซานที่ปรับปรุงด้วยพอลิไวนิลแอลกอฮอล์ (รูปที่ 4.4) พบว่า มีความคล้ายคลึงกับอินฟราเรดสเปกตรัมของโคโตซานที่ปรับปรุงด้วยพอลิไวนิลแอลกอฮอล์ (รูปที่ 4.2) ยกเว้นที่บริเวณเลขคลื่น 1631 cm^{-1} จะไม่ปรากฏพีคของ N-H bending ของ primary amine ซึ่งอาจเกิดขึ้นจากไอออนของแลนทานัม (La^{3+}) เกิดพันธะกับหมู่เอมีโน ($-\text{NH}_2$) ของโคโตซาน ซึ่งหมู่ $-\text{NH}_2$ นี้มีอิเล็กตรอนคูโดดเดี่ยว จึงสามารถเป็นลิแกนด์ในการให้อิเล็กตรอนกับ La^{3+} และเกิดพันธะโคออร์ดิเนตโคเวเลนต์ได้ [15]

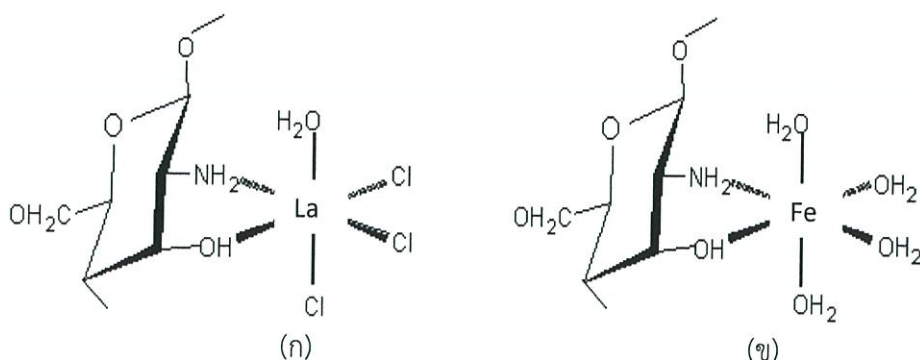


รูปที่ 4.5 อินฟราเรดสเปกตรัมของเหล็กบนโคโตซานที่ปรับปรุงด้วยพอลิไวนิลแอลกอฮอล์

จากอินฟราเรดสเปกตรัมของเหล็กบนโคโตซานที่ปรับปรุงด้วยพอลิไวนิลแอลกอฮอล์ (รูปที่ 4.5) พบว่า พีคมีลักษณะคล้ายคลึงกับอินฟราเรดสเปกตรัมของโคโตซานที่ปรับปรุงด้วยพอลิไวนิลแอลกอฮอล์เช่นกัน ยกเว้นที่บริเวณเลขคลื่น 1561 cm^{-1} จะไม่ปรากฏพีคของ N-H bending ของ primary amine ซึ่งสาเหตุน่าจะมาจากการเกิดสารประกอบเชิงซ้อนระหว่าง Fe^{3+} และ $-\text{NH}_2$ ซึ่งมีคุณสมบัติเป็นลิแกนด์ [16]

จากอินฟราเรดสเปกตรัมของแลนทานัมและเหล็กบนโคโตซานที่ปรับปรุงด้วยพอลิไวนิลแอลกอฮอล์ พบว่าทั้ง La^{3+} และ Fe^{3+} เกิดสารประกอบเชิงซ้อนกับโคโตซาน โดยมีลิแกนด์คือ หมู่เอมีโน ($-\text{NH}_2$) และหมู่ไฮดรอกซิล ($-\text{OH}$) ที่ไม่ได้เชื่อมโยงกับพอลิไวนิลแอลกอฮอล์ ซึ่ง Fe^{3+} และ La^{3+} มีเลขโคออร์ดิเนชันเป็น 6 จึงสามารถสร้างพันธะกับลิแกนด์ได้ถึง 6 พันธะ แสดงดังรูปที่ 4.6 [17, 18]

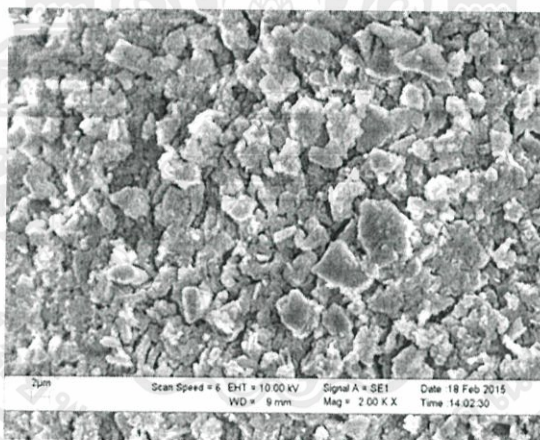
เอกสารนี้เป็นเอกสารที่สงวนไว้สำหรับการใช้งานเพื่อการศึกษาเท่านั้น ไม่อนุญาตให้นำไปใช้ประโยชน์ด้านการค้า ไม่ว่าจะกรณีใดๆทั้งสิ้น อีกทั้งห้ามมิให้คัดลอกเนื้อหา และต้องอ้างอิงถึงเจ้าของเอกสารทุกครั้งที่มีการนำไปใช้



รูปที่ 4.6 (ก) โครงสร้างของแลนทานัมบนโคโตซานที่ปรับปรุงด้วยพอลิไวนิลแอลกอฮอล์
 (ข) โครงสร้างของเหล็กบนโคโตซานที่ปรับปรุงด้วยพอลิไวนิลแอลกอฮอล์

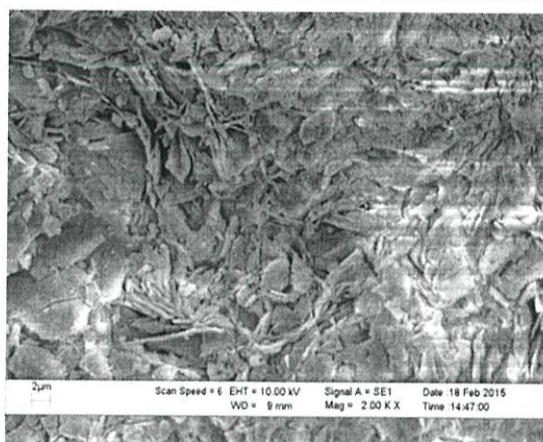
4.1.2 การศึกษาลักษณะพื้นผิวของโคโตซานที่ปรับปรุงด้วยพอลิไวนิลแอลกอฮอล์ แลนทานัมและเหล็กบนโคโตซานที่ปรับปรุงด้วยพอลิไวนิลแอลกอฮอล์

โคโตซานที่ปรับปรุงด้วยพอลิไวนิลแอลกอฮอล์ แลนทานัมและเหล็กบนโคโตซานที่ปรับปรุงด้วยพอลิไวนิลแอลกอฮอล์ ที่ความเข้มข้นของแลนทานัมและเหล็กเป็น 5%, 10% และ 20% ก่อนการดูดซับ และ 5% หลังการดูดซับ จะถูกนำไปศึกษาลักษณะพื้นผิวด้วยกล้องจุลทรรศน์อิเล็กตรอนแบบส่องกราด (Scanning Electron Microscope, SEM) ที่กำลังขยาย 2000 เท่า แสดงดังรูปที่ 4.7

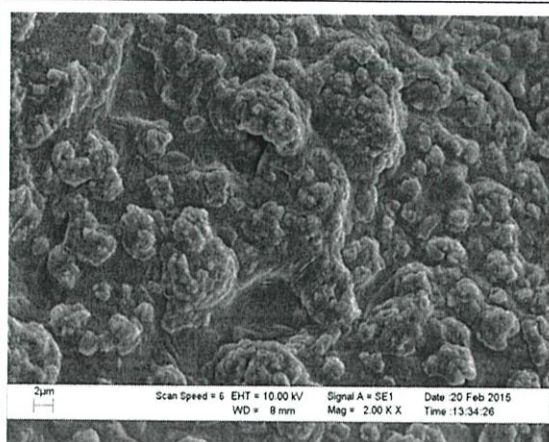


(ก) Chi/PVA ก่อนดูดซับ

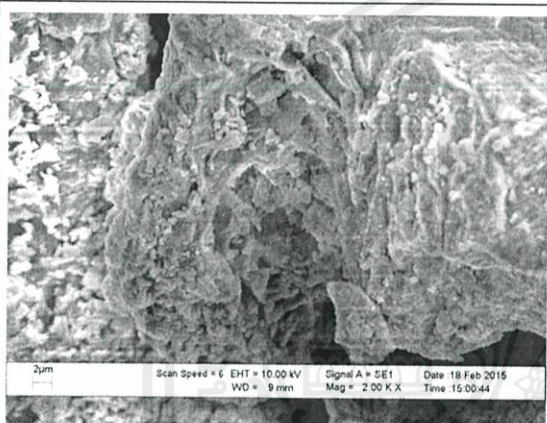
เอกสารนี้เป็นเอกสารที่สงวนไว้สำหรับการใช้งานเพื่อการศึกษาเท่านั้น ไม่อนุญาตให้นำไปใช้ประโยชน์ด้านการค้า ไม่ว่าจะกรณีใดๆ ทั้งสิ้น อีกทั้งห้ามมิให้คัดแปลงเนื้อหา และต้องอ้างอิงถึงเจ้าของเอกสารทุกครั้งที่มีการนำไปใช้



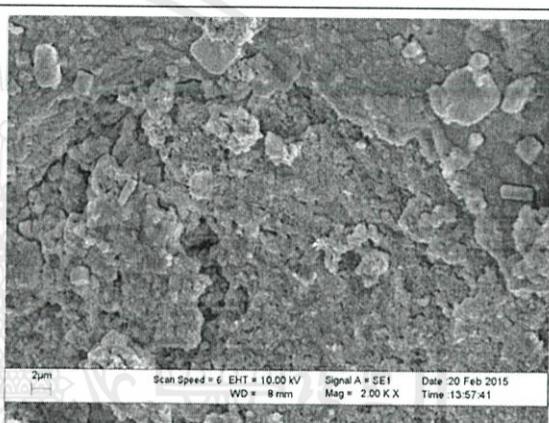
(ข) 5% La/Chi/PVA ก่อนดัดซ้ำ



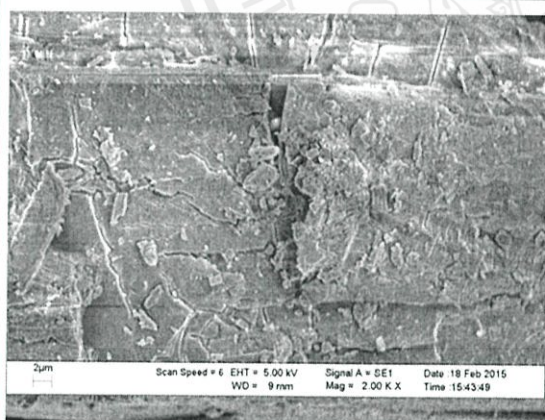
(ค) 5% Fe/Chi/PVA ก่อนดัดซ้ำ



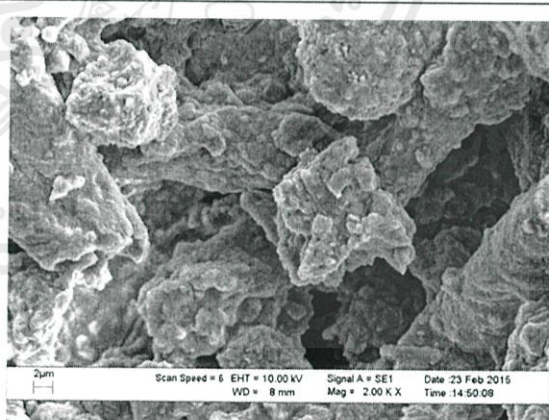
(ง) 10% La/Chi/PVA ก่อนดัดซ้ำ



(จ) 10% Fe/Chi/PVA ก่อนดัดซ้ำ

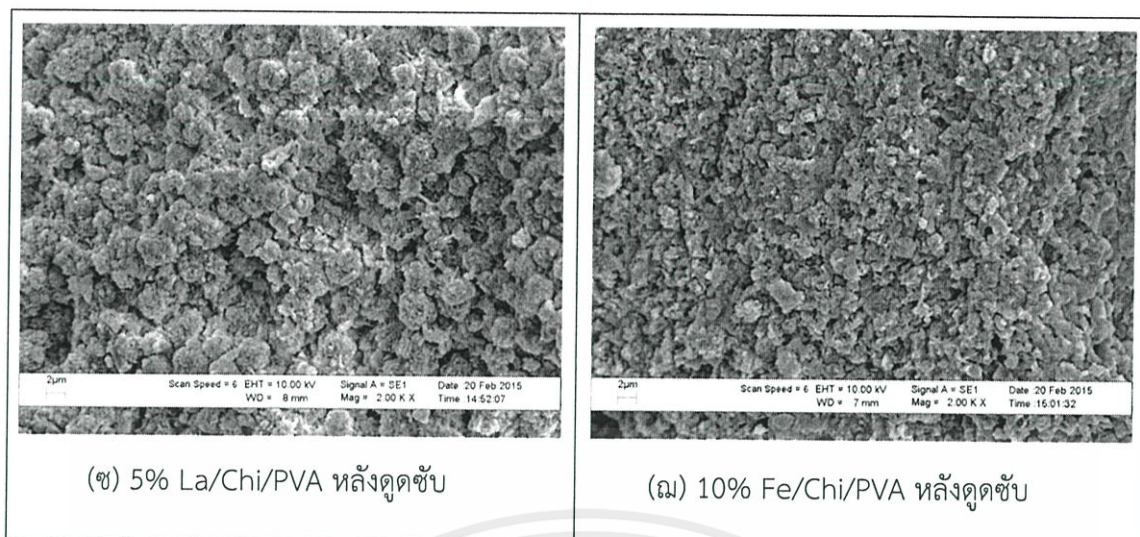


(ฉ) 20% La/Chi/PVA ก่อนดัด



(ช) 20% La/Chi/PVA หลังดัดซ้ำ

เอกสารนี้เป็นเอกสารที่สงวนไว้สำหรับการใช้งานเพื่อการศึกษาเท่านั้น ไม่อนุญาตให้นำไปใช้ประโยชน์ด้านการค้า ไม่ว่าจะกรณีใดๆทั้งสิ้น อีกทั้งห้ามมิให้ตัดแปลงเนื้อหา และต้องอ้างอิงถึงเจ้าของเอกสารทุกครั้งที่มีการนำไปใช้



(ข) 5% La/Chi/PVA หลังดูดซับ

(ฅ) 10% Fe/Chi/PVA หลังดูดซับ

รูปที่ 4.7 ลักษณะพื้นผิวของไคโตซานที่ปรับปรุงด้วย PVA, La/Chi/PVA และ Fe/Chi/PVA ที่สภาวะต่างๆ

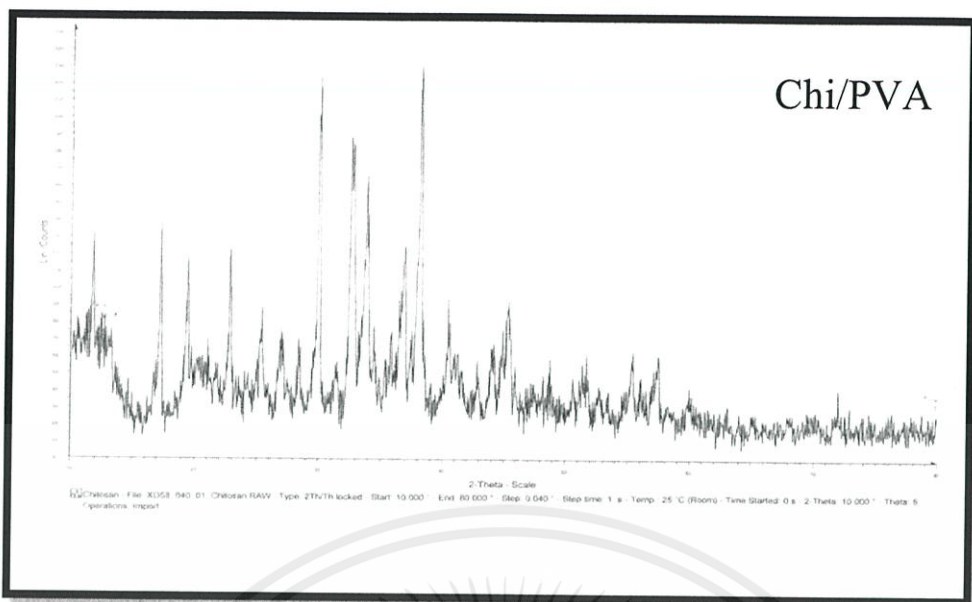
จากรูปที่ 4.7 จะเห็นได้ว่าไคโตซานที่ปรับปรุงด้วยพอลิไวนิลแอลกอฮอล์ มีลักษณะพื้นผิวที่ขรุขระ เมื่อนำไปปรับปรุงโครงสร้างด้วยเหล็กและแลนทานัม พบว่าพื้นผิวมีลักษณะเรียบขึ้น ซึ่งน่าจะเกิดจากการเกาะตัวของแลนทานัมอะซิเตต และเหล็กคลอไรด์บนพื้นผิวของไคโตซานที่ปรับปรุงด้วยพอลิไวนิลแอลกอฮอล์ โดยเมื่อปริมาณของแลนทานัมและเหล็กเพิ่มขึ้น พื้นผิวมีแนวโน้มที่จะเรียบขึ้นแสดงดังรูปที่ 4.7 (ก) – 4.7 (ข)

เมื่อทำการเปรียบเทียบลักษณะพื้นผิวของ 5% La/Chi/PVA ก่อนและหลังการดูดซับ (รูปที่ 4.7 (ข) และ 4.7 (ฅ)) จะเห็นได้ว่าก่อนการดูดซับพื้นผิวของ 5% La/Chi/PVA มีลักษณะเรียบกว่าหลังการดูดซับ ซึ่งอาจเป็นไปได้ว่ามีแลนทานัมบางส่วนที่เกาะบนไคโตซานที่ปรับปรุงด้วยพอลิไวนิลแอลกอฮอล์ หลุดออกไปในขณะที่ทำการดูดซับ ซึ่งลักษณะพื้นผิวของ 5% Fe/Chi/PVA ก่อนและหลังการดูดซับ (รูปที่ 4.7 (ค) และ 4.7 (ฅ)) ก็เป็นในลักษณะทำนองเดียวกัน

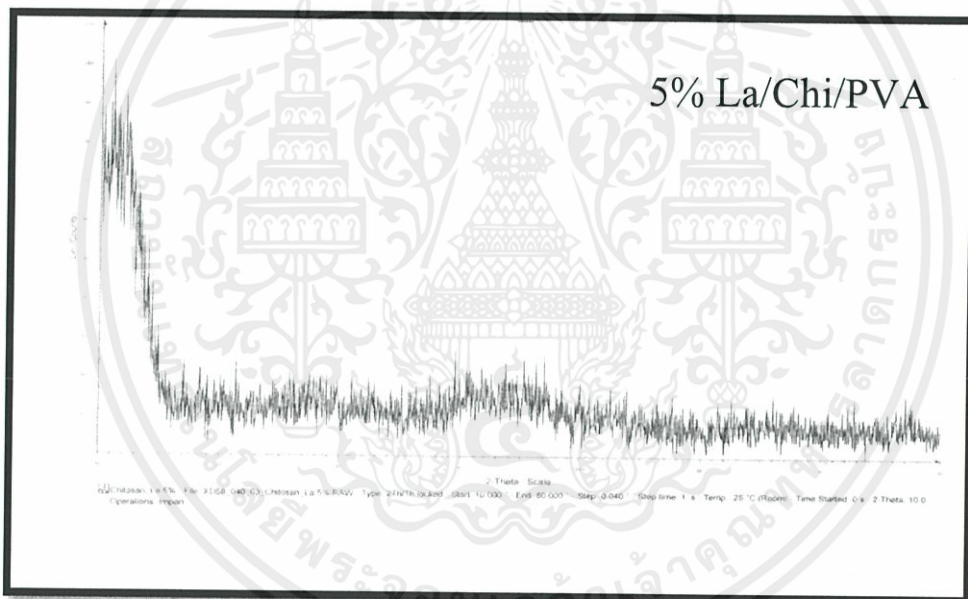
4.1.3 การศึกษาโครงสร้างผลึกของไคโตซานที่ปรับปรุงด้วยพอลิไวนิลแอลกอฮอล์แลนทานัมและเหล็กบนไคโตซานที่ปรับปรุงด้วยพอลิไวนิลแอลกอฮอล์ ด้วยเทคนิคการวัดค่าการเลี้ยวเบนของรังสีเอ็กซ์ (X-Ray Diffraction)

ตัวดูดซับที่สังเคราะห์จากไคโตซานทั้ง 3 ชนิด จะถูกนำไปศึกษาโครงสร้างผลึกด้วยเครื่อง X-Ray Diffractometer โครงสร้างผลึกของไคโตซานที่ปรับปรุงด้วยพอลิไวนิลแอลกอฮอล์แลนทานัมและเหล็กบนไคโตซานที่ปรับปรุงด้วยพอลิไวนิลแอลกอฮอล์ แสดงดังรูปที่ 4.8 - 4.10 ตามลำดับ

เอกสารนี้เป็นเอกสารที่สงวนไว้สำหรับการใช้งานเพื่อการศึกษาเท่านั้น ไม่อนุญาตให้นำไปใช้ประโยชน์ด้านการค้าไม่ว่ากรณีใดๆทั้งสิ้น อีกทั้งห้ามมิให้ตัดแปลงเนื้อหา และต้องอ้างอิงถึงเจ้าของเอกสารทุกครั้งที่มีการนำไปใช้

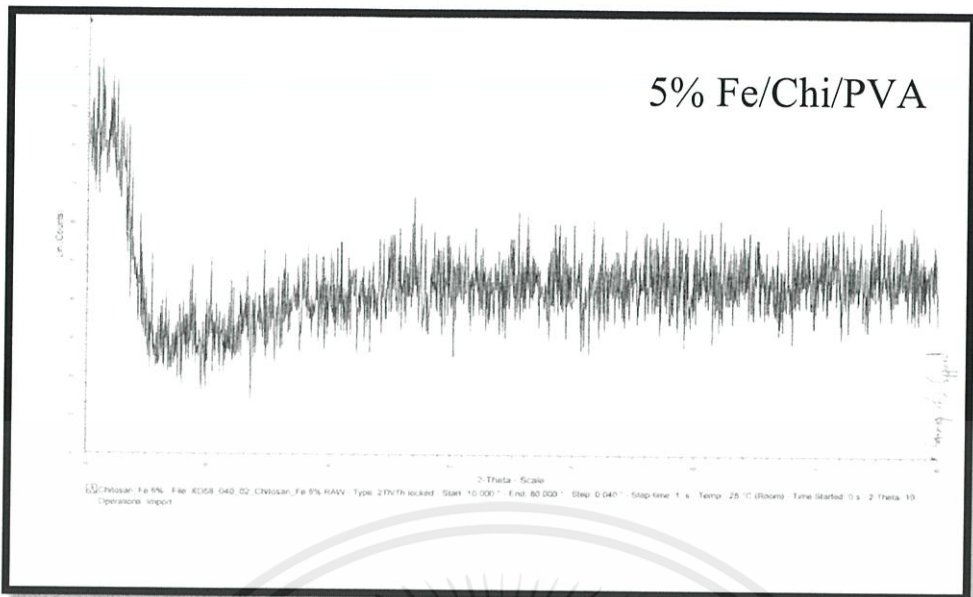


รูปที่ 4.8 รูปแบบการเลี้ยวเบนรังสีเอ็กซ์ของไคโตซานที่ปรับปรุงด้วยพอลิไวนิลแอลกอฮอล์



รูปที่ 4.9 รูปแบบการเลี้ยวเบนรังสีเอ็กซ์ของแลนทานัมบนไคโตซานที่ปรับปรุงด้วยพอลิไวนิลแอลกอฮอล์

เอกสารนี้เป็นเอกสารที่สงวนไว้สำหรับการใช้งานเพื่อการศึกษาเท่านั้น ไม่อนุญาตให้นำไปใช้ประโยชน์ด้านการค้าไม่ว่ากรณีใดๆทั้งสิ้น อีกทั้งห้ามมิให้คัดลอกเนื้อหา และต้องอ้างอิงถึงเจ้าของเอกสารทุกครั้งที่มีการนำไปใช้



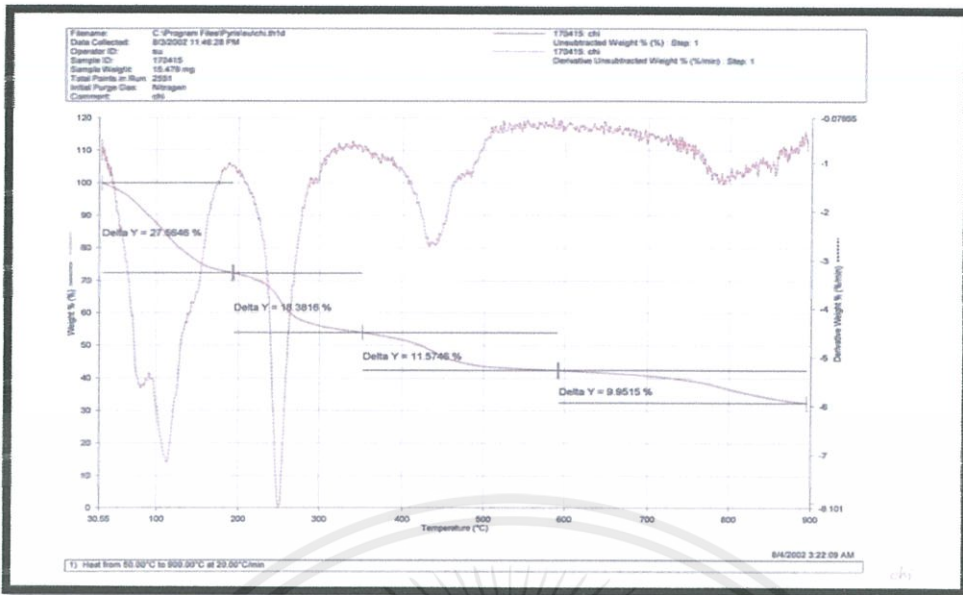
รูปที่ 4.10 รูปแบบการเลี้ยวเบนรังสีเอ็กซ์ของเหล็กบนไคโตซานที่ปรับปรุงด้วยพอลิไวนิลแอลกอฮอล์

จากการเปรียบเทียบรูปที่ 4.8-4.10 จะสังเกตได้ว่าไคโตซานที่ปรับปรุงด้วยพอลิไวนิลแอลกอฮอล์จะมีโครงสร้างเป็นแบบผลึก และเมื่อมีการเติมแลนทานัมและเหล็กลงไปสังเกตได้ว่า La/Chi/PVA และ Fe/Chi/PVA จะมีโครงสร้างที่เป็นแบบอสัณฐาน

4.1.4 การวิเคราะห์การเปลี่ยนแปลงน้ำหนักของไคโตซานที่ปรับปรุงด้วยพอลิไวนิลแอลกอฮอล์ แลนทานัมและเหล็กบนไคโตซานที่ปรับปรุงด้วยพอลิไวนิลแอลกอฮอล์ โดยอาศัยคุณสมบัติทางความร้อน (TGA)

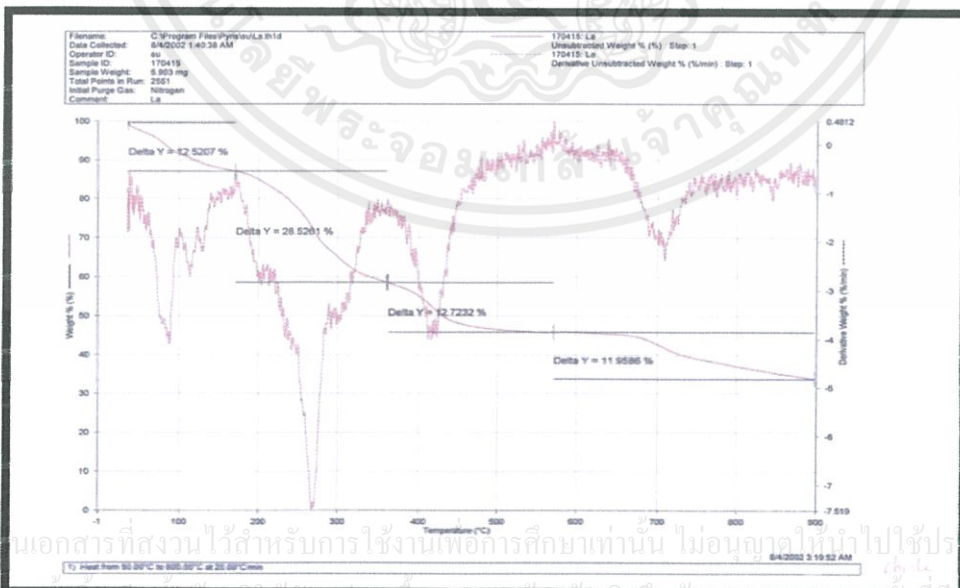
ไคโตซานที่ปรับปรุงด้วยพอลิไวนิลแอลกอฮอล์ แลนทานัมและเหล็กบนไคโตซานที่ปรับปรุงด้วยพอลิไวนิลแอลกอฮอล์ จะถูกนำมาวิเคราะห์การเปลี่ยนแปลงน้ำหนักด้วยเทคนิค Thermogravimetric analysis (TGA) เพื่อตรวจสอบอุณหภูมิการสลายตัวและเปอร์เซ็นต์การสลายตัวขององค์ประกอบต่างๆ ในสารตัวอย่าง เทอร์โมแกรมของตัวอย่างทั้งหมด แสดงดังรูปที่ 4.11-4.13 ตามลำดับ

เอกสารนี้เป็นเอกสารที่สงวนไว้สำหรับการใช้งานเพื่อการศึกษาเท่านั้น ไม่อนุญาตให้นำไปใช้ประโยชน์ด้านการค้า ไม่ว่ากรณีใดๆทั้งสิ้น อีกทั้งห้ามมิให้คัดแปลงเนื้อหา และต้องอ้างอิงถึงเจ้าของเอกสารทุกครั้งที่มีการนำไปใช้

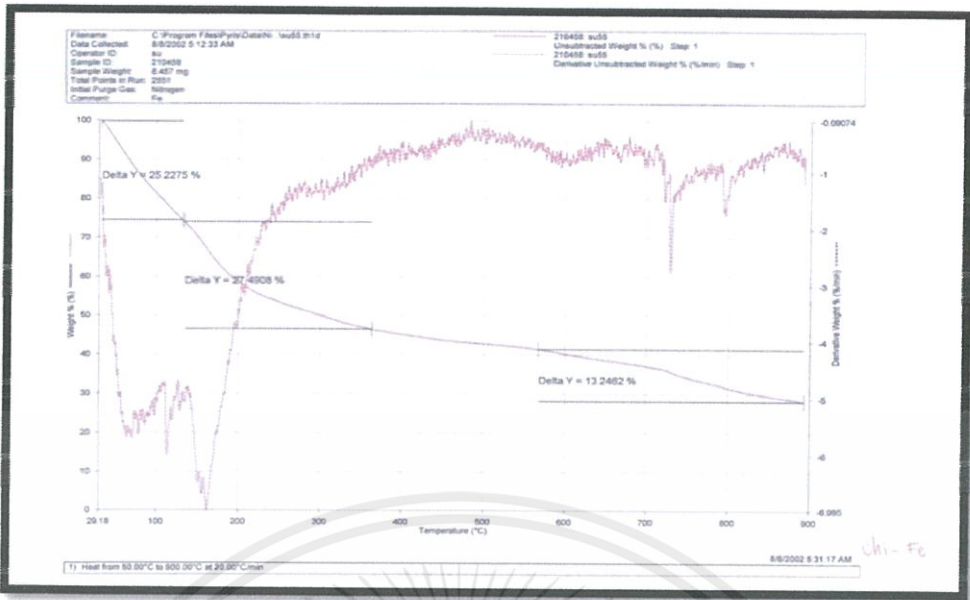


รูปที่ 4.11 เทอร์โมแกรมของไคโตซานที่ปรับปรุงด้วยพอลิไวนิลแอลกอฮอล์

รูปที่ 4.11 แสดงเทอร์โมแกรมของไคโตซานที่ปรับปรุงด้วยพอลิไวนิลแอลกอฮอล์ (Chi/PVA) โดยจะเห็นได้ว่ามีขั้นตอนการสลายตัว 4 ขั้นตอน ในขั้นตอนแรกที่อุณหภูมิ 30-200 องศาเซลเซียส เป็นช่วงที่มีการลดลงของน้ำหนักสารอย่างรวดเร็วและต่อเนื่องสูงถึง 27.6 เปอร์เซ็นต์ แสดงให้เห็นว่าเกิดการสลายตัวของสารอินทรีย์ และสารที่ระเหยได้ เช่น H_2O ขั้นที่สองที่อุณหภูมิ 200-400 องศาเซลเซียส เป็นช่วงที่มีการสลายตัวของพอลิไวนิลแอลกอฮอล์ ขั้นที่สามที่อุณหภูมิ 400-500 องศาเซลเซียส เป็นช่วงที่เกิดการขาดจากกันของ ether linkage ในสายโซ่ของไคโตซาน และขั้นสุดท้ายที่อุณหภูมิ 600 องศาเซลเซียสขึ้นไปเป็นการสลายตัวด้วยความร้อนของ glucosamines ซึ่งเป็นมอนอเมอร์ของไคโตซาน [20]



รูปที่ 4.12 เทอร์โมแกรมของแลนทานัมบนไคโตซานที่ปรับปรุงด้วยพอลิไวนิลแอลกอฮอล์



รูปที่ 4.13 เทอร์โมแกรมของเหล็กบนโคโตซานที่ปรับปรุงด้วยพอลิไวนิลแอลกอฮอล์

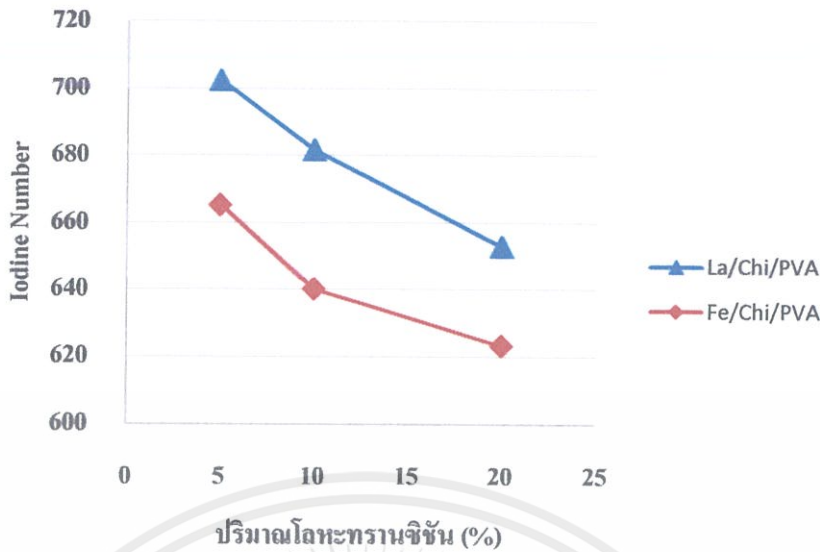
รูปที่ 4.12 และ 4.13 แสดงเทอร์โมแกรมของ La/Chi/PVA และ Fe/Chi/PVA ตามลำดับ สำหรับเทอร์โมแกรมของ La/Chi/PVA มีลักษณะคล้ายคลึงกับ Chi/PVA นั่นคือมีการสลายตัวเป็น 4 ขั้นตอน แต่อุณหภูมิเริ่มการสลายตัวในแต่ละขั้นตอนของ La/Chi/PVA จะต่ำกว่าของ Chi/PVA ตัวอย่างเช่น ในขั้นที่สอง ซึ่งเป็นการสลายตัวของ PVA สำหรับ Chi/PVA จะเริ่มสลายตัวที่ 200 องศาเซลเซียส แต่ La/Chi/PVA อุณหภูมิเริ่มสลายตัวจะต่ำกว่าคือประมาณ 180 องศาเซลเซียส ซึ่งการเติมแลนทานัมเข้าไปใน Chi/PVA จะทำให้โครงสร้างของตัวดูดซับมีความเป็นอสัณฐานมากขึ้น อุณหภูมิเริ่มต้นการสลายตัวจึงต่ำกว่าโครงสร้างที่เป็นผลึก

สำหรับเทอร์โมแกรม Fe/Chi/PVA มีการสลายตัวเป็น 3 ขั้นตอน ช่วงแรกเป็นการสลายตัวของน้ำและสารอินทรีย์ ที่ช่วงอุณหภูมิ 30-140 องศาเซลเซียส ช่วงที่สองเป็นการสลายตัวของพอลิไวนิลแอลกอฮอล์ ที่ช่วงอุณหภูมิ 140-360 องศาเซลเซียส ซึ่งจะเห็นได้ว่าอุณหภูมิเริ่มการสลายตัวในขั้นนี้ต่ำกว่าของ Chi/PVA ขั้นที่สามเป็นการขาดของ ether linkage ในสายโซ่โคโตซาน พร้อมกับการสลายตัวด้วยความร้อนของ glucosamines

4.1.5 การหาเลขไอโอดีน (Iodine Number)

เลขไอโอดีน เป็นค่าที่ใช้บอกความพรุนของอนุภาคของตัวดูดซับ หรือพื้นที่ผิวรวม (Total Surface Area, TSA) โดยมีหลักการคือหาปริมาณไอโอดีนที่ถูกดูดซับบนพื้นผิวของตัวดูดซับ ซึ่งเลขไอโอดีนจะแปรผันตรงกับพื้นที่ผิวรวมของตัวดูดซับ แสดงดังรูปที่ 4.14

เอกสารนี้เป็นเอกสารที่สงวนไว้สำหรับการใช้งานเพื่อการศึกษาเท่านั้น ไม่อนุญาตให้นำไปใช้ประโยชน์ด้านการค้า ไม่ว่ากรณีใดๆทั้งสิ้น อีกทั้งห้ามมิให้ตัดแปลงเนื้อหา และต้องอ้างอิงถึงเจ้าของเอกสารทุกครั้งที่มีการนำไปใช้



รูปที่ 4.14 เลขไอโอดีนของตัวดูดซับ La/Chi/PVA และ Fe/Chi/PVA ที่ปริมาณไอโอดีนต่างกัน

จากรูปที่ 4.14 เมื่อนำตัวดูดซับ La/Chi/PVA และ Fe/Chi/PVA มาวิเคราะห์หาเลขไอโอดีนพบว่า เมื่อปริมาณไอโอดีนเพิ่มขึ้นส่งผลให้ค่าเลขไอโอดีนมีแนวโน้มลดลง โดยตัวดูดซับ La/Chi/PVA จะมีค่าเลขไอโอดีนมากกว่าตัวดูดซับ Fe/Chi/PVA ดังนั้นพื้นที่ผิวของตัวดูดซับ La/Chi/PVA จึงมากกว่าของ Fe/Chi/PVA โดย 5% La/Chi/PVA มีพื้นที่ผิวสูงสุด

4.2 การศึกษาประสิทธิภาพการดูดซับโครเมียม (VI) ในน้ำเสียสังเคราะห์โดยโคโคซานที่ปรับปรุงด้วยพอลิไวนิลแอลกอฮอล์ แลนทานัมและเหล็กบนโคโคซานที่ปรับปรุงด้วยพอลิไวนิลแอลกอฮอล์

เนื่องจากโคโคซานมีสมบัติเป็นตัวดูดซับที่ดี มีพื้นที่ผิวสูง แต่มีข้อเสียคือมีสมบัติเชิงกลที่ต่ำ มักจะเปื่อยยุ่ยได้ง่ายเมื่ออยู่ในสารละลาย ดังนั้นในงานวิจัยนี้จึงมีการปรับปรุงสมบัติเชิงกลของโคโคซานให้ดีขึ้นโดยการเชื่อมโยงกับพอลิไวนิลแอลกอฮอล์ นอกจากนั้นยังได้ปรับปรุงคุณสมบัติในการดูดซับให้ดีขึ้น โดยการนำแลนทานัมไอออน (La^{3+}) และเหล็กไอออน (Fe^{3+}) เข้าไปเกิดสารประกอบเชิงซ้อนกับหมู่อะมิโนของโคโคซาน เพื่อศึกษาประสิทธิภาพในการดูดซับโครเมียม (VI) ในน้ำเสียสังเคราะห์ ในการทดลองนี้จะทำการศึกษาผลของชนิดของตัวดูดซับ ผลของปริมาณแลนทานัมและเหล็กในโคโคซาน ผลของเวลาในการดูดซับ ผลของอุณหภูมิ ผลของไอออนร่วม และผลของความเข้มข้นเริ่มต้นโครเมียม (VI) ที่มีต่อเปอร์เซ็นต์ในการดูดซับโครเมียม (VI)

4.2.1 ผลของปริมาณแลนทานัมและเหล็กในโคโคซานที่ปรับปรุงด้วยพอลิไวนิล

แอลกอฮอล์ที่มีผลต่อประสิทธิภาพในการดูดซับโครเมียม (VI)

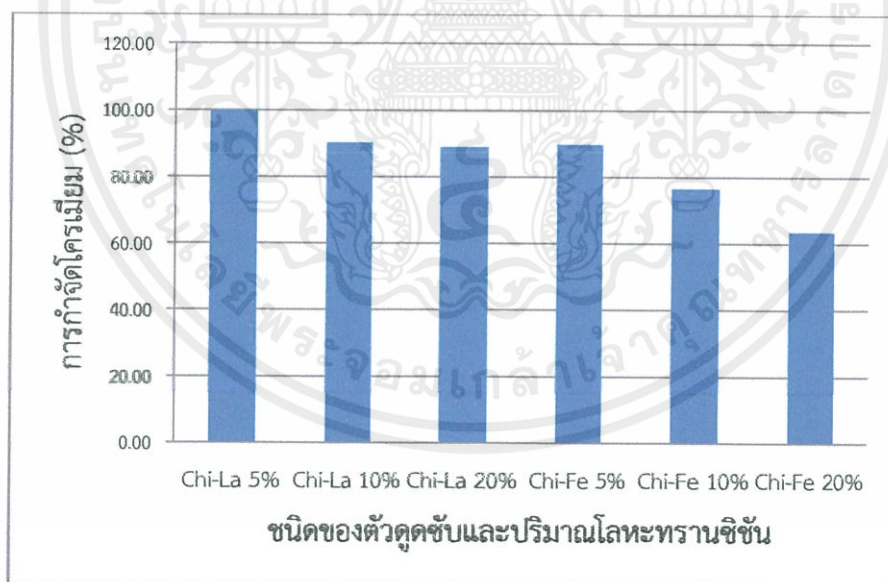
ในการศึกษาผลของปริมาณแลนทานัมและเหล็กในโคโคซานที่ปรับปรุงด้วยพอลิไวนิลแอลกอฮอล์ ทำโดยใช้สารละลายโครเมียม (VI) ที่มีความเข้มข้นเริ่มต้น 50 mg/L ปริมาตร 50 มิลลิลิตร pH เท่ากับ 3 ปริมาณตัวดูดซับ 0.5 กรัม โดยตัวดูดซับที่ทำการศึกษาคือ La/Chi/PVA และ

Fe/Chi/PVA ที่มีปริมาณ La และ Fe 5%, 10% และ 20% ทำการดูดซับที่อุณหภูมิห้อง ความเข้มข้นคงเหลือของโครเมียม (VI) และเปอร์เซ็นต์การดูดซับโครเมียม (VI) แสดงดังตารางที่ 4.1

ตารางที่ 4.1 ผลของปริมาณแลนทานัมและเหล็กไนโคโตซานที่ปรับปรุงด้วยพอลิไวนิลแอลกอฮอล์ ที่มีต่อเปอร์เซ็นต์การดูดซับที่ความเข้มข้นโครเมียม (VI) เริ่มต้น 50 mg/L

ชนิดของตัวดูดซับ	ปริมาณโลหะทรานซิซัน (%)	ความเข้มข้นโครเมียมที่เหลืออยู่ (mg/L)	การดูดซับโครเมียม (%)
La/Chi/PVA	5	0.0522	99.90
	10	4.860	90.28
	20	5.515	88.97
Fe/Chi/PVA	5	5.056	89.89
	10	11.70	76.60
	20	18.23	63.55

นำผลการทดลองในตารางที่ 4.1 มาเขียนกราฟแสดงความสัมพันธ์ระหว่างเปอร์เซ็นต์การกำจัดโครเมียม (VI) กับปริมาณโลหะทรานซิซัน (La หรือ Fe) ในตัวดูดซับ แสดงดังรูปที่ 4.15



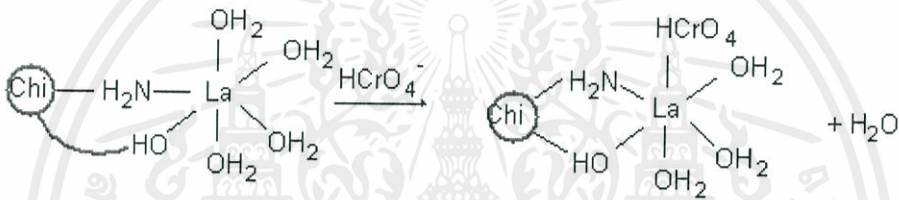
รูปที่ 4.15 ผลของชนิดของตัวดูดซับและปริมาณโลหะทรานซิซันที่มีต่อการดูดซับโครเมียม (VI) ที่ความเข้มข้นเริ่มต้น 50 mg/L

เอกสารนี้เป็นจากรูปที่ 4.15 จะเห็นได้ว่าตัวดูดซับ La/Chi/PVA ที่มีปริมาณ La 5% ให้เปอร์เซ็นต์การกำจัดโครเมียม (VI) สูงกว่าที่ปริมาณ La 10% และ 20% โดย 5% La/Chi/PVA สามารถกำจัดโครเมียม (VI) ได้ถึง 99.90% เมื่อความเข้มข้นเริ่มต้นของโครเมียม (VI) เป็น 50 mg/L สำหรับ

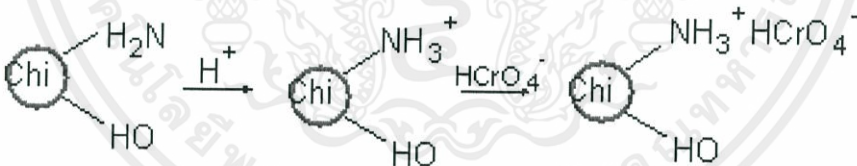
ตัวดูดซับ Fe/Chi/PVA ก็ให้ผลการทดลองเช่นเดียวกับ La/Chi/PVA นั่นคือที่ปริมาณ Fe 5% สามารถกำจัดโครเมียม (VI) ได้สูงกว่าที่ปริมาณ Fe 10% และ 20% โดยกำจัดได้ถึง 89.89%

การที่ La/Chi/PVA ซึ่งมีปริมาณ La 5% ให้เปอร์เซ็นต์การกำจัดโครเมียม (VI) สูงสุด อาจเป็นเพราะ 5% La/Chi/PVA มีพื้นที่ผิวมากกว่า 10% La/Chi/PVA และ 20% La/Chi/PVA ซึ่งจะเห็นได้จากภาพถ่าย SEM ในรูปที่ 4.7 ยิ่งเพิ่มปริมาณแลนทานัมมากขึ้น พื้นที่ผิวของ Chi/PVA ก็จะมีหน้าตัวขึ้น อาจทำให้พื้นที่ผิวสำหรับการดูดซับโครเมียม (VI) ลดลง สำหรับการดูดซับ 5% Fe/Chi/PVA ก็สามารถอธิบายได้ในทำนองเดียวกัน

ลักษณะกลไกการดูดซับที่เกิดขึ้น คาดว่าน่าจะเป็นการแทนที่ลิแกนด์ สำหรับตัวดูดซับ La/Chi/PVA นั้น La^{3+} จะเกิดสารประกอบเชิงซ้อนกับหมู่ $-\text{NH}_2$ และ $-\text{OH}$ ของไคโตซาน นอกจากนั้นก็จะมิโมเลกุลของน้ำ (H_2O) ซึ่งจัดว่าเป็นลิแกนด์ชนิดเข้ามาสร้างพันธะกับ La^{3+} ด้วย (รูปที่ 4.6 (ข)) ในสภาวะของการดูดซับที่ pH 3 โครเมียม (VI) จะอยู่ในรูปของ HCrO_4^- [19] ซึ่งสามารถเข้าแทนที่ H_2O และเกิดแรงดึงดูดระหว่าง La^{3+} กับ HCrO_4^- ได้ ดังกลไกการดูดซับข้างล่างนี้



นอกจากนั้นการดูดซับโครเมียม (VI) อาจเกิดจากหมู่อะมิโนของไคโตซานที่ไม่ได้เกิดสารประกอบเชิงซ้อนกับ La^{3+} จะถูกโปรโตเนต (protonated) ในสภาวะกรดกลายเป็น NH_3^+ ซึ่งสามารถดูดซับกับ HCrO_4^- ด้วยแรงดึงดูดทางไฟฟ้า ดังกลไกการดูดซับข้างล่างนี้



สำหรับการดูดซับโครเมียม (VI) ด้วยตัวดูดซับ Fe/Chi/PVA ก็สามารถอธิบายได้ในทำนองเดียวกัน

การที่ La/Chi/PVA สามารถดูดซับโครเมียม (VI) ได้มากกว่า Fe/Chi/PVA อาจเนื่องมาจาก La^{3+} เป็นไอออนที่มีขนาดใหญ่กว่า Fe^{3+} เมื่อ La^{3+} เกิดพันธะโคออร์ดิเนตโคเวเลนต์กับลิแกนด์แล้ว พันธะที่เกิดขึ้นจะไม่ค่อยเสถียร ดังนั้น HCrO_4^- จึงเข้าแทนที่ลิแกนด์เดิมที่ล้อมรอบ La^{3+} ได้ง่าย ขณะที่ Fe^{3+} มีขนาดไอออนที่เล็กกว่า จึงเกิดพันธะกับลิแกนด์ที่แข็งแรง HCrO_4^- จึงเข้าแทนที่ได้ยาก

เอกสารนี้เป็นเอกสารที่สงวนไว้สำหรับการใช้งานเพื่อการศึกษาเท่านั้น ไม่อนุญาตให้นำไปใช้ประโยชน์ด้านการค้า ไม่ว่ากรณีใดๆทั้งสิ้น อีกทั้งห้ามมิให้ตัดแปลงเนื้อหา และต้องอ้างอิงถึงเจ้าของเอกสารทุกครั้งที่มีการนำไปใช้

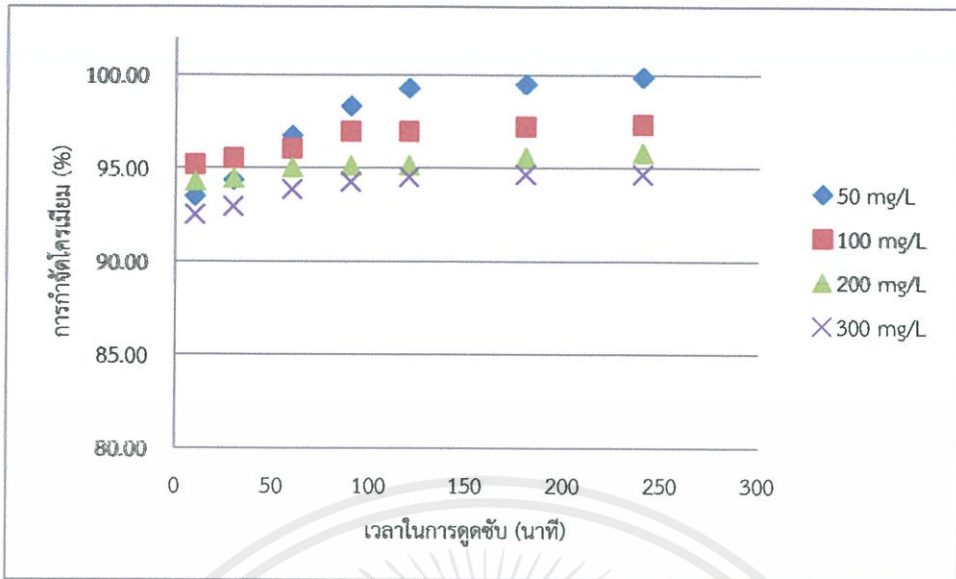
4.2.2 ผลของเวลาและความเข้มข้นเริ่มต้นโครเมียม (VI) ที่มีต่อประสิทธิภาพในการดูดซับโครเมียม (VI)

ในการศึกษาผลของความเข้มข้นความเข้มข้นเริ่มต้นโครเมียม (VI) ในการดูดซับ ทำโดยใช้สารละลายโครเมียม (VI) ที่มีความเข้มข้นเริ่มต้น 50, 100, 200 และ 300 mg/L ปริมาตร 50 มิลลิลิตร pH เท่ากับ 3 ใช้ปริมาณตัวดูดซับ 0.5 กรัม โดยใช้ตัวดูดซับที่ให้เปอร์เซ็นต์การกำจัดโครเมียม (VI) สูงสุด จากตัวอย่าง 4.2.1 นั่นคือ 5% La/Chi/PVA และ 5% Fe/Chi/PVA ทำการดูดซับด้วยที่อุณหภูมิห้อง ที่ระยะเวลาในการดูดซับตั้งแต่ 10 ถึง 240 นาที ผลการทดลองแสดงดังตารางที่ 4.2

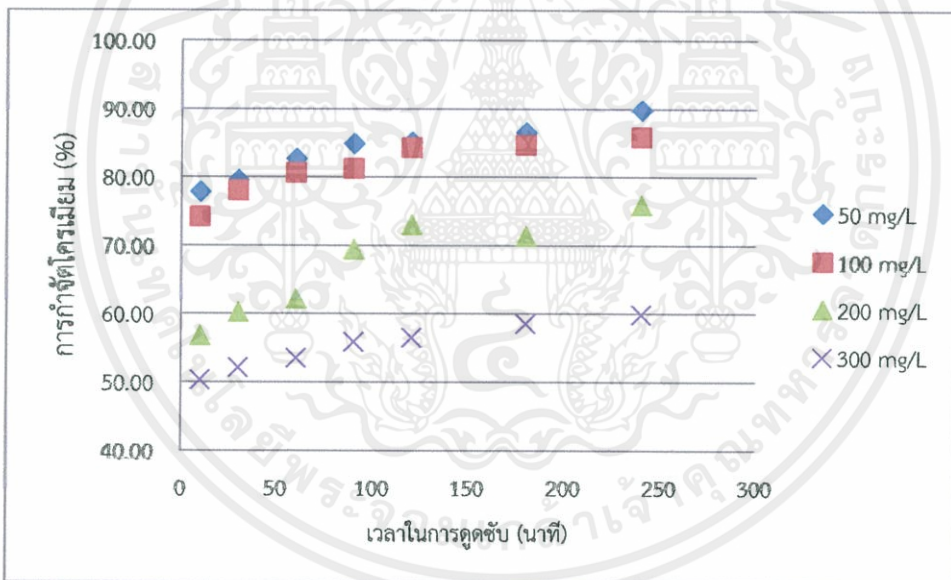
ตารางที่ 4.2 ผลของเวลาและความเข้มข้นในการดูดซับโครเมียมด้วย 5% La/Chi/PVA และ 5% Fe/Chi/PVA

ชนิดของตัวดูดซับ	เวลา (นาที)	ความเข้มข้นโครเมียมที่เหลืออยู่ (mg/L)				การดูดซับโครเมียม(%)			
		50	100	200	300	50	100	200	300
5% La/Chi/PVA	10	3.254	7.458	9.682	17.09	93.49	92.54	95.16	94.30
	30	2.813	7.051	8.978	16.60	94.37	92.95	95.51	94.47
	60	1.631	6.111	7.937	14.87	96.74	93.89	96.03	95.04
	90	0.8360	5.713	6.111	14.56	98.33	94.29	96.94	95.15
	120	0.3520	5.449	6.111	14.49	99.30	94.55	96.94	95.17
	180	0.2320	5.318	5.581	13.19	99.54	94.68	97.21	95.60
	240	0.0522	5.318	5.383	12.52	99.90	94.68	97.31	95.83
5% Fe/Chi/PVA	10	11.05	25.78	86.13	148.7	93.49	74.22	56.94	50.44
	30	10.18	21.88	79.27	143.3	94.37	78.12	60.36	52.23
	60	8.629	19.31	75.34	139.1	96.74	80.69	62.33	53.64
	90	7.527	18.72	60.82	132.0	98.33	81.28	69.59	55.99
	120	7.390	15.65	53.67	130.257	99.30	84.35	73.17	56.58
	180	6.713	15.261	56.969	124.174	99.54	84.74	71.52	58.61
	240	5.056	14.101	47.854	120.123	99.90	85.90	76.07	59.96

นำผลการทดลองในตารางที่ 4.2 มาเขียนกราฟแสดงความสัมพันธ์ระหว่างเปอร์เซ็นต์การกำจัดโครเมียมกับเวลาในการดูดซับที่ความเข้มข้นเริ่มต้นโครเมียม (VI) 50, 100, 200 และ 300 mg/L ดังรูปที่ 4.16 และ 4.17 สำหรับตัวดูดซับ 5% La/Chi/PVA และ 5% Fe/Chi/PVA ตามลำดับ



รูปที่ 4.16 ผลของเวลาและความเข้มข้นเริ่มต้นโครเมียม (VI) ที่มีต่อเปอร์เซ็นต์การดูดซับโครเมียม (VI) โดยใช้ตัวดูดซับ 5% La/Chi/PVA



รูปที่ 4.17 ผลของเวลาและความเข้มข้นเริ่มต้นโครเมียม (VI) ที่มีต่อเปอร์เซ็นต์การดูดซับโครเมียม (VI) โดยใช้ตัวดูดซับ 5% Fe/Chi/PVA

จากรูปที่ 4.16 และ 4.17 จะเห็นได้ว่าการดูดซับโครเมียม (VI) ด้วย 5% La/Chi/PVA และ 5% Fe/Chi/PVA ประสิทธิภาพในการกำจัดจะเพิ่มขึ้นตามเวลาในการดูดซับ โดยในช่วง 60 นาทีแรก ความเข้มข้นของโครเมียม (VI) ในสารละลายจะลดลงอย่างรวดเร็ว ซึ่งทำให้เปอร์เซ็นต์การกำจัดโครเมียม (VI) เพิ่มขึ้นอย่างรวดเร็วด้วย หลังจากนั้นความเข้มข้นของโครเมียม (VI) ในสารละลายจะลดลงอย่างช้าๆ และเริ่มคงที่ ทำให้เปอร์เซ็นต์การกำจัดโครเมียม (VI) คงที่ด้วย เมื่อเปรียบเทียบเปอร์เซ็นต์การกำจัดโครเมียม (VI) ที่ความเข้มข้นเริ่มต้นของโครเมียม (VI) จะเห็นได้ว่าที่ความเข้มข้น 50 mg/L โครเมียม (VI) จะถูกกำจัดได้มากกว่าที่ความเข้มข้นอื่นๆ ที่สูงกว่า (100, 200 และ 300

mg/L) เนื่องจากตัวดูดซับที่ใช้ในการกำจัดโครเมียม (VI) มีปริมาณคงที่ 0.5 กรัม จึงทำให้มีพื้นที่ผิวและตำแหน่งที่ว่องไวต่อการดูดซับที่จำกัด เมื่อสารละลายมีโครเมียม (VI) ในปริมาณน้อย จึงสามารถดูดซับกับตัวดูดซับได้เกือบทั้งหมด แต่เมื่อสารละลายมีโครเมียม (VI) ในปริมาณมากขึ้น ตำแหน่งว่องไวในการดูดซับก็จะไม่เพียงพอ ทำให้เหลือความเข้มข้นโครเมียม (VI) ในสารละลายมากขึ้น เเปอร์เซ็นต์การดูดซับจึงลดลง โดยจากรูปที่ 4.16 และ 4.17 ทั้งตัวดูดซับ 5% La/Chi/PVA และ 5% Fe/Chi/PVA สามารถกำจัดโครเมียม (VI) ได้มากที่สุดที่ความเข้มข้นโครเมียม (VI) เริ่มต้น 50 mg/L ซึ่งจากข้อมูลระหว่างความเข้มข้นโครเมียม (VI) ที่เหลืออยู่กับการดูดซับจะนำไปศึกษาไอโซเทอมการดูดซับต่อไป

4.2.3 ผลของอุณหภูมิที่มีต่อประสิทธิภาพในการดูดซับโครเมียมด้วย 10% Fe/Chi/PVA

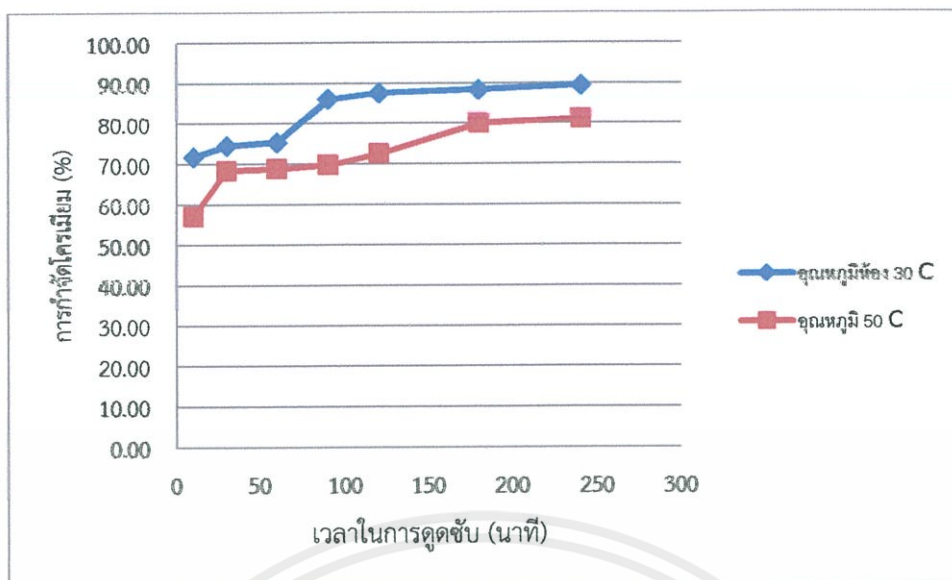
ในการศึกษาผลของอุณหภูมิในการดูดซับ ทำโดยใช้สารละลายโครเมียมที่มีความเข้มข้นเริ่มต้น 50 mg/L ปริมาตร 50 มิลลิลิตร pH เท่ากับ 3 ปริมาณตัวดูดซับ 10%Fe/Chi/PVA 0.5 กรัม โดยทำการดูดซับที่อุณหภูมิห้อง (30°C) และ 50°C ที่ระยะเวลาในการดูดซับตั้งแต่ 10 ถึง 240 นาที หาความเข้มข้นโครเมียม (VI) ที่เหลืออยู่ และเปอร์เซ็นต์การดูดซับและเปอร์เซ็นต์การดูดซับแสดงดังตารางที่ 4.3

ตารางที่ 4.3 ผลของอุณหภูมิในการดูดซับโครเมียมด้วย 10% Fe/Chi/PVA ที่ความเข้มข้นโครเมียม (VI) เริ่มต้น 50 mg/L

ชนิดของตัวดูดซับ	เวลา (นาที)	ความเข้มข้นโครเมียมที่เหลืออยู่ (mg/L)		การดูดซับโครเมียม (%)	
		อุณหภูมิห้อง (30°C)	50°C	อุณหภูมิห้อง (30°C)	50°C
10% Fe /Chi/ PVA	10	14.10	21.44	71.80	57.11
	30	12.74	15.81	74.52	68.38
	60	12.29	15.57	75.42	68.85
	90	6.916	15.10	86.17	69.79
	120	6.178	13.72	87.64	72.56
	180	5.779	9.966	88.44	80.07
	240	5.252	9.399	89.50	81.20

นำผลการทดลองในตาราง 4.3 มาเขียนกราฟแสดงความสัมพันธ์ระหว่างเปอร์เซ็นต์การดูดซับโครเมียม (VI) กับเวลาในการดูดซับ โดยเปรียบเทียบระหว่างอุณหภูมิห้องและอุณหภูมิ 50°C แสดงดังรูปที่ 4.18

เอกสารนี้เป็นเอกสารที่สงวนไว้สำหรับการใช้งานเพื่อการศึกษาเท่านั้น ไม่อนุญาตให้นำไปใช้ประโยชน์ด้านการค้าไม่ว่ากรณีใดๆทั้งสิ้น อีกทั้งห้ามมิให้คัดลอกเนื้อหา และต้องอ้างอิงถึงเจ้าของเอกสารทุกครั้งที่มีการนำไปใช้



รูปที่ 4.18 ผลของอุณหภูมิที่มีต่อการดูดซับโครเมียมที่ความเข้มข้นเริ่มต้น 50 mg/L โดย 10% Fe/Chi/PVA

จากรูปที่ 4.18 จะเห็นว่าในการดูดซับโครเมียม (VI) ด้วย 10% Fe/Chi/PVA ที่อุณหภูมิห้องสามารถกำจัดโครเมียม (VI) ได้มากกว่า 10% Fe/Chi/PVA ที่อุณหภูมิ 50°C โดยการที่อุณหภูมิห้องสามารถกำจัดโครเมียม (VI) ได้สูงสุด 89.50 % ส่วนที่อุณหภูมิ 50°C กำจัดโครเมียม (VI) ได้ 81.20 % เมื่ออุณหภูมิสูงขึ้นโมเลกุลของโครเมียมไอออน (HCrO_4) ก็จะมีพลังงานจลน์สูงขึ้น ซึ่งอาจจะเข้าไปแทนที่ลิแกนด์ที่สร้างพันธะ Fe^{3+} ได้ยากขึ้น ดังนั้นที่อุณหภูมิสูงจึงเป็นสภาวะที่กำจัดโครเมียม (VI) ได้น้อยกว่าที่อุณหภูมิต่ำ

4.2.4 ผลของไอออนรบกวนที่มีต่อประสิทธิภาพในการดูดซับโครเมียม (VI) ด้วย 10% Fe/Chi/PVA

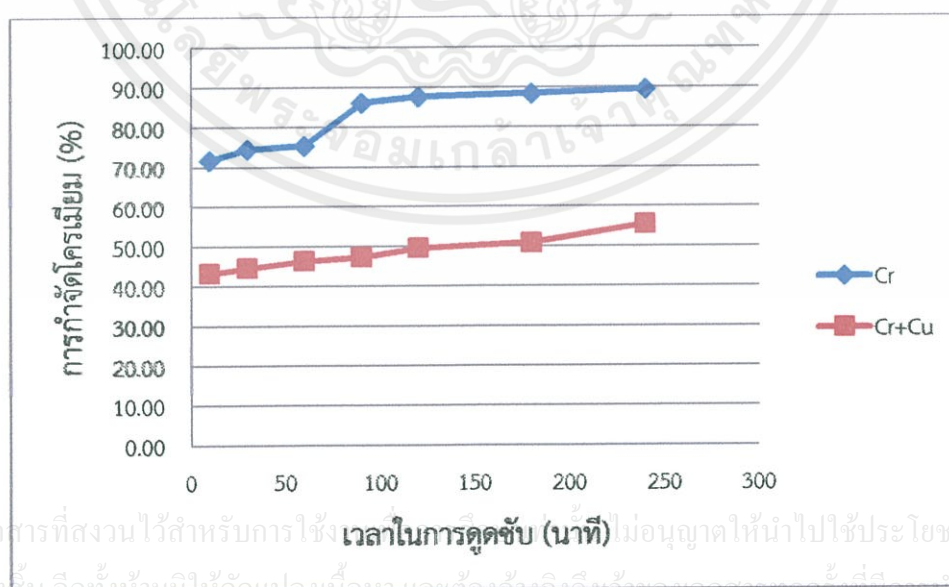
ในการศึกษาผลของไอออนรบกวนในการดูดซับ ทำโดยใช้สารละลายโครเมียม (VI) ที่มีความเข้มข้นเริ่มต้น 50 mg/L ปริมาตร 50 มิลลิลิตร ผสมกับสารละลายคอปเปอร์ที่มีความเข้มข้นและปริมาตรเท่ากัน ค่า pH เท่ากับ 3 ใช้ปริมาณตัวดูดซับ 10% Fe/Chi/PVA 0.5 กรัม โดยทำการดูดซับที่อุณหภูมิห้องที่ระยะเวลาในการดูดซับตั้งแต่ 10 ถึง 240 นาที ปริมาณโครเมียม (VI) ที่เหลืออยู่และเปอร์เซ็นต์การกำจัดโครเมียม (VI) แสดงดังตารางที่ 4.4

เอกสารนี้เป็นเอกสารที่สงวนไว้สำหรับการใช้งานเพื่อการศึกษาเท่านั้น ไม่อนุญาตให้นำไปใช้ประโยชน์ด้านการค้า ไม่ว่ากรณีใดๆทั้งสิ้น อีกทั้งห้ามมิให้คัดลอกเนื้อหา และต้องอ้างอิงถึงเจ้าของเอกสารทุกครั้งที่มีการนำไปใช้

ตารางที่ 4.4 ผลของไอออนรบกวน (Cu^{2+}) ในการดูดซับโครเมียม (VI) ด้วย 10% Fe/Chi/PVA ที่ความเข้มข้นเริ่มต้นโครเมียม (VI) เท่ากับ 50 mg/L

ชนิดของตัวดูดซับ	เวลา (นาที)	ความเข้มข้นโครเมียมที่เหลืออยู่ (mg/L)		การดูดซับโครเมียม (%)	
		ไม่มีไอออนรบกวน	มีไอออนรบกวน (Cu^{2+})	ไม่มีไอออนรบกวน	มีไอออนรบกวน (Cu^{2+})
10% Chi/Fe/PVA	10	14.10	28.37	71.80	43.25
	30	12.74	27.69	74.52	44.62
	60	12.29	26.82	75.42	46.35
	90	6.916	26.35	86.17	47.31
	120	6.178	25.22	87.64	49.56
	180	5.779	24.57	88.44	50.85
	240	5.252	22.23	89.50	55.54

นำผลการทดลองในตาราง 4.4 มาเขียนกราฟแสดงความสัมพันธ์ระหว่างร้อยละการกำจัดโครเมียม (VI) กับเวลาในการดูดซับโครเมียมด้วย 10% Fe/Chi/PVA ที่ความเข้มข้นเริ่มต้น 50 mg/L โดยเปรียบเทียบระหว่างสารละลายโครเมียม (VI) อย่างเดียว (ไม่มีไอออนรบกวน) และสารละลายโครเมียม (VI) ผสมคอปเปอร์ (Cu^{2+}) มีไอออนรบกวน แสดงดังรูป 4.19



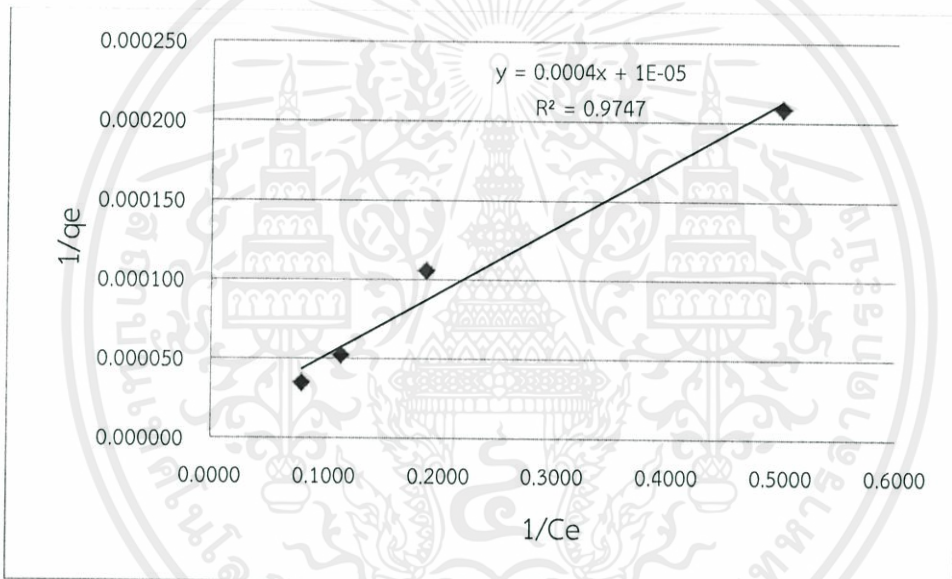
รูปที่ 4.19 ผลของตัวรบกวนที่มีต่อการดูดซับโครเมียมที่ความเข้มข้นเริ่มต้น 50 mg/L โดย 10% Fe/Chi/PVA

เอกสารนี้เป็นเอกสารที่สงวนไว้สำหรับการใช้งานเฉพาะเท่านั้น ไม่อนุญาตให้นำไปใช้ประโยชน์ด้านการค้า
ไม่ว่ากรณีใดๆทั้งสิ้น หากท่านมีข้อสงสัยหรือต้องการข้อมูลเพิ่มเติม กรุณาติดต่อฝ่ายวิชาการ

จากรูปที่ 4.19 จะเห็นได้ว่าเมื่อมีไอออนของคอปเปอร์ ผสมอยู่ในสารละลายโครเมียม (VI) จะทำให้เปอร์เซ็นต์การกำจัดโครเมียม (VI) ลดลงจาก 89.90 % เป็น 55.54 % ที่เวลา 240 นาที เนื่องจากที่ pH 3 โครเมียมในสารละลายจะอยู่ในรูป HCrO_4^- ซึ่งมีประจุลบขณะที่ในสารละลายมี Cu^{2+} ร่วมอยู่ด้วย ดังนั้น Cu^{2+} อาจขัดขวางการเคลื่อนที่ของ HCrO_4^- ไปยังตำแหน่งว่องไวต่อการดูดซับ โดยอาจเกิดแรงดึงดูดทางประจุไฟฟ้าระหว่าง Cu^{2+} และ HCrO_4^- ขึ้น ด้วยเหตุนี้จึงทำให้เปอร์เซ็นต์การกำจัดโครเมียม (VI) ลดลง

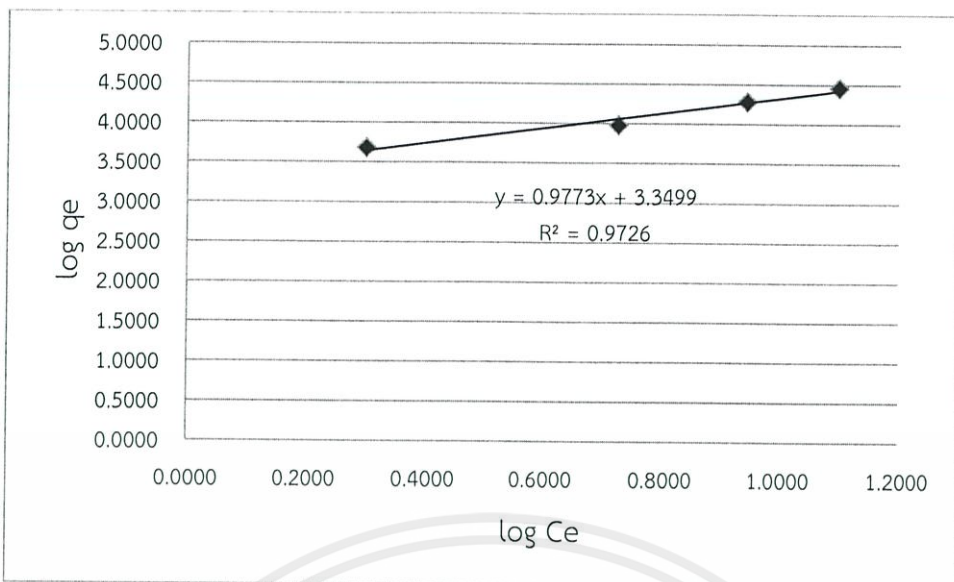
4.3 ไอโซเทอมการดูดซับ

ในการศึกษาไอโซเทอมการดูดซับ ทำได้โดยใช้ตัวดูดซับที่มีความเข้มข้น 5% La/Chi/PVA และ 5% Fe/Chi/PVA ซึ่งมีประสิทธิภาพในการดูดซับที่ดีที่สุดมาทำการดูดซับโครเมียม (VI) ที่มีความเข้มข้นและเวลาต่างๆ จากนั้นนำข้อมูลที่สภาวะสมดุลมาหาไอโซเทอมการดูดซับว่าสอดคล้องกับไอโซเทอมแบบแลงเมียร์หรือแบบฟรุนดิช ได้ผลการทดลองแสดงดังรูปที่ 4.20 - 4.23



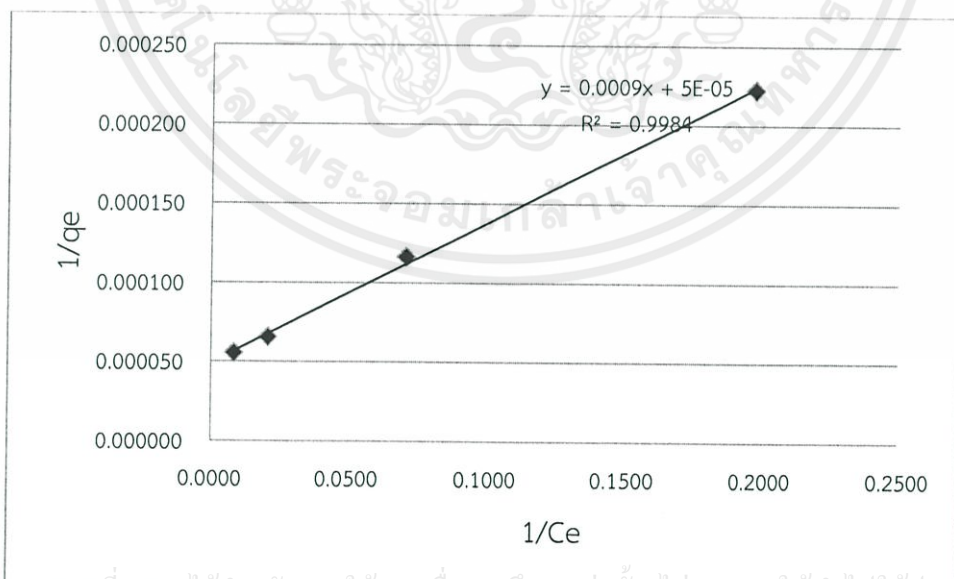
รูปที่ 4.20 แสดงความสัมพันธ์ระหว่าง $1/q_e$ และ $1/C_e$ ตามไอโซเทอมแบบแลงเมียร์ สำหรับการดูดซับโครเมียม (VI) ด้วย 5% La/Chi/PVA

เอกสารนี้เป็นเอกสารที่สงวนไว้สำหรับการใช้งานเพื่อการศึกษาเท่านั้น ไม่อนุญาตให้นำไปใช้ประโยชน์ด้านการค้า ไม่ว่ากรณีใดๆทั้งสิ้น อีกทั้งห้ามมิให้คัดลอกเนื้อหา และต้องอ้างอิงถึงเจ้าของเอกสารทุกครั้งที่มีการนำไปใช้

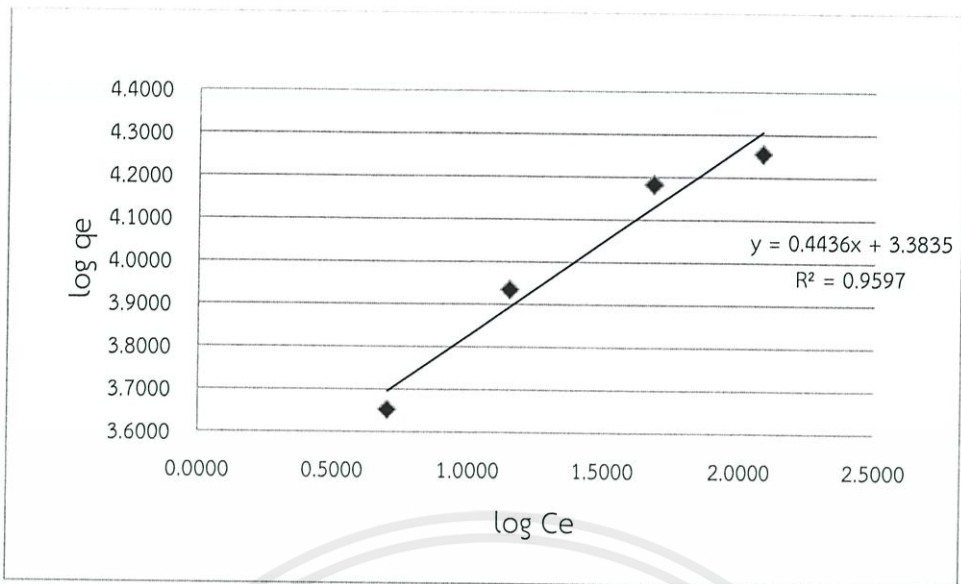


รูปที่ 4.21 แสดงความสัมพันธ์ระหว่าง $\log q_e$ และ $\log C_e$ ตามไอโซเทอมแบบฟรุนดิช สำหรับการดูดซับโครเมียม (VI) ด้วย 5% La/Chi/PVA

จากรูปที่ 4.20 และ 4.21 แสดงการเปรียบเทียบไอโซเทอมแบบแลงเมียร์และไอโซเทอมแบบฟรุนดิชของการดูดซับโครเมียม (VI) โดยใช้ตัวดูดซับเข้มข้น 5% La/Chi/PVA ซึ่งความสัมพันธ์แบบแลงเมียร์จะได้สมการเส้นตรงที่มีค่าสัมประสิทธิ์สหสัมพันธ์ (correlation coefficient, R^2) เท่ากับ 0.9747 สำหรับความสัมพันธ์แบบฟรุนดิชจะได้สมการเส้นตรงที่มีค่าสัมประสิทธิ์สหสัมพันธ์ 0.9726 ซึ่งพบว่าไอโซเทอมแบบแลงเมียร์มีค่าเข้าใกล้ 1 มากกว่า ไอโซเทอมแบบฟรุนดิช ดังนั้นสามารถสรุปได้ว่า การดูดซับโครเมียม (VI) 5% La/Chi/PVA มีแนวโน้มสอดคล้องกับไอโซเทอมการดูดซับแบบแลงเมียร์มากกว่าไอโซเทอมแบบฟรุนดิช



รูปที่ 4.22 แสดงความสัมพันธ์ระหว่าง $1/q_e$ และ $1/C_e$ ตามไอโซเทอมแบบแลงเมียร์ สำหรับการดูดซับโครเมียม (VI) ด้วย 5% Fe/Chi/PVA



รูปที่ 4.23 แสดงความสัมพันธ์ระหว่าง $\log q_e$ และ $\log C_e$ ตามไอโซเทอมแบบฟรุนดิช สำหรับการดูดซับโครเมียม (VI) ด้วย 5% Fe /Chi/PVA

จากรูปที่ 4.22 และ 4.23 แสดงการเปรียบเทียบไอโซเทอมแบบแลงเมียร์และไอโซเทอมแบบฟรุนดิชของการดูดซับโครเมียม (VI) โดยใช้ตัวดูดซับเข้มข้น 5% Fe/Chi/PVA ซึ่งความสัมพันธ์แบบแลงเมียร์จะได้สมการเส้นตรงที่มีค่าสัมประสิทธิ์สหสัมพันธ์ (correlation coefficient, R^2) เท่ากับ 0.9984 สำหรับความสัมพันธ์แบบฟรุนดิชจะได้สมการเส้นตรงที่มีค่าสัมประสิทธิ์สหสัมพันธ์ 0.9597 ซึ่งพบว่าไอโซเทอมแบบแลงเมียร์มีค่าเข้าใกล้ 1 มากกว่าไอโซเทอมแบบฟรุนดิช ดังนั้นสามารถสรุปได้ว่า การดูดซับโครเมียม (VI) 5% Fe/Chi/PVA มีแนวโน้มสอดคล้องกับไอโซเทอมการดูดซับแบบแลงเมียร์มากกว่าไอโซเทอมแบบฟรุนดิช

250 มิลลิกรัม ในอะซิโตน 50 มิลลิกรัม เก็บในขวดสีชาควรทิ้งเมื่อสารละลายเปลี่ยนสี

เอกสารนี้เป็นเอกสารที่สงวนไว้สำหรับการใช้งานเพื่อการศึกษาเท่านั้น ไม่อนุญาตให้นำไปใช้ประโยชน์ด้านการค้า ไม่ว่ากรณีใดๆทั้งสิ้น อีกทั้งห้ามมิให้คัดแปลงเนื้อหา และต้องอ้างอิงถึงเจ้าของเอกสารทุกครั้งที่มีการนำไปใช้

บทที่ 5

สรุปผลการทดลองและข้อเสนอแนะ

จากการศึกษาคุณสมบัติของตัวดูดซับแลนทานัมและเหล็กบนโคโตซานที่ปรับปรุงด้วยพอลิไวนิลแอลกอฮอล์ รวมถึงสถานะที่เหมาะสมในการดูดซับโครเมียม (VI) สามารถสรุปได้ดังนี้

5.1 สรุปผลการวิจัย

1) จากการศึกษ ปริมาณของแลนทานัมและเหล็กบนโคโตซานที่ปรับปรุงด้วยพอลิไวนิลแอลกอฮอล์ ที่ 5, 10 และ 20 เปอร์เซ็นต์โดยน้ำหนักต่อปริมาตร พบว่าปริมาณของ แลนทานัมบนโคโตซานที่ปรับปรุงด้วยพอลิไวนิลแอลกอฮอล์ที่ 5% มีประสิทธิภาพในการดูดซับโครเมียม (VI) สูงสุด โดยมีเปอร์เซ็นต์การกำจัดเท่ากับ 99.90 สำหรับ ตัวดูดซับเหล็กบนโคโตซานที่ปรับปรุงด้วยพอลิไวนิลแอลกอฮอล์ที่ปริมาณเหล็ก 5% มีประสิทธิภาพในการดูดซับโครเมียม (VI) สูงสุด โดยมีเปอร์เซ็นต์การกำจัด เท่ากับ 89.89 ซึ่งจะเห็นได้ว่า แลนทานัมบนโคโตซานที่ปรับปรุงด้วยพอลิไวนิลแอลกอฮอล์มีประสิทธิภาพในการดูดซับโครเมียม (VI) ดีกว่าเหล็กบนโคโตซานที่ปรับปรุงด้วยพอลิไวนิลแอลกอฮอล์

2) จากการศึกษ ปริมาณและเวลาที่เหมาะสมต่อการดูดซับโครเมียม (VI) พบว่าที่ปริมาณ 5% ของแลนทานัมและเหล็กบนโคโตซานที่ปรับปรุงด้วยพอลิไวนิลแอลกอฮอล์ สามารถดูดซับโครเมียม (VI) ได้สูงสุดที่ความเข้มข้นเริ่มต้นของโครเมียม (VI) เท่ากับ 50 มิลลิกรัมต่อลิตร เมื่อเวลาผ่านไป 240 นาที

3) จากการศึกษ ผลของอุณหภูมิ พบว่าที่อุณหภูมิห้องมีประสิทธิภาพในการดูดซับโครเมียม (VI) สูงกว่าที่อุณหภูมิ 50 องศาเซลเซียส

4) จากการศึกษ ผลของไอออนร่วม พบว่าประสิทธิภาพในการดูดซับโครเมียม (VI) จะลดลงเมื่อมีไอออนอื่นร่วมด้วย

5) การดูดซับโครเมียม (VI) ด้วยตัวดูดซับแลนทานัมและเหล็กบนโคโตซานที่ปรับปรุงด้วยพอลิไวนิลแอลกอฮอล์สอดคล้องกับไอโซเทอมของแลงเมียร์

5.2 ข้อเสนอแนะ

1) ควรศึกษาถึงประสิทธิภาพการดูดซับของแลนทานัมและเหล็กบนโคโตซานที่ปรับปรุงด้วยพอลิไวนิลแอลกอฮอล์ในการกำจัดโลหะหนักชนิดอื่น เช่น ตะกั่ว แคดเมียม

2) ควรมีการศึกษาถึงปัจจัยอื่นที่อาจมีผลกระทบต่อความสามารถในการดูดซับ เช่น ความเร็วรอบในการเขย่า ปริมาณตัวดูดซับ และไอออนร่วมชนิดอื่นๆ

3) ควรศึกษาถึงประสิทธิภาพการดูดซับของแลนทานัมและเหล็กบนโคโตซานที่ปรับปรุงด้วยพอลิไวนิลแอลกอฮอล์ในการกำจัดโครเมียม (VI) ในน้ำทิ้งจากอุตสาหกรรม

เอกสารนี้เป็นเอกสารที่สงวนไว้สำหรับการใช้งานเพื่อการศึกษาเท่านั้น ไม่อนุญาตให้นำไปใช้ประโยชน์ด้านการค้า ไม่ว่ากรณีใดๆทั้งสิ้น อีกทั้งห้ามมิให้คัดลอกเนื้อหา และต้องอ้างอิงถึงเจ้าของเอกสารทุกครั้งที่มีการนำไปใช้

เอกสารอ้างอิง

- [1] Advantage of Chromium, [online]. Available: <http://www.siamchemi.com>
- [2] ศูนย์ข้อมูลวัตถุอันตรายและเคมีภัณฑ์, [online]. Available: <http://msds.pcd.go.th/>
- [3] รัตนา รุจิรวนิช. 2001. การผลิตไคตินและไคโตซาน. กรุงเทพฯ : วิทยาลัยปิโตรเลียม และปิโตรเคมี จุฬาลงกรณ์มหาวิทยาลัย
- [4] ศูนย์เทคโนโลยีโลหะและวัสดุแห่งชาติ. การผลิตไคตินและไคโตซาน. [online]. Available:<https://www.mtec.or.th/th/image/pdf/chitin-chitosan/chapter3.pdf>.
- [5] Lanthanum(III)acetate. [online]. Available: <https://www.wikipedia.co.th>
- [6] Iron (III) chloride. [online]. Available: <https://www.wikipedia.co.th>
- [7] Polyvinyl alcohol. [online]. Available: <https://www.wikipedia.co.th>
- [8] Robert. The Sorbents: Chitin, Chitosan and derivatives. [online]. Available: <https://www.tdx.cesca.es/tesisupc/available/tdx-0619102-193943/05capitol3.pdf>.
- [9] W.S. Wan Ngah, M.A.K.M. Hanafiah, S.S. Yong. “Adsorption of humic acid from aqueous Solutions on crosslinked chitosan-epichlorohydrin beads.” *Kinetics and isotherm studies, Colloids and Surfaces B: Biointerfaces*. 2008(65) : 18-24.
- [10] X.Zhang, R. Bai. 2003. “Mechanisms and kinetics of humic acid adsorption onto chitosan-coated granules.” *J. Colloid Interface Sci.* (264) : 30-38
- [11] นกสร เตียรอินทร์, ผุสดี ร้อยแก้ว และวรัญญา โคพระ. 2553. “การกำจัดฟีนอลในน้ำทิ้งด้วยไคโตซานผสมพอลิไวนิลแอลกอฮอล์ โดยใช้อีพิคลอโรไฮดรินเป็นสารเชื่อมโยง.” *วิทยานิพนธ์วิทยาศาสตร์บัณฑิต สาขาวิชาเคมีอุตสาหกรรม บัณฑิตวิทยาลัย, สถาบันเทคโนโลยีพระจอมเกล้าเจ้าคุณทหารลาดกระบัง*
- [12] R.Laus, Thiago G, Bruno Szpoganicz, Valfredo T. Favere. 2010. “Adsorption and desorption of Cu(II), Cd(II), Pb(II) ions using chitosan crosslinked with epichlorohydrin-triphosphate as the adsorbent.” *Journal of Hazardous Materials*, (183) : 233-241
- [13] เกวลิน ชันธุ์ชัยภูมิ จุฑารัตน์ ขนไทย และจุฑารัตน์ เลิศคุณาสวรรค์. 2551. “การศึกษาเปรียบเทียบการดูดซับโครเมียม(II)โดยใช้ไคโตซานและไคโตซานที่ปรับปรุงโครงสร้างด้วยกลูตารัลดีไฮด์.” *วิทยานิพนธ์วิทยาศาสตร์บัณฑิต สาขาวิชาเคมีอุตสาหกรรม บัณฑิตวิทยาลัย, สถาบันเทคโนโลยีพระจอมเกล้าเจ้าคุณทหารลาดกระบัง*.

เอกสารนี้เป็นเอกสารที่สงวนไว้สำหรับการใช้งานเพื่อการศึกษาเท่านั้น ไม่อนุญาตให้นำไปใช้ประโยชน์ด้านการค้า ไม่ว่าจะกรณีใดๆทั้งสิ้น อีกทั้งห้ามมิให้ตัดแปลงเนื้อหา และต้องอ้างอิงถึงเจ้าของเอกสารทุกครั้งที่มีการนำไปใช้

เอกสารอ้างอิง (ต่อ)

- [14] E.A. El-Hefian ,M.M.Nasef and A.H.Yahaya. 2010. "The Preparation and Characterization of Chitosan/Poly(Vinyl Alcohol) Blended Films." *E-Journal of Chemistry* 2010. 7(4) : 1212-1219
- [15] S.Jagtap, M.K. Yenkie, S.Das and S.Rayalu. 2011. "Synthesis and Characterization of Lanthanum Impregnated Chitosan Flakes for Fluoride Removal in Water." *Desalination*. (273) : 267-275
- [16] C.Shen, H.Chen, S.Wu , Y.Wen , L.Li , Z.Jiang, M.Li and W.Liu. 2013. "Highly Efficient Detoxification of Cr(VI) by Chitosan-Fe(III)Complex : Process and Mechanism Studies." *J.of Hazardous Materials*. : 689-697
- [17] R.B.Hernandez, A.P.Franco, O.R. Yola, A.L.Delgado, J.Felcman, M.A.L.Recio and A.L.R.Merce. 2008. "Coordination Study of Chitosan and Fe^{3+} ." *J.of Molecular Structure*. (877) : 89-99
- [18] S.P.Kamble, S.Jagtap, N.K.Labhsetwar, D.Thakave, S.Godfrey, S.Devotta and S.R.Rayalu. 2007. "Defluoridation of Drinking Water Using Chitin, Chitosan and Lanthanum-Modified Chitosan." *Chemical Engineering Journal*. (129) : 173-180
- [19] N.K.Hamadi, X.D.Chen, M.M. Farid and M.G.Q.Lu . 2001. "Adsorption Kinetics for The Removal of Chromium(VI) from Aqueous Solution by Adsorbents Derived from Used Tyres and Sawdust." *Chemical Engineering Journal*. (84) : 95-105
- [20] R.Ramya, P.N.Sudha, Dr.J.Mahalakshmi. 2012. "Preparation and Characterization of Chitosan Binary Blend." *International Journal of Scientific and Research Publications*. (2) : 1-9

เอกสารนี้เป็นเอกสารที่สงวนไว้สำหรับการใช้งานเพื่อการศึกษาเท่านั้น ไม่อนุญาตให้นำไปใช้ประโยชน์ด้านการค้า
ไม่ว่ากรณีใดๆทั้งสิ้น อีกทั้งห้ามมิให้ตัดแปลงเนื้อหา และต้องอ้างอิงถึงเจ้าของเอกสารทุกครั้งที่มีการนำไปใช้



เอกสารนี้เป็นเอกสารที่สงวนไว้สำหรับการใช้งานเพื่อการศึกษาเท่านั้น ไม่อนุญาตให้นำไปใช้ประโยชน์ด้านการค้า
ไม่ว่ากรณีใดๆทั้งสิ้น อีกทั้งห้ามมิให้ตัดแปลงเนื้อหา และต้องอ้างอิงถึงเจ้าของเอกสารทุกครั้งที่มีการนำไปใช้

ภาคผนวก ก. การวิเคราะห์เลขไอโอดีน

1. การเตรียมสารละลายเพื่อวัดค่า Iodine number

- 1) เตรียมสารละลายกรดไฮโดรคลอริก 5% โดยน้ำหนัก
ตวงกรดไฮโดรคลอริกเข้มข้น 67.6 มิลลิลิตร ใส่ในน้ำกลั่นแล้วปรับปริมาตรเป็น 500 มิลลิลิตร
- 2) เตรียมสารละลายโซเดียมไทโอซัลเฟต (0.01 โมลต่อลิตร)
ละลายโซเดียมไทโอซัลเฟต ($\text{Na}_2\text{S}_2\text{O}_3$) 24.82 กรัม ในน้ำกลั่น จากนั้นเติม 0.1 กรัม ของโซเดียมคาร์บอเนต (Na_2CO_3) ปรับปริมาตรให้เป็น 1 ลิตร
- 3) เตรียมสารละลายมาตรฐานไอโอดีน (0.1 โมลต่อลิตร)
ชั่งไอโอดีน (I_2) 12.7 กรัม และโพแทสเซียมไอโอไดด์ (KI) ใส่ลงในปิกเกอร์เติมน้ำ 5 มิลลิลิตร แล้วคนจน I_2 และ KI เข้ากันดีค่อยๆ เติมน้ำทีละ 5 มิลลิลิตร ลงในปิกเกอร์ขณะที่ยังคงอยู่จนกระทั่งปริมาตรรวมเท่ากับ 60 มิลลิลิตร จากนั้นปั่นจนต่อเป็นเวลา 4 ชั่วโมง หลังจากนั้นนำสารละลายที่ได้เทลงในขวดวัดปริมาตรแล้วปรับปริมาตรเป็น 1 ลิตร
- 4) เตรียมสารละลายโพแทสเซียมไอโอเดต (0.1 โมลต่อลิตร)
ชั่งโพแทสเซียมไอโอเดต (KIO_3) 3.65 กรัม ละลายในน้ำ 100 มิลลิลิตร แล้วปรับปริมาตรในขวดวัด ปริมาตรเป็น 1 ลิตร
- 5) เตรียมน้ำแป้ง
ชั่งแป้งมัน 1 กรัม ละลายกับน้ำเล็กน้อยจากนั้นเทลงในน้ำกลั่นที่ต้มจนเดือด 100 มิลลิลิตร คนไปด้วยประมาณ 1 นาที ทั้งให้เย็นแล้วเติม KI 3 กรัม

2. การเทียบมาตรฐานสารละลายโซเดียมไทโอซัลเฟต ($\text{Na}_2\text{S}_2\text{O}_3$)

- 1) ปิเปตสารละลายโพแทสเซียมไอโอเดต (KIO_3) 0.1 โมลต่อลิตร ปริมาตร 25 มิลลิลิตร ใส่ในขวดชมพู ขนาด 250 มิลลิลิตร
- 2) เติมโพแทสเซียมไอโอไดด์ (KI) 2 ± 0.01 g ลงในขวดรูปชมพู เขย่าให้ละลาย
- 3) ปิเปตสารละลายกรดไฮโดรคลอริก 5% โดยน้ำหนักปริมาตร 5 มิลลิลิตร ลงในขวดรูปชมพู แล้วไทเทรตกับสารละลายโซเดียมไทโอซัลเฟตจนเป็นสีเหลืองอ่อน
- 4) เติมน้ำแป้งลงไป 1 มิลลิลิตร แล้วไทเทรตต่อจนไม่มีสี
- 5) ทำอย่างน้อย 3 ซ้ำ แล้วหาปริมาตรสารละลายโซเดียมไทโอซัลเฟตเฉลี่ย

เอกสารนี้เป็นเอกสารที่สงวนไว้สำหรับการใช้งานเพื่อการศึกษาเท่านั้น ไม่อนุญาตให้นำไปใช้ประโยชน์ด้านการค้าไม่ว่ากรณีใดๆทั้งสิ้น อีกทั้งห้ามมิให้คัดลอกเนื้อหา และต้องอ้างอิงถึงเจ้าของเอกสารทุกครั้งที่มีการนำไปใช้

3. การเทียบมาตรฐานสารละลายไอโอดีน

ปิเปตสารละลายไอโอดีน 25 มิลลิลิตรความเข้มข้น 0.1 โมลต่อลิตร ลงในขวดรูปชมพู่ ขนาด 250 มิลลิลิตร ไทเทรตกับโซเดียมไทโอซัลเฟตจนสารละลายไอโอดีนเป็นสีเหลือง จากนั้นเติมน้ำแบ่ง 1 มิลลิลิตร แล้วไทเทรตต่อจนไม่มีสี

4. ตัวอย่างวิธีการวิเคราะห์หาค่าเลขไอโอดีน (Iodine Number)

การหาค่าความเข้มข้นมาตรฐานของโซเดียมไทโอซัลเฟต ($\text{Na}_2\text{S}_2\text{O}_3$)

ตารางที่ ก-1 แสดงปริมาณสารละลายโซเดียมไทโอซัลเฟต ที่ใช้ (cm^3) ในการไทเทรต

ครั้งที่	ปริมาณ $\text{Na}_2\text{S}_2\text{O}_3$ ที่ใช้ (cm^3)	
	สารละลายเป็นสีเหลือง	เติมน้ำแบ่งแล้วไทเทรตต่อจนไม่มีสี
1	25.8	26.0
2	26.5	26.8
3	27.1	27.6
เฉลี่ย		26.8

$$N_1 = \frac{PR}{S}$$

เมื่อ	N_1	คือ	ความเข้มข้นของโซเดียมไทโอซัลเฟต (นอร์มัล)
	P	คือ	ไอโอดีนปริมาณของโพแทสเซียม (มิลลิลิตร)
	R	คือ	ความเข้มข้นของโพแทสเซียมไอโอดีน (นอร์มัล)
	S	คือ	ปริมาณของโซเดียมไทโอซัลเฟต (มิลลิลิตร)

ตัวอย่าง :

$$N_1 = \frac{(25)(0.1)}{24.37} = 0.1026$$

เอกสารนี้เป็นเอกสารที่สงวนไว้สำหรับการใช้งานเพื่อการศึกษาเท่านั้น ไม่อนุญาตให้นำไปใช้ประโยชน์ด้านการค้า ไม่ว่ากรณีใดๆทั้งสิ้น อีกทั้งห้ามมิให้คัดลอกเนื้อหา และต้องอ้างอิงถึงเจ้าของเอกสารทุกครั้งที่มีการนำไปใช้

การหาความเข้มข้นมาตรฐานของสารละลายไอโอดีน

ตารางที่ ก-2 แสดงปริมาณสารละลายโซเดียมไทโอซัลเฟต ที่ใช้ (cm³) ในการไทเทรต

ครั้งที่	ปริมาณ Na ₂ S ₂ O ₃ ที่ใช้ (cm ³)	
	สารละลายเป็นสีเหลือง	เติมน้ำแบ่งแล้วไทเทรตต่อจนไม่มีสี
1	31.6	32.1
2	31.8	32.1
3	31.7	32.0
เฉลี่ย		32.1

$$N = \frac{(SN_1)}{I}$$

เมื่อ

N₂ คือ ความเข้มข้นของไอโอดีน (นอร์มัล)
 P คือ ปริมาณของโซเดียมไทโอซัลเฟต (มิลลิลิตร)
 N₁ คือ ความเข้มข้นของโซเดียมไทโอซัลเฟต (นอร์มัล)
 I คือ ปริมาณของไอโอดีน (มิลลิลิตร)

ตัวอย่าง :

$$N_1 = \frac{(23.8)(0.1)}{25} = 0.0952$$

การหาเลขไอโอดีน หาได้จากสมการดังต่อไปนี้

$$\text{เลขไอโอดีน} = \frac{X}{M} = \frac{[A - (DF)(B)(S)]}{M}$$

เมื่อ

S = ปริมาตรสารละลายโซเดียมไทโอซัลเฟตที่ใช้ไป (มิลลิลิตร)
 M = ปริมาณตัวดูดซับ (กรัม)
 A = [ความเข้มข้นของไอโอดีน(นอร์มัล)] x 12693.0
 B = [ความเข้มข้นของโซเดียมไทโอซัลเฟต (นอร์มัล)] x 126.93
 DF = dilution factor = $\frac{(100 + H)}{F}$
 H = ปริมาตรสารละลายกรดไฮโดรคลอริกเข้มข้น5% (มิลลิลิตร)
 F = ปริมาตรสารละลายที่กรองได้ (มิลลิลิตร)
 X/M = ปริมาณไอโอดีนที่ถูกดูดซับบนตัวดูดซับ (มิลลิกรัมต่อกรัม)

เอกสารนี้เป็นเอกสารที่สงวนไว้สำหรับการใช้งานเพื่อการศึกษาเท่านั้น ไม่อนุญาตให้นำไปใช้ประโยชน์ด้านการค้า
 ไม่ว่ากรณีใดๆทั้งสิ้น อีกทั้งห้ามมิให้ตัดแปลงเนื้อหา และต้องอ้างอิงถึงเจ้าของเอกสารทุกครั้งที่มีการนำไปใช้

ภาคผนวก ข. การวิเคราะห์หาปริมาณโครเมียมโดยวิธีการเทียบสี

1. การเตรียมสารเคมี

1.1 สารละลายไดฟิโนลคาบาร์ไฮด์

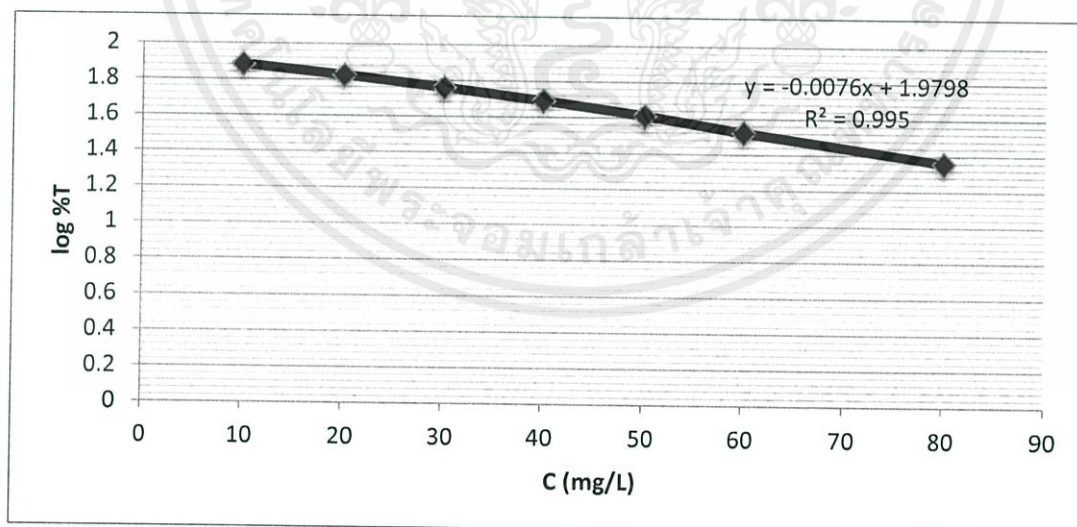
ละลาย 1,5-ไดฟิโนลคาบาร์ไฮด์ 250 มิลลิกรัม ในอะซิโตน 50 มิลลิกรัม เก็บสารละลายในขวดสีชาควรถึงเมื่อสารละลายเปลี่ยนสี

2. การคำนวณหาความเข้มข้นของโครเมียม

2.1 สร้างกราฟมาตรฐานของสารละลายโครเมียม

ตาราง ข 1-แสดง %T ที่ความเข้มข้นต่างๆ

Concentration (mg/L)	Log %T	%T
10	1.8854	76.81
20	1.827	67.14
30	1.7615	57.74
40	1.6928	49.29
50	1.6123	40.95
60	1.523	33.34
80	1.3598	22.9



รูปที่ ข-1 แสดงกราฟมาตรฐานของสารละลายโครเมียม

เอกสารนี้เป็นเอกสารที่สงวนไว้สำหรับการใช้งานเพื่อการศึกษาเท่านั้น ไม่อนุญาตให้นำไปใช้ประโยชน์ด้านการค้า ไม่ว่ากรณีใดๆทั้งสิ้น อีกทั้งห้ามมิให้ตัดแปลงเนื้อหา และต้องอ้างอิงถึงเจ้าของเอกสารทุกครั้งที่มีการนำไปใช้

2.2 การดูดซับของสารละลายโครเมียม

ตารางที่ ข-2 แสดงผลทดลองเพื่อหาความเข้มข้นเริ่มต้นของโครเมียม (VI) ที่เหมาะสมโดยใช้ตัวดูดซับต่างชนิดกัน คือ 5% La/Chi/PVA และ 5% Fe/Chi/PVA

ชนิดตัวดูดซับ	เวลา	%T	C (mg/L)	% การดูดซับ
ตัวดูดซับ : 5% La/Chi/PVA ความเข้มข้นเริ่มต้นของ โครเมียม : 50 mg/L	10	87.3	0.0519	89.6
	30	88	0.0473	90.5
	60	88.9	0.0415	91.7
	90	90.2	0.0332	93.3
	120	91	0.0281	94.3
	180	92.2	0.0206	95.8
	240	92.3	0.0200	96.0
ตัวดูดซับ : 5% Fe/Chi/PVA ความเข้มข้นเริ่มต้นของ โครเมียม : 50 mg/L	10	78.8	11.04	77.9
	30	80	10.18	79.6
	60	82.2	8.629	82.7
	90	83.8	7.527	84.9
	120	82.2	7.390	85.2
	180	84	6.713	86.5
	240	87.5	5.056	89.8
ตัวดูดซับ : 5% La/Chi/PVA ความเข้มข้นเริ่มต้นของ โครเมียม : 100 mg/L	10	83.9	7.458	92.5
	30	84.5	7.051	92.9
	60	85.9	6.111	93.8
	90	86.5	5.713	94.2
	120	86.9	5.449	94.5
	180	87.1	5.318	94.6
	240	87.1	5.318	94.6
ตัวดูดซับ : 5% Fe/Chi/PVA ความเข้มข้นเริ่มต้นของ โครเมียม : 100 mg/L	10	60.9	0.2578	74.2
	30	65.2	0.2188	78.1
	60	68.2	0.1931	80.6
	90	72.7	0.1872	81.2
	120	73.2	0.1565	84.3
	180	73.2	0.1526	84.7
	240	74.7	0.1410	85.9

เอกสารนี้เป็นเอกสารที่สงวนไว้สำหรับใช้งานเพื่อการศึกษานี้ ไม่อนุญาตให้นำไปใช้ประโยชน์ด้านการค้า

ไม่ว่ากรณีใดๆทั้งสิ้น อีกทั้งห้ามมิให้คัดแปลงเนื้อหา และต้องอ้างอิงถึงเจ้าของเอกสารทุกครั้งที่มีการนำไปใช้

ชนิดตัวดูดซับ	เวลา	%T	C (mg/L)	% การดูดซับ
ตัวดูดซับ : 5% La/Chi/PVA ความเข้มข้นเริ่มต้นของ โครเมียม: 200 mg/L	10	78.7	0.1112	94.44
	30	79.7	0.1040	94.80
	60	80.2	0.1004	94.98
	90	80.9	0.0954	95.23
	120	80.9	0.0954	95.23
	180	81.7	0.0898	95.51
	240	82	0.0877	95.62
ตัวดูดซับ : 5% Fe/Chi/PVA ความเข้มข้นเริ่มต้นของ โครเมียม: 200 mg/L	10	21.2	0.8613	56.94
	30	23.9	0.7927	60.36
	60	25.6	0.7534	62.33
	90	33	0.6082	69.59
	120	37.4	0.5366	73.17
	180	35.3	0.5697	71.52
	240	41.4	0.4785	76.07
ตัวดูดซับ : 5% La/Chi/PVA ความเข้มข้นเริ่มต้นของ โครเมียม: 300 mg/L	10	70.9	0.1709	94.30
	30	71.5	0.1660	94.47
	60	73.7	0.1487	95.04
	90	74.1	0.1456	95.15
	120	74.2	0.1448	95.17
	180	75.9	0.1319	95.60
	240	76.8	0.1251	95.83
ตัวดูดซับ : 5% Fe/Chi/PVA ความเข้มข้นเริ่มต้นของ โครเมียม : 300 mg/L	10	7.1	1.487	50.44
	30	7.8	1.433	52.23
	60	8.4	1.391	53.64
	90	9.5	1.320	55.99
	120	9.8	1.303	56.58
	180	10.9	1.242	58.61
	240	11.7	1.201	59.96

เอกสารนี้เป็นเอกสารที่สงวนไว้สำหรับการใช้งานเพื่อการศึกษาเท่านั้น ไม่อนุญาตให้นำไปใช้ประโยชน์ด้านการค้า
ไม่ว่ากรณีใดๆทั้งสิ้น อีกทั้งห้ามมิให้คัดแปลงเนื้อหา และต้องอ้างอิงถึงเจ้าของเอกสารทุกครั้งที่มีการนำไปใช้

ตารางที่ ข-3 แสดงผลทดลองเพื่อเปรียบเทียบ % การดูดซับโครเมียม (VI) ของตัวดูดซับที่สภาวะต่างกันโดยใช้ตัวดูดซับต่างชนิดกันคือ 10% La/Chi/PVA และ 10% Fe/Chi/PVA

ชนิดตัวดูดซับ	เวลา	%T	C (mg/L)	% การดูดซับ
ตัวดูดซับ : 10% La/Chi/PVA ความเข้มข้นเริ่มต้นของโครเมียม : 50 mg/L ที่สภาวะ : อุณหภูมิห้อง	10	74.7	0.1410	71.80
	30	76.5	0.1274	74.52
	60	77.1	0.1229	75.42
	90	84.7	0.0692	86.17
	120	85.8	0.0618	87.64
	180	86.4	0.0578	88.44
	240	87.2	0.0525	89.50
ตัวดูดซับ : 10% Fe/Chi/PVA ความเข้มข้นเริ่มต้นของโครเมียม : 50 mg/L ที่สภาวะ : 50 °C	10	65.7	0.2144	57.11
	30	72.5	0.1581	68.38
	60	72.8	0.1557	68.85
	90	73.4	0.1510	69.79
	120	75.2	0.1372	72.56
	180	80.3	0.0997	80.07
	240	81.1	0.0940	81.20
ตัวดูดซับ : 10% La/Chi/PVA ความเข้มข้นเริ่มต้นของโครเมียม : 50 mg/L ที่สภาวะ : มีตัวรบกวน	10	58.2	0.2837	43.25
	30	58.9	0.2769	44.62
	60	59.8	0.2682	46.35
	90	60.3	0.2635	47.31
	120	61.5	0.2522	49.56
	180	62.2	0.2457	50.85
	240	64.8	0.2223	55.54

เอกสารนี้เป็นเอกสารที่สงวนไว้สำหรับการใช้งานเพื่อการศึกษาเท่านั้น ไม่อนุญาตให้นำไปใช้ประโยชน์ด้านการค้าไม่ว่ากรณีใดๆทั้งสิ้น อีกทั้งห้ามมิให้คัดแปลงเนื้อหา และต้องอ้างอิงถึงเจ้าของเอกสารทุกครั้งที่มีการนำไปใช้

ภาคผนวก ค. การคำนวณไอโซเทอม

การคำนวณเพื่อสร้างไอโซเทอมการดูดซับโครเมียม(VI)ของ Chi/PVA/La และ Chi/PVA/Fe โดยใช้ไอโซเทอมการดูดซับแบบแลงเมียร์ (Langmuir Adsorption Isotherm) และไอโซเทอมการดูดซับแบบฟรุนดิช (Freundlich Adsorption Isotherm)
ตัวอย่างการคำนวณ คือ ตัวดูดซับ Chi/PVA/La

1. ทำการหาความเข้มข้นที่สมดุลหลังการดูดซับที่เวลา นาที่ 240(C_e) ของโครเมียม ในแต่ละความเข้มข้นเริ่มต้น ได้ดังตาราง ค1-

ตารางที่ ค-1 แสดงค่าปริมาณการดูดซับต่อน้ำหนักตัวดูดซับที่สภาวะสมดุล (q_e) ที่หาได้จากความเข้มข้นเริ่มต้นที่ต่างกันซึ่งพลอตกราฟตามความสัมพันธ์ของ Langmuir

ความเข้มข้น Cr^{+6} เริ่มต้น (C_1) (mg/L)	ความเข้มข้น Cr^{+6} ที่สมดุลหลังการดูดซับ (C_e)(mg/L)	ปริมาณการดูดซับต่อน้ำหนักตัวดูดซับที่สภาวะสมดุล (q_e)(mg/g)	$1/C_e$
50	2.001	4799.8600	0.4997
100	5.317	9468.2401	0.1881
200	8.768	19123.1742	0.1140
300	12.51	28748.5017	0.0799

2. การคำนวณหาปริมาณโครเมียมที่ถูกดูดซับจากสมการ

$$q = \frac{(C_0 - C_e)V}{m}$$

- เมื่อ q = ปริมาณโครเมียมที่ถูกดูดซับต่อน้ำหนักตัวดูดซับ (มิลลิกรัมต่อกรัม)
 C_0 และ C_e = ความเข้มข้นของโครเมียมเริ่มต้นและหลังการดูดซับ ตามลำดับ (มิลลิกรัมต่อลิตร)
 V = ปริมาตรของสารละลาย
 m = น้ำหนักของตัวดูดซับ

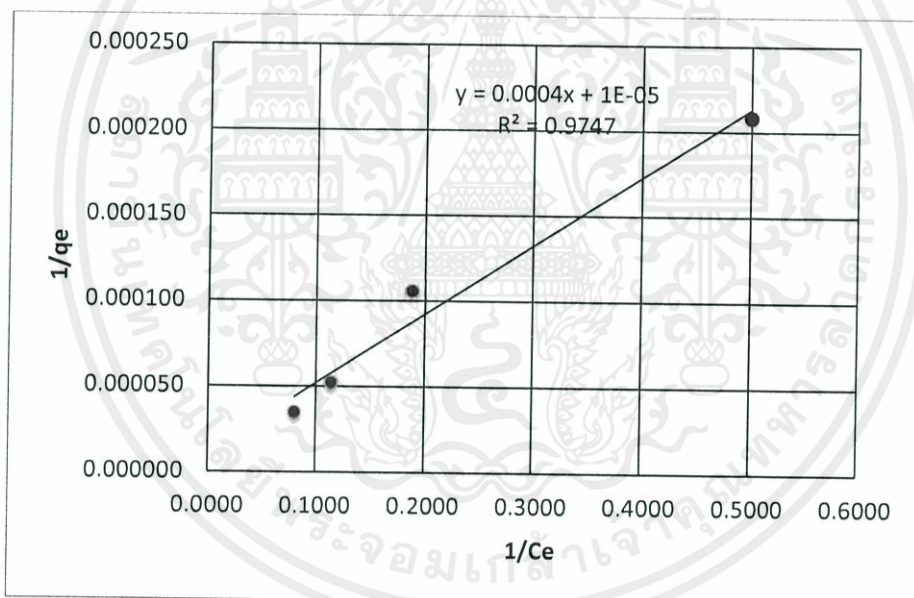
เอกสารนี้เป็นเอกสารที่สงวนไว้สำหรับการใช้งานเพื่อการศึกษาเท่านั้น ไม่อนุญาตให้นำไปใช้ประโยชน์ด้านการค้าไม่ว่ากรณีใดๆทั้งสิ้น อีกทั้งห้ามมิให้คัดลอกเนื้อหา และต้องอ้างอิงถึงเจ้าของเอกสารทุกครั้งที่มีการนำไปใช้

3. ค่า $\log C_e$ และ $\log q_e$ ซึ่งพลอตตามความสัมพันธ์ของ Freundlich

ตารางที่ ค-2 แสดงว่าค่า $\log C_e$ และ $\log q_e$

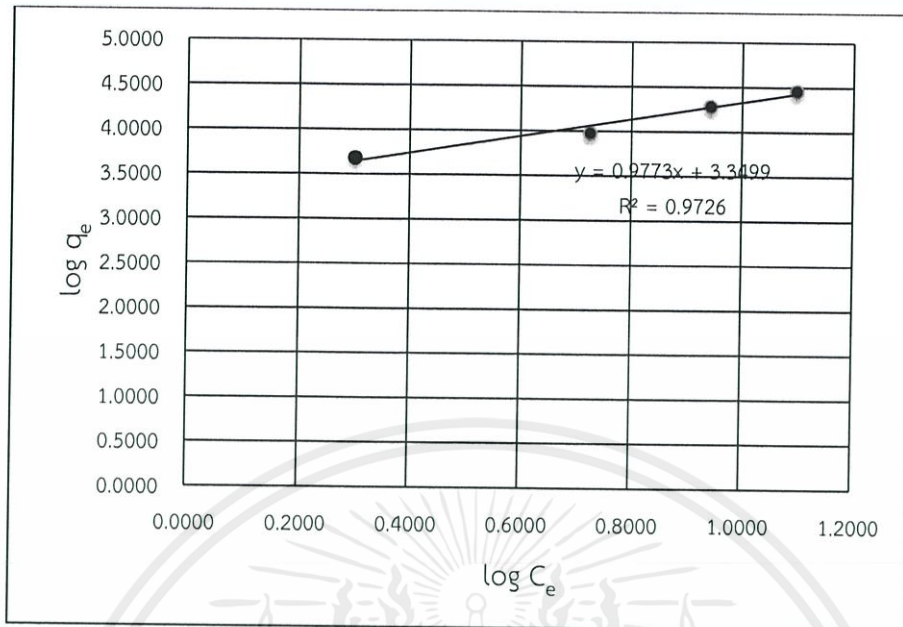
ความเข้มข้น Cr^{+6} เริ่มต้น (C_1) (mg/L)	$\log C_e$	$\log q_e$
50	0.3013	3.681
100	0.7257	3.976
200	0.9429	4.281
300	1.097	4.458

พลอตกราฟแสดงความสัมพันธ์ของ Langmuir และตรวจสอบค่า R-square (R^2) ของทั้งสอง Langmuir และ Freundlich Isotherm โดยพิจารณาว่าการดูดซับโครเมียม (VI) สอดคล้องกับ Isotherm ไต จากการเปรียบเทียบค่า R^2 ของทั้งสอง Isotherm



รูปที่ ค-1 ผลของไอโซเทอมการดูดซับแบบ Langmuir ของตัวดูดซับ 5% La/Chi/PVA

เอกสารนี้เป็นเอกสารที่สงวนไว้สำหรับการใช้งานเพื่อการศึกษาเท่านั้น ไม่อนุญาตให้นำไปใช้ประโยชน์ด้านการค้า ไม่ว่ากรณีใดๆทั้งสิ้น อีกทั้งห้ามมิให้คัดแปลงเนื้อหา และต้องอ้างอิงถึงเจ้าของเอกสารทุกครั้งที่มีการนำไปใช้



รูปที่ ค-2 ผลของไอโซเทอมการดูดซับแบบ Freundlich ของตัวดูดซับ 5% La/Chi/PVA

จากรูปที่ ค-1 และ ค-2 แสดงการเปรียบเทียบไอโซเทอมการดูดซับแบบ Langmuir และไอโซเทอมการดูดซับแบบ Freundlich โดยใช้ 5% La/Chi/PVA เป็นตัวดูดซับ จากผลการศึกษาพบว่า ผลของไอโซเทอมการดูดซับแบบ Langmuir และแบบ Freundlich มีค่าสัมประสิทธิ์สหสัมพันธ์ (correlation coefficient, R^2) เท่ากับ ตามลำดับ ซึ่งพบว่าไอโซเทอมการดูดซับแบบ 0.9726 และ 0.9747 Langmuir มีค่าเข้าใกล้ มากกว่าไอโซเทอมการดูดซับแบบ 1 Freundlich ดังนั้นสามารถสรุปได้ว่า การดูดซับโครเมียมมีแนวโน้มสอดคล้องกับไอโซเทอมการดูดซับแบบ Langmuir มากกว่า ไอโซเทอมการดูดซับแบบ Freundlich และไอโซเทอมที่เกิดขึ้นเป็นการดูดซับแบบชั้นเดียวและโมเลกุลที่ถูกดูดซับไม่สามารถเคลื่อนที่อย่างอิสระบนผิวตัวดูดซับ ซึ่งตัวแปรที่ได้จากผลของไอโซเทอม

เอกสารนี้เป็นเอกสารที่สงวนไว้สำหรับการใช้งานเพื่อการศึกษาเท่านั้น ไม่อนุญาตให้นำไปใช้ประโยชน์ด้านการค้า
ไม่ว่ากรณีใดๆทั้งสิ้น อีกทั้งห้ามมิให้ตัดแปลงเนื้อหา และต้องอ้างอิงถึงเจ้าของเอกสารทุกครั้งที่มีการนำไปใช้